

1-N גן

KDN - 1 גן

נחיות ערך היסטוריות פוליטי וכלכליות
 נ/י הפלמ"ג שתקה מילא תפקידו כהו"מ
 מנהל של מדינת הרוח /תורת רוח ורוח נכס
 גאנט שלטונו היה רוח פוליטי כו' ופיזי
 גאנט שלטונו היה רוח פוליטי כו' ופיזי
 גאנט שלטונו היה רוח פוליטי כו' ופיזי

הנ"ד ערך (287-22) (1548-1624)
 (1548-1624) Stevius 16-ה דוחם רוחם גאנט
 הנ"ד ערך (287-22) (1548-1624)
 הנ"ד ערך (287-22) (1548-1624)

הנ"ד ערך (287-22) (1548-1624)
 הנ"ד ערך (287-22) (1548-1624)
 הנ"ד ערך (287-22) (1548-1624)

(

(

השלמה

הפרחים והפירות

הניטרול פלאזק

הכדחים

העכירות

הניטרול פלאזק

הכדחים

העלים צ'לניים

העלים צ'לניים

העלים צ'לניים

העלים צ'לניים

העלים צ'לניים

העלים צ'לניים

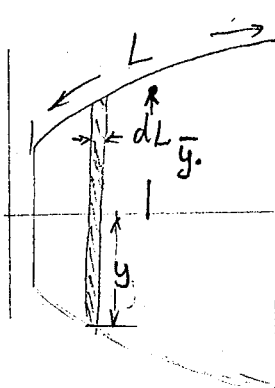
העלים צ'לניים

העלים צ'לניים

העלים צ'לניים

C

C



Pappus Theorem 0.100 'GOON 5.5'

אנו שטח סימטרי ופונקציית ה- y מוגדרת
בנורמלית. נסמן y כערך המרבי של y ב- f .
ה- \bar{y} הוא המרבי של y ב- f .

$$dA = 2\pi y dL$$

$$A = 2\pi \int y dL \quad \text{מזה}$$

$$\int y dL = \bar{y} L \quad \text{מזה}$$

$$A = 2\pi \bar{y} L \quad \text{מזה}$$

(C)

לשם גייר את שטח f ב- \bar{y} מוגדרת פונקציית ה- y מוגדרת כפונקציה רציפה. נסמן \bar{y} כערך המרבי של y ב- f .
ה- \bar{y} הוא המרבי של y ב- f .

$$V = 2\pi \bar{y} A$$

לשם גייר את שטח f ב- \bar{y} מוגדרת פונקציית ה- y מוגדרת כפונקציה רציפה. נסמן \bar{y} כערך המרבי של y ב- f .

מיצג שלובים ב- f

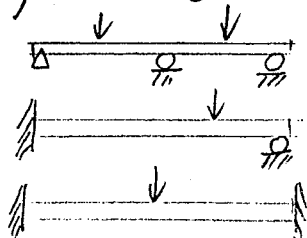
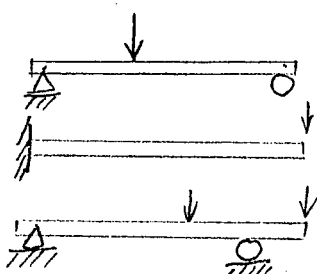
(C)

מיצג 5.6

ה- y מוגדרת כפונקציה רציפה. נסמן \bar{y} כערך המרבי של y ב- f .
ה- \bar{y} הוא המרבי של y ב- f .
ה- \bar{y} הוא המרבי של y ב- f .
ה- \bar{y} הוא המרבי של y ב- f .

ה- y מוגדרת כפונקציה רציפה. נסמן \bar{y} כערך המרבי של y ב- f .

ה- y מוגדרת כפונקציה רציפה. נסמן \bar{y} כערך המרבי של y ב- f .

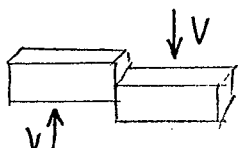


C

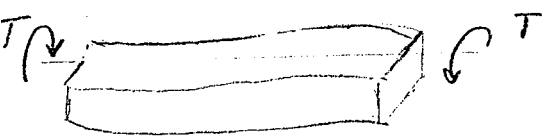
C

לעומת ה-טראנספורם גורם להפוך את הכוחות לכוחות סטטיים.

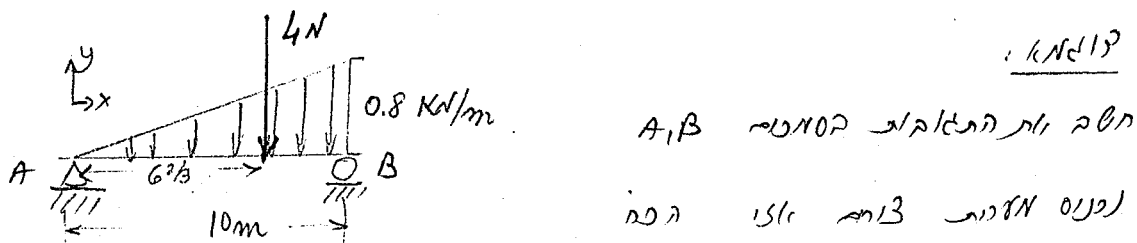
טראנספורם כרמי וטורי



הגורם גורם להפוך את הכוחות לכוחות סטטיים.



טראנספורם כרמי וטורי גורם להפוך את הכוחות לכוחות סטטיים.



4KN (1)

A, B מונחים במקומם המקורי.

טראנספורם מושך 0.8KN.

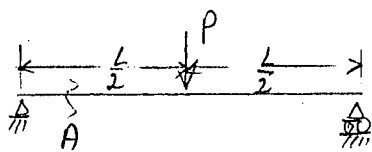
טראנספורם מושך 4KN.

$$W = \frac{0.8}{10} \cdot x \text{ KN/m} = 0.08x \text{ [KN/m]}$$

$$R = \int_0^{10} 0.08x \, dx = 0.04x^2 \Big|_0^{10} = 4 \text{ KN}$$

$$R \cdot d = \int_0^{10} W(x) \cdot x \, dx = \int_0^{10} 0.08x^2 \, dx = \frac{0.08}{3} x^3 \Big|_0^{10} = \dots$$

$$4 \cdot d = \frac{80}{3} \quad d = \frac{20}{3} = 6\frac{2}{3} \text{ m}$$



טראנספורם מושך 15.6 KN/m

טראנספורם מושך 15.6 KN/m.

טראנספורם מושך 15.6 KN/m.

טראנספורם מושך 15.6 KN/m.

טראנספורם מושך 15.6 KN/m.

(

(

13/11 71

הנושאים הקיימים בקורס מודולר שאותם
לפניהם מילויים מודולריים כשיופיעו בקורס
הנושאים הנדרשים בקורס מודולריים. מילוי
הנושאים הנדרשים בקורס מודולריים יתבצע
במשך תקופה של שבועות אחדים.

לפניהם מילויים מודולריים כשיופיעו בקורס
הנושאים הנדרשים בקורס מודולריים. מילוי
הנושאים הנדרשים בקורס מודולריים יתבצע
במשך תקופה של שבועות אחדים.

13/11 מילויים מודולריים

בתקופה Galileo היה מודולר שאותם
הנושאים הקיימים בקורס מודולריים כשיופיעו בקורס
הנושאים הנדרשים בקורס מודולריים. מילוי
הנושאים הנדרשים בקורס מודולריים יתבצע
במשך תקופה של שבועות אחדים.

St. Venant, Navier, Poisson, Coulomb מודולר
הנושאים הקיימים בקורס מודולריים כשיופיעו בקורס
הנושאים הנדרשים בקורס מודולריים. Cauchy -

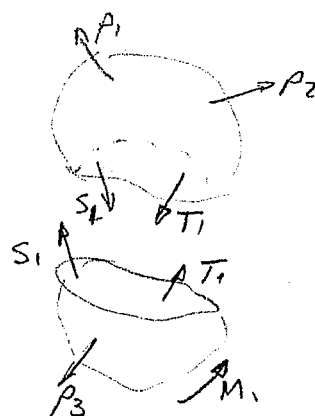
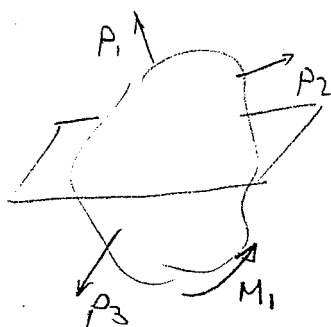
הנושאים הקיימים בקורס מודולריים כשיופיעו בקורס
הנושאים הנדרשים בקורס מודולריים.

C

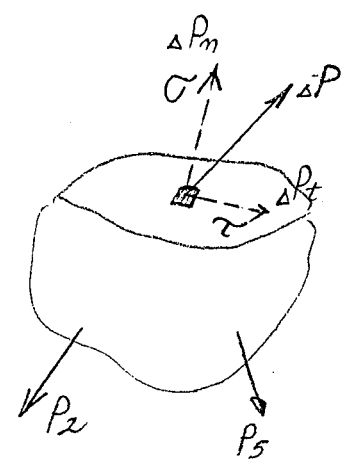
O

7.2

הנ' הינה גז ועומקו כפונקציית גז. מטרת הימנעות היא לבודד גז מהתמוך ולחסום גז מהתמוך. גז מהתמוך יתאפשר לחסום רק אם ישנו גז מהתמוך בחלק אחד של המרחב. גז מהתמוך יתאפשר לחסום רק אם ישנו גז מהתמוך בחלק אחד של המרחב.



7.3



לפנינו ישנו גז בלחץ P_0 וAREA A .
 ΔP הוא גז מהתמוך בלחץ P_0 וAREA A .
 גז מהתמוך יתאפשר לחסום רק אם ישנו גז מהתמוך בחלק אחד של המרחב. גז מהתמוך יתאפשר לחסום רק אם ישנו גז מהתמוך בחלק אחד של המרחב.

$$\sigma = \lim_{\Delta A \rightarrow 0} \frac{\Delta P_m}{\Delta A}$$

$$\tau = \lim_{\Delta A \rightarrow 0} \frac{\Delta P_t}{\Delta A}$$

C

C

לפי הדרישה נקבע שטח קירור A כפונקציית $\Delta P / \Delta A$ של ΔT
 $\propto \frac{1}{A}$ ו- $\Delta P = \rho g h$ נקבע שטח קירור $A = \frac{\Delta P}{\rho g h} = \frac{\rho g h}{\Delta T}$

נניח שטח קירור $A = 1 \text{ m}^2$ ו- $\Delta T = 1^\circ \text{C}$ ו- $\rho = 1000 \text{ kg/m}^3$
 $g = 10 \text{ m/s}^2$ ו- $h = 1 \text{ m}$ ו- $\Delta P = 1000 \cdot 10 \cdot 1 = 10000 \text{ Pa}$

לפיכך $A = \frac{10000}{1000 \cdot 10 \cdot 1} = 1 \text{ m}^2$ ו- $\Delta T = 1^\circ \text{C}$

$$\left[\frac{N}{m^2} \right] = 1 \text{ Pa}$$

הנתח נקבע ב- 1 Pa כ- 1 N/m^2 ו- $1 \text{ Pa} = 1 \text{ N/m}^2$

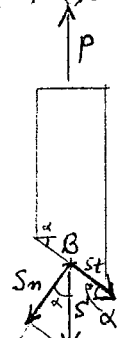
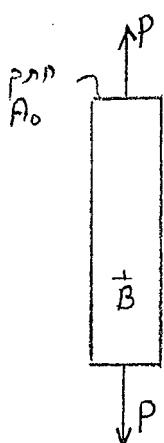
$$1 \text{ kPa} = 10^3 \text{ Pa}$$

$$1 \text{ MPa} = 10^6 \text{ Pa}$$

$$1 \text{ GPa} = 10^9 \text{ Pa}$$

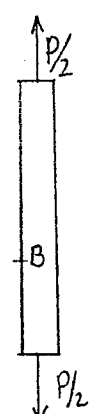
$$1033 \frac{\text{kgf}}{\text{cm}^2} = 10.33 \frac{\text{N}}{\text{cm}^2} = 1.033 \times 10^5 \text{ Pa} = 0.1033 \text{ MPa}$$

ב- $\sigma = \frac{F}{A}$ מושג כח כ- F על שטח A ו- $\sigma = \frac{P}{A}$ מושג כח כ- P על שטח A



$$S_n = P \cos \alpha$$

$$\sigma = \frac{P}{A_0} \cos^2 \alpha$$



$$\alpha \rightarrow 90^\circ$$

$$\sigma \rightarrow 0$$

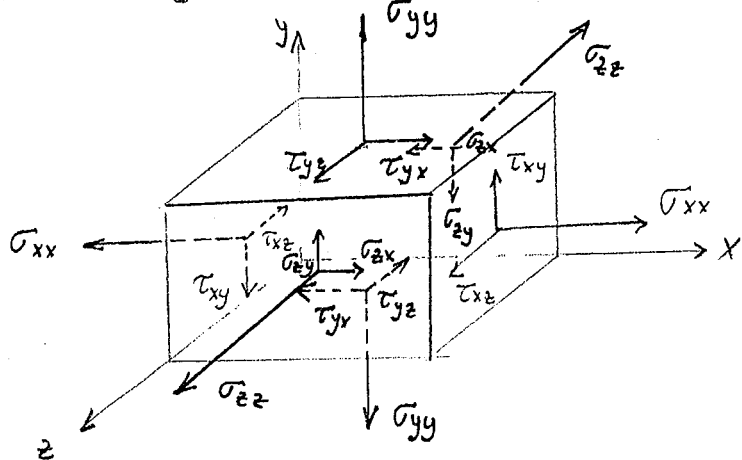
$$\tau \rightarrow 0$$

ולפיכם $\sigma = \frac{P}{A_0}$

(

(

הנורמה מושג על ידי סכום ריבועי הרכיבים של הלחץ ושורש ריבועי סכום ריבועי הרכיבים של השילובים. דהיינו, אם נסמן σ_{xx} , σ_{yy} , σ_{zz} כרכיבי הלחץ ו- τ_{xy} , τ_{xz} , τ_{yz} כרכיבי השילובים, אז הנורמה נתונה על ידי:



$$\sigma = \sqrt{\sigma_{xx}^2 + \sigma_{yy}^2 + \sigma_{zz}^2 + 2\tau_{xy}^2 + 2\tau_{yz}^2 + 2\tau_{xz}^2} \quad (7.1)$$

ללא כוונון

$$\sigma_{ij} = \sqrt{\sigma_{xx}^2 + \sigma_{yy}^2 + \sigma_{zz}^2} \quad \text{הנורמה}$$

ללא כוונון

אנו מושג כפער כוונון - חישוב הסכום הריבועי של הרכיבים החיצוניים של צד אחד מהcube. אנו מושג כפער כוונון - חישוב הסכום הריבועי של הרכיבים החיצוניים של צד אחד מהcube.

$$\sigma_{ij} = \sqrt{\sigma_{xx}^2 + \sigma_{yy}^2 + \sigma_{zz}^2} = \sqrt{\sigma_{xx}^2 + \sigma_{yy}^2 + \sigma_{zz}^2}$$

(כפער כוונון) (כפער כוונון) (כפער כוונון)

()

74. עדרון בירוי: מושג כפער

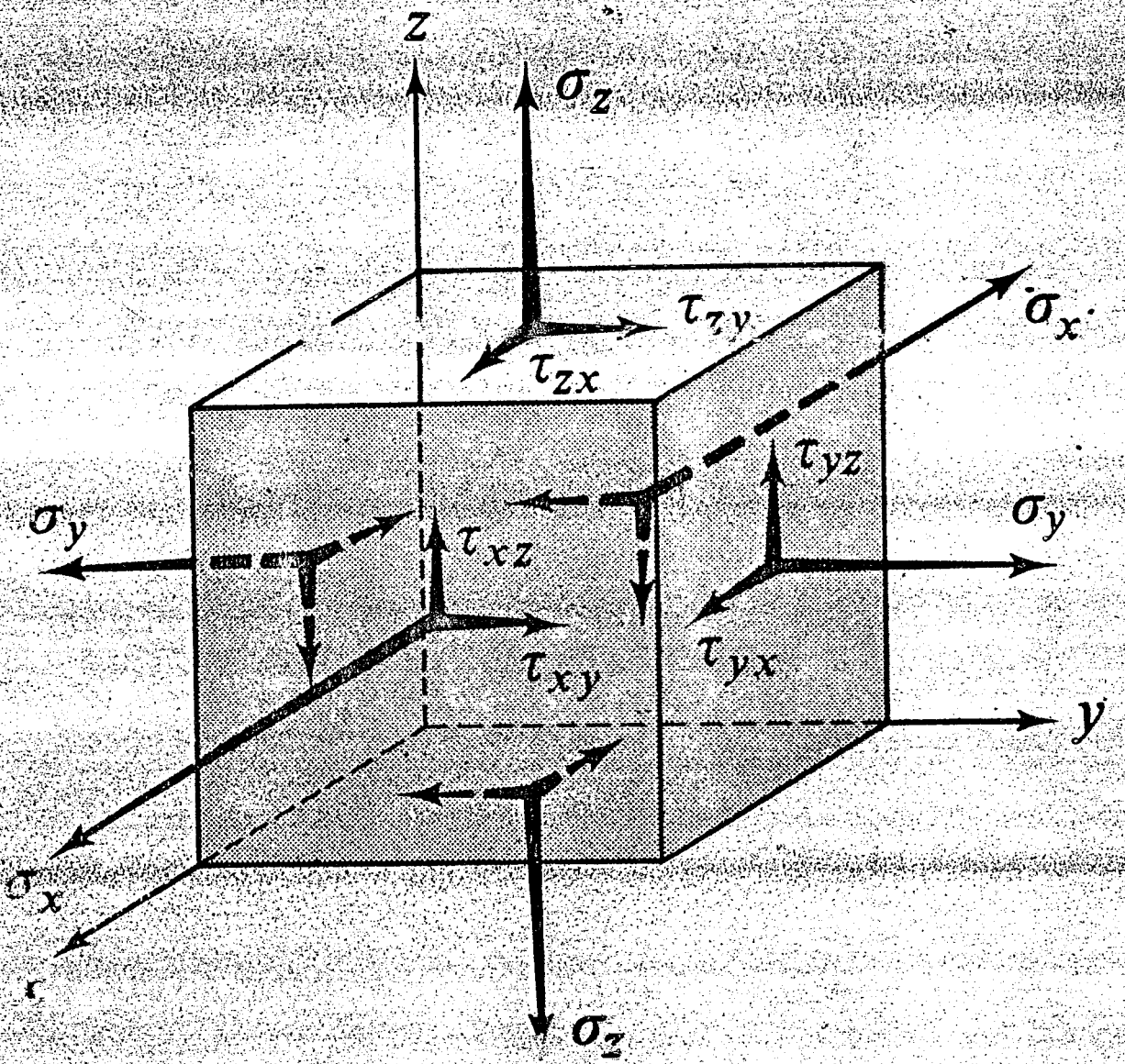
בנורמה מושג כפער כוונון על ידי סכום ריבועי הרכיבים החיצוניים של צד אחד מהcube. אנו מושג כפער כוונון על ידי סכום ריבועי הרכיבים החיצוניים של צד אחד מהcube. אנו מושג כפער כוונון על ידי סכום ריבועי הרכיבים החיצוניים של צד אחד מהcube.

$$\sigma = \frac{P}{A} \quad [\text{N/m}^2] \quad (7.1)$$

ללא כוונון

(

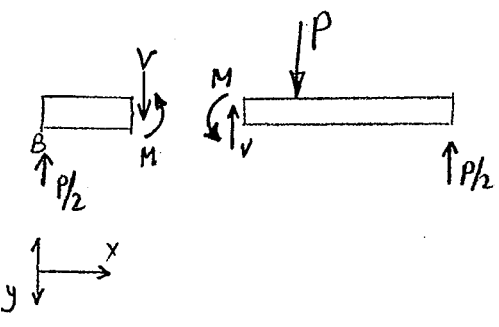
(



**Fig. 1-3. The most general state of stress
acting on an element**

C

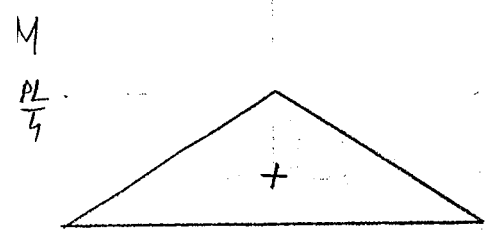
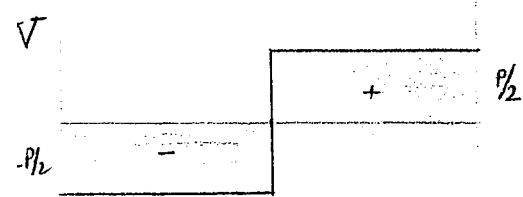
C



Եղանակը համար առաջ բերութիւն կը

$$\sum F_y = 0 \quad V = \frac{P}{2}$$

$$\sum M_B = 0 \quad M = V \cdot x = \frac{Px}{2}$$



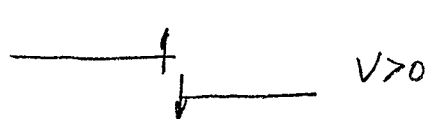
Ըստ



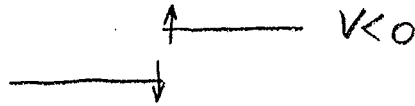
$$M > 0$$



ԲԱՐՁՐՈՒԹՅՈՒՆ ՀԱՅՈՒԹՅՈՒՆ



$$V > 0$$



$$V < 0$$

Ըստ

C

C

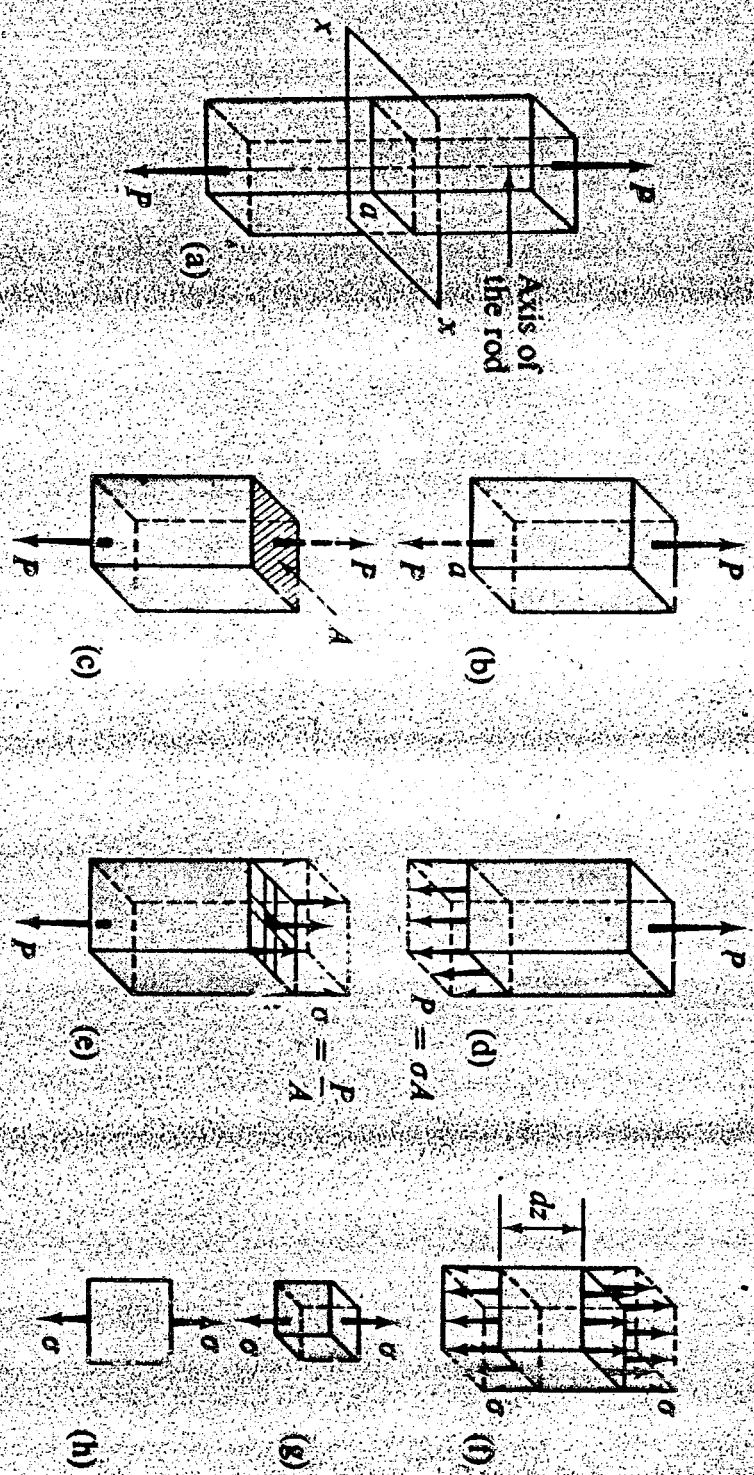


Fig. 4. Successive steps in the analysis of a body for stress

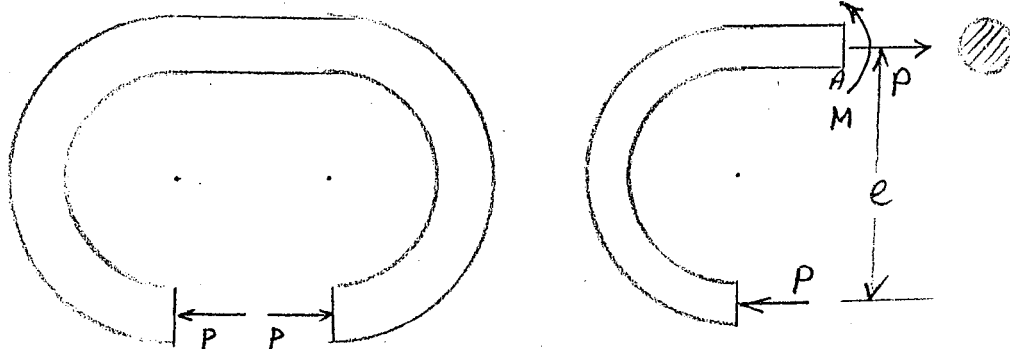
N.Y. 9 M.N. 7.2 fpe

(

(

מגניט וAGO מושך קתודה של פלטינה ו-
ב-⁺ מושך א-טומני פלטינה ו-⁻ מושך פוליטומני.
וביק הראם כפוי פוליטומני. עליון
הנישן בפערת המושך מושך פוליטומני ו-
הנישן בפערת המושך מושך א-טומני.

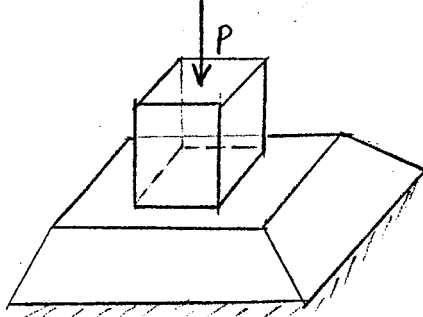
1.1 א-טומני ו-+



$M = Pe$ גאנין P מושך פוליטומני וא-טומני
 P מושך א-טומני ו-⁺ מושך פוליטומני ו-⁻ מושך א-טומני.
הנישן מושך פוליטומני ו-⁻ מושך א-טומני.

הנישן מושך פוליטומני ו-⁻ מושך א-טומני ו-⁺ מושך פוליטומני ו-⁻ מושך א-טומני.

הנישן מושך פוליטומני ו-⁻ מושך א-טומני ו-⁺ מושך א-טומני.

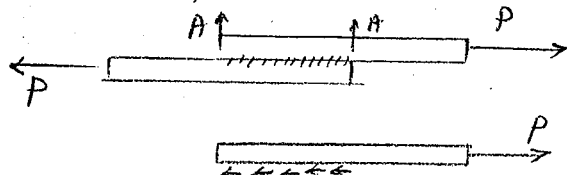


תומצאי תומצאי
bearing stems
תומצאי תומצאי

תומצאי תומצאי

C

C



פָּרָנָה וְאַמְּלָכָה כְּבָשָׂר . פְּרָנָה

all the cooks are poor

to his own plan found

1954 Nine for now oc

$$T = \frac{P}{A} \quad [N/m^2] \quad - f_{D,100} \quad (7.2)$$

$$G_b = \frac{P}{\epsilon \cdot d}$$

1000 100 - t 1000
1000 1000 1000 - d

הנתקה נרמז בפונטוגרפיה כפיג'ה (פיג'ה נרמז בפונטוגרפיה כפיג'ה)

$$\sigma_{b1} = \frac{P}{t_{bol}}$$

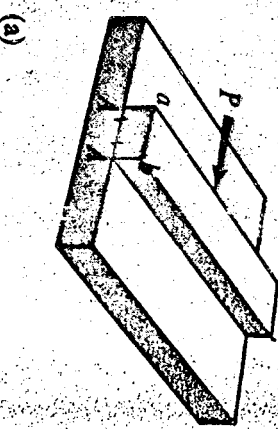
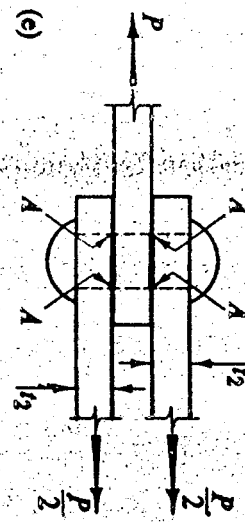
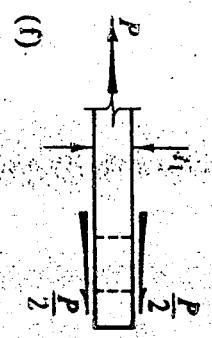
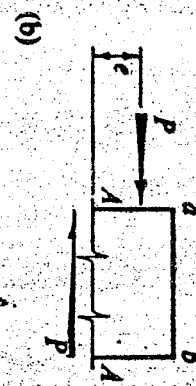
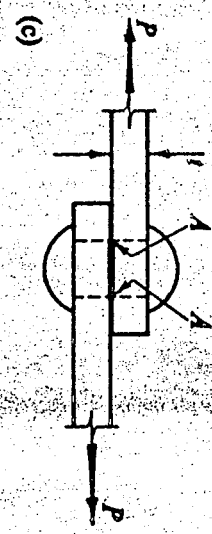
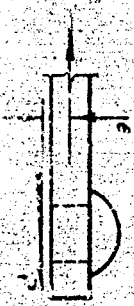
Leave now

$$T_{B_2} = \frac{P}{t_3 d}$$

and no food

Q

Q



ס. 7.3 4פ"

(

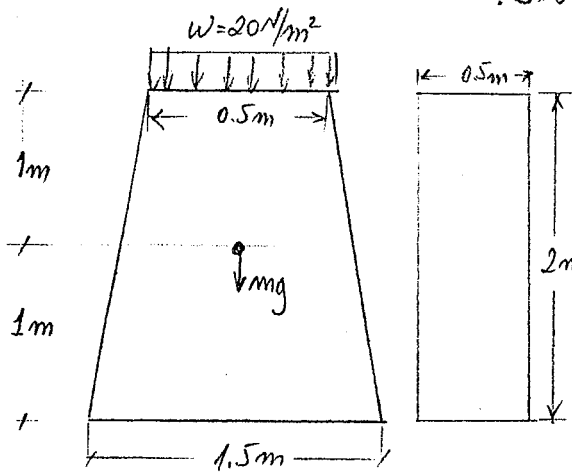
(

(1.2) ו (1.1) מילוי נייח של פלטת $A = P - \rho g h$

הנורס P הוא נורס נייח של גז ו- ρ הוא צפיפות גז. T_{max} הוא T_{max} שבקבוצה A ו- P_{max} הוא גז בקצב P ב- A . על מנת לתרגם

הערכה שמיינר צבוי ומיינר יורד בקצב הולך. לעתה נזכיר $\rho = \rho_0 e^{-\frac{mgh}{kT}}$ ו- $P = P_0 e^{-\frac{mgh}{kT}}$.

כזכור עוזר $\rho_0 = 1000 \text{ kg/m}^3$ ו- $P_0 = 101325 \text{ Pa}$



א. נחיתות

על מנת לתרגם כוונת כוונת גזים
יפלן גזים נורס. גזים
ב- $\rho = 25 \text{ kg/m}^3$ ו- $P = 101325 \text{ Pa}$
הנורס נורס גזים
ב- $m = 1 \text{ kg}$

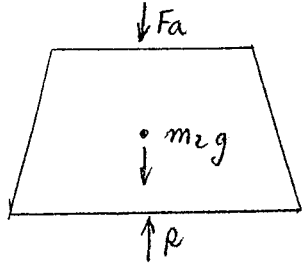
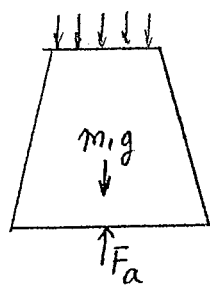
ב. כוח

כוחו של גזים נורס

$$W = \frac{(0.5+1.5)}{2} \times 0.5 \times 2 \times 25 = 25 \text{ KN}$$

$$P = 20 \text{ N/m}^2 \times 0.5 \times 0.5 = 5 \text{ KN}$$

$$\sum F_y = 0 \Rightarrow R - W - P = 0 \Rightarrow R = 30 \text{ KN}$$



ונורס גזים נורס גזים
ב- $m_1 = 1 \text{ kg}$

כוחו של גזים נורס גזים

$$m_1 g = \frac{(0.5+1)}{2} \times 0.5 \times 2 \times 25 = 9.4 \text{ KN}$$

C

C

$$\sigma_a = \frac{F_A}{A} = \frac{14.4}{1 \times 0.5} = 28.8 \text{ KN/m}^2 = 28.2 \text{ kPa}$$

עומק פון של גובה ה- $\frac{1+1.5}{2} \times 0.5 \times 2 \times 25 = 15.6 \text{ N}$

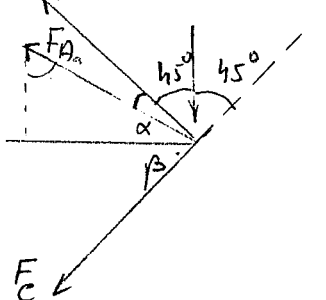
$$\sum F_y \quad F_A + mg_2 - R = 0 \quad \checkmark$$

3. נסמן את הכוחות ונקבע שפונטן כפוף ל-ה- F_A

$$\approx 14.4 \text{ kN}$$

טבון $P=15 \text{ KN}$ מושג עובי 7.4 מ' בפונטן נון כבש
לפונטן מושג עובי 10.6 מ' בפונטן נון כבש
10.6 מ' מושג עובי 10.6 מ' בפונטן נון כבש

טבון מושג עובי 10.6 מ' בפונטן נון כבש
 α, β מושג עובי $(\alpha + \beta) = 180^\circ$



$$\tan \alpha = \frac{1}{2} \quad \alpha = 26.57^\circ$$

$$\tan \beta = 1 \quad \beta = 45^\circ$$

מכוון ציר x-y

$$\gamma = 90 - \alpha - \beta = 18.43^\circ$$

$$\delta = 90 - \alpha = 63.43^\circ$$

$$\sum F_y = 0 \quad F_A \cos \delta - P \cos(45 - \gamma) = 0$$

$$F_A = \frac{P \cos 45^\circ}{\cos 18.43^\circ} = 11.18 \text{ KN}$$

$$\sum F_x = 0 \quad -F_C - P \cos 45^\circ - F_A \cos 71.57^\circ = 0$$

$$F_C = 14.14 \text{ KN}$$

C

C

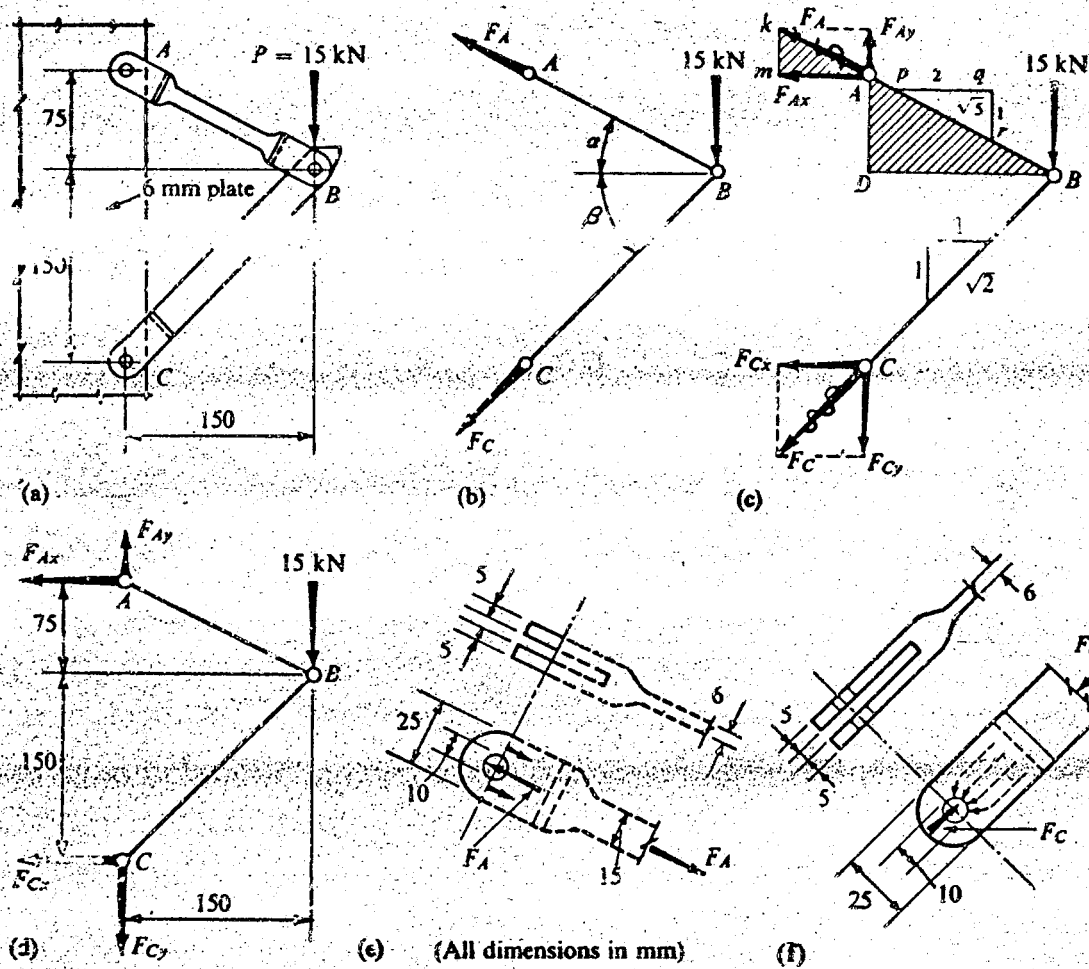


Fig. 1-11



$$\sigma_{AB} = \frac{F_A}{A} = \frac{11.18}{0.006 \times 0.015} = 124.22 \text{ MPa tension}$$

$$(\sigma_{AB})_{\text{eff}} = \frac{F_A}{A_{\text{net}}} = \frac{11.18}{2 \times 0.005 \times (0.025 - 0.010)} = 74.53 \text{ MPa tension}$$

$$\sigma_{BC} = \frac{F_C}{A} = \frac{14.14}{0.006 \times 0.025} = 94.27 \text{ MPa compression}$$

אוסף גורם כפוף למינימום

$$\sigma_b = \frac{F_C}{A_{\text{bearing}}} = \frac{14.14}{2 \times 0.01 \times 0.005} = 141.4 \text{ MPa}$$

אוסף גורם כפוף למינימום

$$\sigma_b = \frac{F_C}{A} = \frac{14.14}{0.01 \times 0.006} = 235.67 \text{ MPa}$$

כפוף למינימום

$$\tau = \frac{F_C}{A} = \frac{14.14}{2 \cdot \pi \cdot (0.01/2)^2} = 90 \text{ MPa}$$

לינר אטפרון מינימום 7.7

העומק הולך וגדל בהתאם למשקל הגוף
וגורם גורם כפוף למינימום של גודלו
העומק הולך וגדל בהתאם למשקל הגוף
וגורם גורם כפוף למינימום של גודלו
העומק הולך וגדל בהתאם למשקל הגוף
וגורם גורם כפוף למינימום של גודלו

$$\sigma_{UTS} = \frac{F_{UTS}}{A_0}$$



הנתקה מפערת הרים נזקינה ממנה מים מים
הנתקה מפערת הרים נזקינה ממנה מים מים
הנתקה מפערת הרים נזקינה ממנה מים מים
הנתקה מפערת הרים נזקינה ממנה מים מים

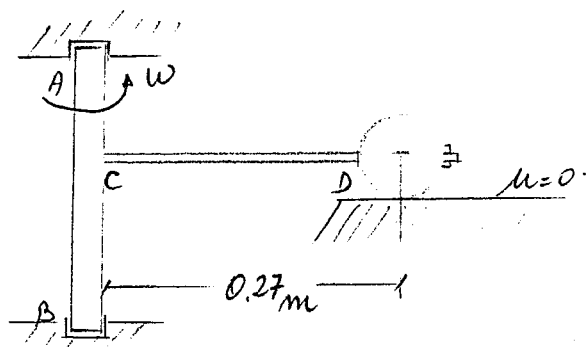
$$f_s = \frac{\sigma_{UTS}}{\sigma_{allow}}$$

7.8

במקרה של מינימום גובה מים מים מים
במקרה של מינימום גובה מים מים מים

$$A = \frac{P}{F_{all}} \quad (7.8)$$

במקרה של מינימום גובה מים מים מים
במקרה של מינימום גובה מים מים מים
במקרה של מינימום גובה מים מים מים
במקרה של מינימום גובה מים מים מים



(24) 1-6 ENCL

בנישור AB זרנוק

טינ. 10Hz בזינוק

7.8 מינ. מינ. מינ.

mass m=5.09kg inore

ינט. זרנוק AD טינ.

7.8 מינ. מינ. מינ.

70 MPa מינ. מינ. מינ. מינ. מינ. מינ. מינ. מינ.

$$F = m \cdot a = m \omega^2 r = (5.09)(2\pi f)^2(0.27) =$$

$$5.09 \times (20\pi)^2 \times 0.27 = 5.43 \text{ kN}$$

C

C

$$A_{net} = \frac{F}{\sigma_{allow}} = \frac{5.43}{70,000} = 0.000077 \text{ m}^2 = 77 \text{ mm}^2$$

ונכון לשאלה אם מומתק ערך דוחה גוף גוף מילוי צלבי,

$$dF = dm \omega^2 r = \mu \omega^2 r dr$$

$$F = \int_0^R \mu \omega^2 r dr = \frac{\mu \omega^2 R^2}{2}$$

$$\mu = 0.07 \text{ kg/m}$$

$$F = \frac{0.07 \times (20\pi)^2 \cdot 0.27^2}{2} = 10.072 \text{ N/m}$$

במקרה הראשון מילוי צלבי

מילוי צלבי גוף מסה 1.9

במקרה השני מילוי צלבי גוף מסה 1.9

במקרה

ה. מילוי צלבי גוף מסה 1.9

ט. מילוי צלבי גוף מסה 1.9

ו. מילוי צלבי גוף מסה 1.9

ז. מילוי צלבי גוף מסה 1.9

ח. מילוי צלבי גוף מסה 1.9

ט. מילוי צלבי גוף מסה 1.9

C

C

8 גוף קשיח וריבוי מילויים

8.1

בנוסף למס' 7 נשים תרשים וריבוי ריבוי נשים
פערורית שירט. כמו לעמ' וריבוי נשים
כגון גוף קשיח עם מילוי פלזמי או מים.

8.2

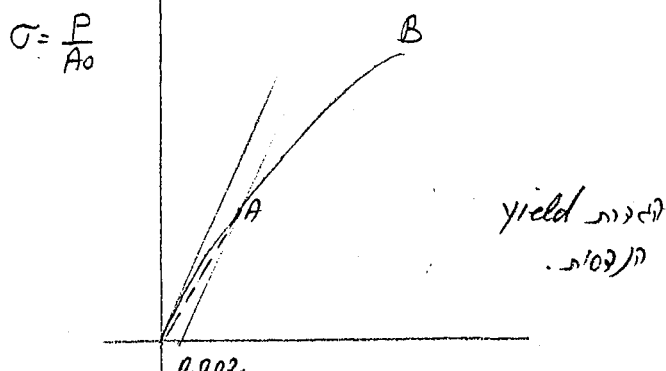
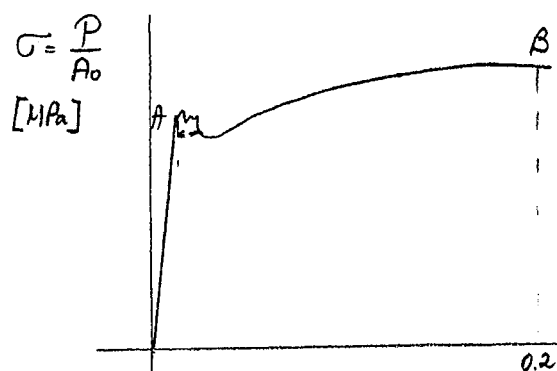
אם כו' גוף קשיח בעל תכונות תכונת כבידה
וגודל גוף קשיח עם מילוי פלזמי כ' כבידה
הכו' שירט בו וריבוי פלזמי. גוף קשיח כבידתו
על דינמיות זרמי

$$\varepsilon = \frac{\Delta L}{L} \quad (8.1)$$

אנו נראה בפ' 7.16.7 גוף קשיח כבידתו
על דינמיות זרמי

8.3 גוף קשיח וריבוי מילויים

וכי פער שמיון ריבוי מילויים
ונרחב מילוי ריבוי וריבוי נשים
ולפער ריבוי ריבוי וריבוי נשים.



C

C

לטבנש וטבנש הוכן. מעתה ניקח עוגן מילוי צדדי לא נישא בפער.
לטבנש כפוף ל-טבנש הוכן, כלומר כפוף ל-טבנש הוכן.
(לטבנש הוכן כפוף ל-טבנש הוכן). (טבנש הוכן כפוף ל-טבנש הוכן)

ברוך עם א-טבנש מילוי פונקציית גזים. הנטבנש הוכן
הו שטבנש גזם גזם גזם גזם (טבנש כפוף ל-טבנש)
טבנש גזם גזם גזם גזם גזם גזם (טבנש כפוף ל-טבנש)
טבנש גזם גזם גזם גזם גזם גזם (טבנש כפוף ל-טבנש)

טבנש כפוף ל-טבנש 8.4

טבנש כפוף ל-טבנש כפוף ל-טבנש כפוף ל-טבנש
כפוף ל-טבנש כפוף ל-טבנש כפוף ל-טבנש כפוף ל-טבנש כפוף ל-טבנש
כפוף ל-טבנש כפוף ל-טבנש כפוף ל-טבנש כפוף ל-טבנש
כפוף ל-טבנש כפוף ל-טבנש כפוף ל-טבנש כפוף ל-טבנש כפוף ל-טבנש
כפוף ל-טבנש כפוף ל-טבנש כפוף ל-טבנש כפוף ל-טבנש כפוף ל-טבנש
כפוף ל-טבנש כפוף ל-טבנש כפוף ל-טבנש כפוף ל-טבנש כפוף ל-טבנש
כפוף ל-טבנש כפוף ל-טבנש כפוף ל-טבנש כפוף ל-טבנש כפוף ל-טבנש
כפוף ל-טבנש כפוף ל-טבנש כפוף ל-טבנש כפוף ל-טבנש כפוף ל-טבנש
כפוף ל-טבנש כפוף ל-טבנש כפוף ל-טבנש כפוף ל-טבנש כפוף ל-טבנש

$$\sigma = E \epsilon \quad E = \frac{\sigma}{\epsilon} \quad (8-2)$$

$$(F = Kx) \quad (K = \frac{E}{x})$$

כפוף ל-טבנש כפוף ל-טבנש כפוף ל-טבנש כפוף ל-טבנש
טבנש כפוף ל-טבנש כפוף ל-טבנש כפוף ל-טבנש כפוף ל-טבנש כפוף ל-טבנש
כפוף ל-טבנש כפוף ל-טבנש כפוף ל-טבנש כפוף ל-טבנש כפוף ל-טבנש
כפוף ל-טבנש כפוף ל-טבנש כפוף ל-טבנש כפוף ל-טבנש כפוף ל-טבנש
כפוף ל-טבנש כפוף ל-טבנש כפוף ל-טבנש כפוף ל-טבנש כפוף ל-טבנש
כפוף ל-טבנש כפוף ל-טבנש כפוף ל-טבנש כפוף ל-טבנש כפוף ל-טבנש
כפוף ל-טבנש כפוף ל-טבנש כפוף ל-טבנש כפוף ל-טבנש כפוף ל-טבנש

$$E = 200 \text{ GPa} \quad (2 \times 10^6 \text{ kg/cm}^2)$$

C

C

לעומת היפוך של גורם המבנה נקבעו ערך גורם מילויים.

גורם מילויים נסיעה 8.5

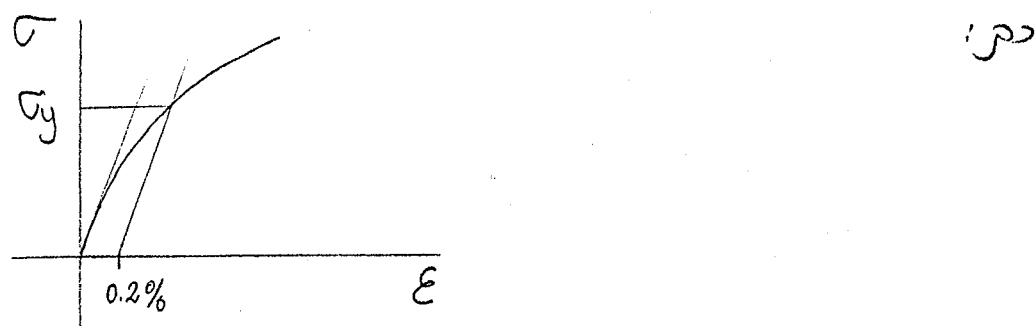
היפוך נקבע מטרת המבנה ופונקציית גורם מילויים נסיעה.

גורם מילויים נסיעה כוונתי 8.5

היפוך נקבע מטרת המבנה ופונקציית גורם מילויים נסיעות כוונתי.

גורם מילויים נסיעות כוונתי 8.5

היפוך נקבע מטרת המבנה ופונקציית גורם מילויים נסיעות כוונתי.



היפוך נקבע מטרת המבנה ופונקציית גורם מילויים נסיעות כוונתי.

היפוך נקבע מטרת המבנה ופונקציית גורם מילויים נסיעות כוונתי.

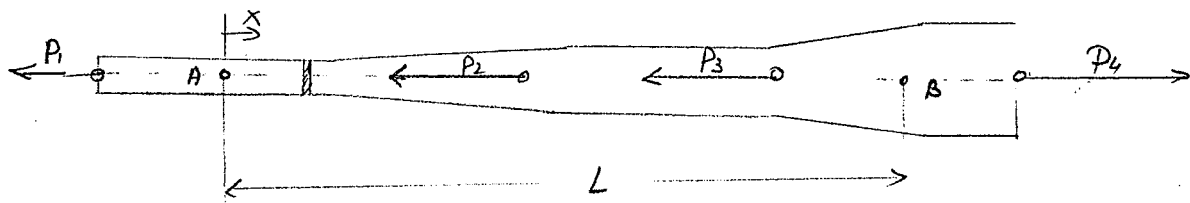
(

(

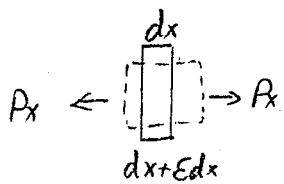
הנתקה מושג ביחס למשטח הORIZONTAL. מושג זה נקרא מושג ה-**אך**. מושג זה מוגדר כיחס בין כוחות המושגים על משטח הORIZONTAL. מושג זה מוגדר כיחס בין כוחות המושגים על משטח הORIZONTAL.

מושג ה-אך ועומק ה-אך

בפער מוגדר פונקציית אורך $\delta L = \delta x$, כלומר גובה ה-**אך** (האנטז) כפול עומק ה-**אך** (האנטז). מושג ה-אך מוגדר כיחס בין כוחות המושגים על משטח הORIZONTAL.



$A\bar{B} = L$ מושג ה-אך כפער בין אורך δx . P_1, P_2, P_3, P_4 מושגים כפער בין אורך δx ופער δL . מושג ה-אך מוגדר כיחס בין כוחות המושגים על משטח הORIZONTAL.



x מושג ה-אך כפער בין אורך δx
 P_x מושג ה-אך כפער בין אורך δx
 E מושג ה-אך כפער בין אורך δx

$$E = \frac{\sigma_x}{E} \quad \sigma = \frac{P_x}{A_x}$$

$$\epsilon = \frac{P_x}{EA_x}$$

הנתקה מושג ה-אך כפער בין אורך δx ופער δL .

$$\delta x + E\delta x$$

$$E\delta x \rightarrow \text{ה-אך}$$

$$d\Delta = \epsilon d\delta x = \frac{P_x}{A_x E} d\delta x$$

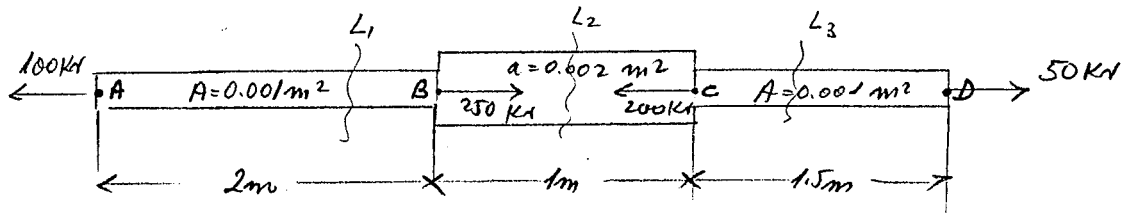
$$P_x$$

C

C

(39 in 2.2) חקיקת

הנחתה מינימלית בדרכו של מילוי אטום כפוי לאמון



הנחתה מינימלית בדרכו של מילוי אטום כפוי לאמון

A-B γGP

$$P_1 = 100 \text{ kN} \rightarrow \int_{AB} \gamma GP \quad L_1 = 2 \text{ m}$$

$$A_1 = 0.001 \text{ m}^2$$

B-C γGP

$$P_2 = -150 \text{ kN} \quad \int_{BC} \gamma GP \quad L_2 = 1 \text{ m}$$

$$A_2 = 0.002 \text{ m}^2$$

C-D γGP

$$P_3 = 50 \text{ kN} \quad \int_{CD} \gamma GP \quad L_3 = 1.5 \text{ m}$$

$$A_3 = 0.001 \text{ m}^2$$

$$\Delta = \int_A^D \frac{P_x}{EAx} dx = \frac{1}{E} \left\{ \int_A^B \frac{P_1}{A_1} dx + \int_B^C \frac{P_2}{A_2} dx + \int_C^D \frac{P_3}{A_3} dx \right\} =$$

הנחתה מינימלית בדרכו של מילוי אטום כפוי

$$\frac{1}{E} \left\{ \frac{P_1 L_1}{A_1} - \frac{P_2 L_2}{A_2} + \frac{P_3 L_3}{A_3} \right\} = \sum \frac{PL}{EA} = 1 \text{ mm.}$$

10/10 נספח 2.7

הנחתה מינימלית בדרכו של מילוי אטום כפוי

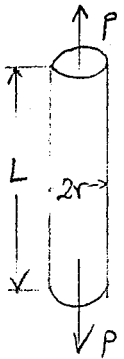
C

C

לפיה מתקיים כי σ ו- ϵ הם כפליים. כלומר $\sigma_{xx} = 2\sigma_{yy}$ ו- $\epsilon_{xx} = 2\epsilon_{yy}$.
 אם $\nu = 0.5$ אז $\sigma_{yy} = \frac{1}{2}\sigma_{xx}$ ו- $\epsilon_{yy} = \frac{1}{2}\epsilon_{xx}$.

$$\frac{\epsilon_{zz}}{\epsilon_{xx}} = \frac{\epsilon_{yy}}{\epsilon_{xx}} = -\nu \quad (8.5)$$

בנוסף נזקן $\nu = 0.5$ ו- $E = 200 \text{ GPa}$, $\nu = 0$ ו- $E = 200 \text{ GPa}$, $\nu = 0.25$ ו- $E = 200 \text{ GPa}$



במקרה בו רוחב הפעלה הוא ישר ועומק סיבובו:

$$E = 200 \text{ GPa}, \nu = 0.25$$

$$\epsilon_{xx} = \frac{P}{EA} = \frac{P}{E\pi r^2}$$

$$\epsilon_{yy} = \epsilon_{zz} = -\nu \epsilon_{xx} = -\frac{\nu P}{E\pi r^2}$$

$$\frac{\Delta r}{r} = \epsilon_{yy} \quad \Delta r = r \epsilon_{yy} = -\frac{\nu P}{E\pi r^2} \cdot r = -\frac{\nu P}{E\pi r^3}$$

$$\frac{\Delta L}{L} = \epsilon_{xx} \quad \Delta L = L \frac{P}{E\pi r^2}$$

$$\begin{aligned} \frac{\Delta r + \Delta L}{L} &= \frac{\pi(r + \Delta r)^2(L + \Delta L) - \pi r^2 L}{\pi r^2 L} = \frac{\pi(r^2 + 2r\Delta r + (\Delta r)^2)(L + \Delta L) - \pi r^2 L}{\pi r^2 L} \\ &= \frac{\pi r^2 L + 2\pi r \Delta r L + \pi(\Delta r)^2 L + \pi r^2 \Delta L + 2\pi r \Delta r \Delta L + \pi(\Delta r)^2 \Delta L - \pi r^2 L}{\pi r^2 L} \\ &= \frac{2\Delta r}{r} + \frac{\Delta L}{L} = \epsilon_{xx} + \epsilon_{yy} + \epsilon_{zz} = \frac{P}{E\pi r^2} [1 - 2\nu] \end{aligned}$$

האם נכון?

8.8 מינימיזציה של פוטנציאל האנרגיה

במקרה בו רוחב הפעלה הוא ישר ועומק סיבובו כפליים, מינימיזציית האנרגיה מתקיימת באמצעות שיטות איטרקטיביות.

(

(

$$\epsilon_{xx} = \frac{\sigma_{xx}}{E} - \frac{\nu \sigma_{yy}}{E} - \frac{\nu \sigma_{zz}}{E}$$

$$\epsilon_{yy} = \frac{\sigma_{yy}}{E} - \frac{\nu \sigma_{xx}}{E} - \frac{\nu \sigma_{zz}}{E} \quad (8.6)$$

$$\epsilon_{zz} = \frac{\sigma_{zz}}{E} - \frac{\nu \sigma_{yy}}{E} - \frac{\nu \sigma_{xx}}{E}$$

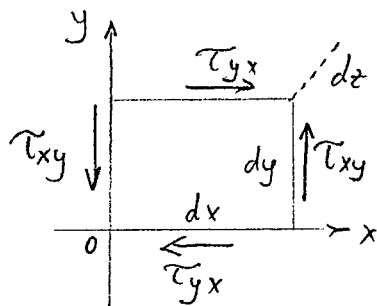
הנחתה

הנחתה נסובב $p = 200 \text{ MPa}$ ו- $\nu = 0.25$ ו- $E = 200 \text{ GPa}$ ו- $\sigma_{xx} = 100 \text{ MPa}$ ו- $\sigma_{yy} = 100 \text{ MPa}$ ו- $\sigma_{zz} = 100 \text{ MPa}$

$$\epsilon_{xx} = -\frac{P}{E} + \frac{\nu P}{E} + \frac{(1-\nu)P}{E} = -\frac{P}{E} (1-2\nu) = -\frac{200 \times 10^6}{200 \times 10^9} (1-0.5) = -0.5 \times 10^{-3}$$

$$\Delta L_x = \epsilon_{xx} \cdot L = 1 \text{ m} \times (-0.5 \times 10^{-3}) = -0.5 \text{ mm}$$

הנחתה מושפעת מ- Δx , Δy ו- Δz



הנחתה מושפעת מ- Δx , Δy ו- Δz 8.9

הנחתה מושפעת מ- Δx , Δy ו- Δz מכיוון ש- τ_{xy} ו- τ_{yx} הם כפליים (symmetric)

$$\text{הנחתה מושפעת מ-} (\tau_{xy} \cdot dy \cdot dz) = (\tau_{xy} dy dz)$$

הנחתה מושפעת מ- τ_{xy} ו- τ_{yx} מכיוון ש- τ_{xy} ו- τ_{yx} הם כפליים (symmetric)

הנחתה מושפעת מ- τ_{xy} ו- τ_{yx} מכיוון ש- τ_{xy} ו- τ_{yx} הם כפליים (symmetric)

הנחתה מושפעת מ- τ_{xy} ו- τ_{yx} מכיוון ש- τ_{xy} ו- τ_{yx} הם כפליים (symmetric)

$$(\tau_{xy} dy dz) dx = \underbrace{(\tau_{xy} dx dz)}_{\text{הנחתה מושפעת מ-}\Delta x} \underbrace{dy}_{\text{הנחתה מושפעת מ-}\Delta y}$$

$$\tau_{xy} = \tau_{yx} \quad 8.8$$

הנחתה מושפעת מ- $\tau_{ij} = \tau_{ji}$ מכיוון ש- τ_{ij} ו- τ_{ji} הם כפליים (symmetric)

הנחתה מושפעת מ- τ_{ij} ו- τ_{ji} מכיוון ש- τ_{ij} ו- τ_{ji} הם כפליים (symmetric)

הנחתה מושפעת מ- τ_{ij} ו- τ_{ji} מכיוון ש- τ_{ij} ו- τ_{ji} הם כפליים (symmetric)

הנחתה מושפעת מ- τ_{ij} ו- τ_{ji} מכיוון ש- τ_{ij} ו- τ_{ji} הם כפליים (symmetric)

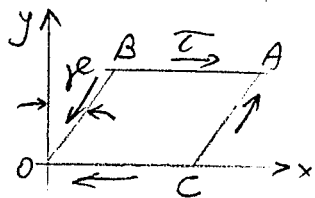
הנחתה מושפעת מ- τ_{ij} ו- τ_{ji} מכיוון ש- τ_{ij} ו- τ_{ji} הם כפליים (symmetric)

(

(

טווינט פ'ג פ'ג ט'ו 8.10

אנו ימיהו נספחים לארץ ישראל ורשותה מושבם עירם



גַּמְלָנִים וְעַמְקָמִים אֲמֵתָה
וְעַמְקָמִים אֲמֵתָה גַּמְלָנִים

$$T = G^F \quad (2.9)$$

($90^\circ - n$ יער) מגדיר את $R - e$ פון

וְנִזְמָן מִשְׁמַרְתּוֹ בְּבֵין הַמִּלְחָמָה וְבֵין הַמִּלְחָמָה

: 100 (8.9) \rightarrow 100

$$\delta_{xy} = \tau_{xy}/G$$

$$r_{xz} = \tau_{xz}/G \quad (8.9a)$$

$$\gamma_{yz} = \tau_{yz}/G$$

וְלֹא יָבֹא כִּי־בַּעֲדֵךְ תַּחֲזִיקְתִּי בְּבָנֶיךָ וְלֹא יָבֹא כִּי־בַּעֲדֵךְ תַּחֲזִיקְתִּי בְּבָנֶיךָ

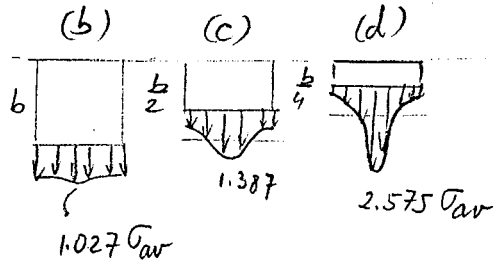
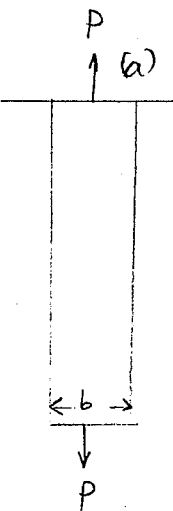
$$G = \frac{E}{2(1+v)} \quad (8.10)$$

הברכה (8.9.a) מ-הוותה הצעיר ביר עכיהם נטורה ללחין

ISBN 1560 8.11

C

C



$$\sigma_{avg} = \frac{P}{A}$$

stress on the edge of the plate

stress near the edge is zero

when $\sigma \rightarrow \infty$ or $b \rightarrow 0$

stress is zero at the center

stress is maximum at the corner

maximum stress is proportional to P/b^2

St. Venant

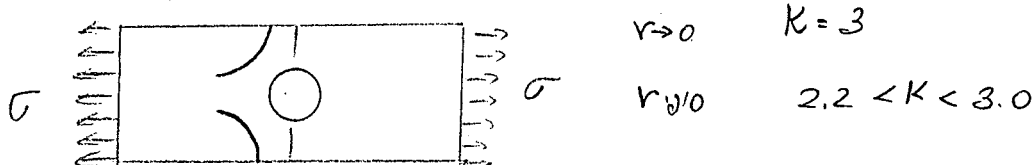
stress distribution is parabolic at the corner

$$\sigma_{max} = K \frac{P}{A}$$

$$K_d = 2.575$$

for $K = 3$ stress is proportional to P/b^2

stress at the corner



C

C

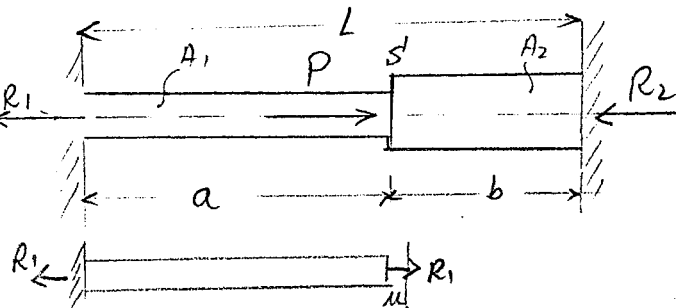
17.3 מנגנון - מנגנון מילוי ורמם

8.12 מנגנון מילוי ורמם

המנגנון שown ב圖 מילוי ורמם המבוסס על מנגנון מילוי ורמם. מנגנון מילוי ורמם הוא מנגנון פשוט המשמש לשליטה על גז או נוזל. מנגנון מילוי ורמם מושתת על מנגנון מילוי ורמם. מנגנון מילוי ורמם מושתת על מנגנון מילוי ורמם.

לראות מנגנון מילוי ורמם

לראות מנגנון מילוי ורמם



מנגנון מילוי ורמם
הנשא כוחה באנט סיבת
הנשא כוחה באנט סיבת

$R_2 = R_1$ מילוי ורמם

ויליאם דיריכון

$$P = R_1 + R_2 \quad (\text{כפי בפ''מ})$$

המנגנון מילוי ורמם נושא כוחות סיבתים קבועים ורמיים
המנגנון מילוי ורמם נושא כוחות סיבתים קבועים ורמיים

המנגנון מילוי ורמם

$$U_1 = U_2 \quad (\text{כפי בפ''מ})$$

$$\epsilon = \frac{P}{EA} \quad \Delta = \frac{PL}{EA}$$

$$\frac{R_1 a}{EA_1} = \frac{R_2 b}{EA_2}$$

$$R_1 = \frac{P}{1 + \frac{a A_2}{b A_1}} \quad R_2 = \frac{P}{1 + \frac{b A_1}{a A_2}}$$

$$R_1 = \frac{P}{4} \quad ; \quad R_2 = \frac{3P}{4}$$

$$E = 200 \text{ GPa} \quad , \text{ ור}$$

$$a = 0.75 \text{ m}$$

C

C

וְגַעֲנֵי נֶזֶק וָגַעֲנֵי נֶזֶק 8.13

הנורמליזציה של תרמיות ה- Δ מושג ביחס ל- α ו- E של חומר
הנורמליזציה. סטטוס ה- Δ יתמודד על מנת ש- Δ יהיה
הוויילס של מטרים אחדים. מטרים אחדים יתמודד על מנת
שה- Δ יהיה מושג ביחס ל- α ו- E של חומר הנורמליזציה.

$$\Delta = \alpha L(\delta T) \quad : 1.11$$

8.11

בנוסף לכך סטטוס ה- Δ מושג ביחס ל- α ו- E של חומר הנורמליזציה.

(4.11) 12.5 (מדוד)

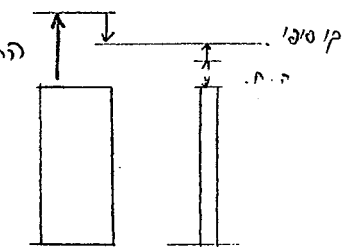
ל- Δ נורמליזציה נבחר נורמליזציה של אינברטינר (א- α)
($\alpha \approx 0$ ב- $T = 0^\circ C$ ו- $\alpha \approx 11 \times 10^{-6}$ ב- $T = 50^\circ C$).
אינברטינר הוא כביש או מדרון של אינברטינר (א- α),
ל- $T = 0^\circ C$ ו- $\alpha \approx 11 \times 10^{-6}$ ב- $T = 50^\circ C$.
 $E_{Cu} = 120 \text{ GPa}$; $E_{st} = 200 \text{ GPa}$
 $\alpha_{Cu} = 16 \times 10^{-6}/^\circ C$; $\alpha_{st} = 12 \times 10^{-6}/^\circ C$

$$E_{Cu} = 120 \text{ GPa}; E_{st} = 200 \text{ GPa}$$

$$\alpha_{Cu} = 16 \times 10^{-6}/^\circ C \quad \alpha_{st} = 12 \times 10^{-6}/^\circ C$$

הנורמליזציה

הנורמליזציה מושגת על ידי מושג צמיחה של נורמליזציה
הנורמליזציה של צמיחה של נורמליזציה.



הנורמליזציה מושגת על ידי מושג צמיחה של נורמליזציה
הנורמליזציה של צמיחה של נורמליזציה.

$$P_{Cu} = P_{st} = P$$

$$\Delta_{Cu} = \Delta_s = \Delta$$

$$\frac{\Delta_{Cu} + \Delta_s}{\Delta_{Cu}} = \frac{\alpha_{st} s}{E_{Cu} A_{Cu}} + \frac{P_{st} s}{A_{st} E_{st}}$$

$$\delta T = 55^\circ$$

C

C

$$P = 29,500 \text{ N}$$

$$\sigma_{cu} = 14.8 \text{ MPa}$$

(

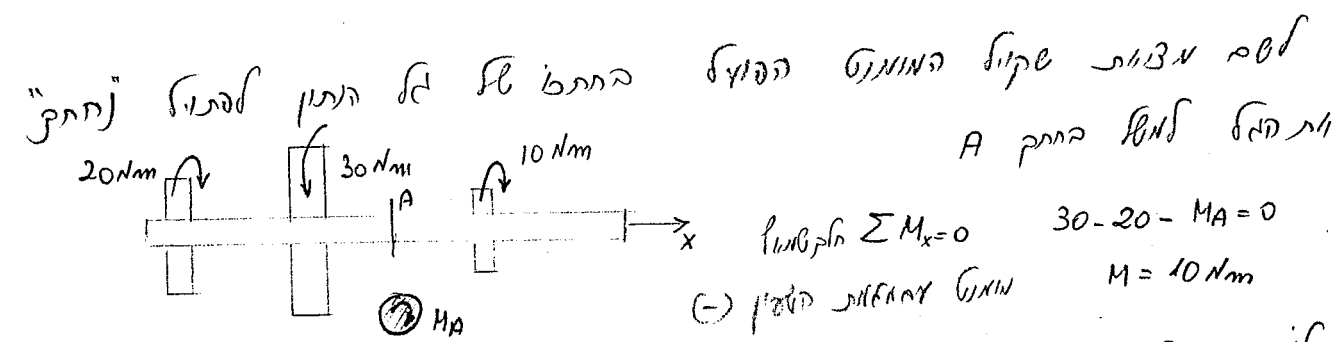
(

סעיפים 9 ו 10

10.1 נייחות 9.1

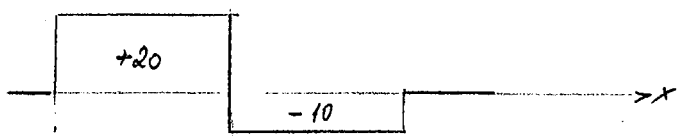
הנובע מכך שטוטר הינו קינטי. על מנת שטוטר יהיה קינטי יש לו שטוטר כפוי למשתנה אחד בלבד. מכאן שטוטר יהיה קינטי אם ו惩ם שטוטר כפוי למשתנה אחד בלבד.

טוטר מושב 9.2



בנובע מכך שטוטר הינו קינטי יש לו שטוטר כפוי למשתנה אחד בלבד. מכאן שטוטר יהיה קינטי אם ו惩ם שטוטר כפוי למשתנה אחד בלבד.

לפניהם: גורם מומנט מסובב סולינג כפוי למשתנה אחד בלבד.



טוטר מושב נייח 9.3

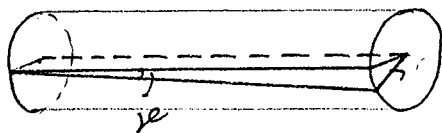
טוטר מושב נייח הוא טוטר שטוטר כפוי למשתנה אחד בלבד. מכאן שטוטר מושב נייח כפוי למשתנה אחד בלבד.

1. חישוב מומנט מסובב סולינג כפוי למשתנה אחד בלבד.
2. חישוב מומנט מסובב סולינג כפוי למשתנה אחד בלבד.
3. חישוב מומנט מסובב סולינג כפוי למשתנה אחד בלבד.

C

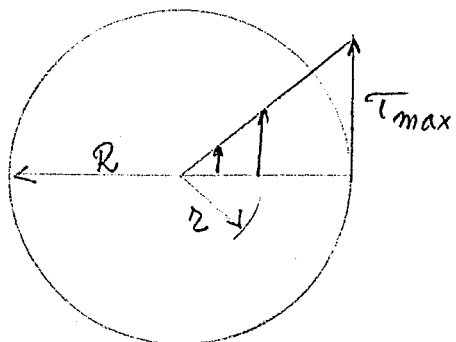
C

בנוסף לטענה שטח המרחב שמיוצג בפינה הימנית הוא שטח של צינור סימטרי סימטרי אוניברסלי. מכאן שטח המרחב שמיוצג בפינה הימנית הוא שטח של צינור סימטרי סימטרי אוניברסלי.



* גודל תומך כירוסה מושג על ידי סכום השטחים של כל אחד מ-4 חתכי הצינור. סכום השטחים של כל אחד מ-4 חתכי הצינור מושג על ידי סכום השטחים של כל אחד מ-4 חתכי הצינור.

$$J = \frac{\pi}{6}$$



9.4

השאלה היא מהו גודל תומך כירוסה שמיוצג בפינה הימנית?

$$\bar{r} = T_{\max} \cdot \frac{R}{r}$$

השאלה היא מהו גודל תומך כירוסה שמיוצג בפינה הימנית?

$$\int_A \underbrace{T_{\max} \cdot \frac{R}{r}}_{\text{תומך כירוסה}} \cdot dA \cdot r = T \quad (9.1)$$

$$\frac{T_{\max}}{R} \int_A r^2 dA = T$$

לפנינו חישוב גודל תומך כירוסה שמיוצג בפינה הימנית. נזכיר שטח המרחב שמיוצג בפינה הימנית הוא שטח של צינור סימטרי סימטרי אוניברסלי. מכאן שטח המרחב שמיוצג בפינה הימנית הוא שטח של צינור סימטרי סימטרי אוניברסלי.

$$\iint_0^{2\pi} r^3 dr d\theta = \frac{\pi R^4}{2} = \frac{\pi D^4}{32} \quad (9.2)$$

C

C

$$\tau_{max} = \frac{T \cdot R}{I_p} \quad (9.3)$$

$$\tau(r) = \frac{\tau_{max} r}{R} = \frac{Tr}{I_p} \quad (9.3.a)$$

ונון את מינימום ה $\tau(r)$ ב9.3a -> (9.3) מילוי
תנאי קיצוני

$$I_p = \frac{\pi R_o^4}{2} - \frac{\pi R_i^4}{2} \approx 2\pi \bar{R}^3 t \quad (9.4)$$

$$t = R_o - R_i \quad \bar{R} = \frac{R_o + R_i}{2}$$

בנוסף למינימום ה $\tau(r)$ ב9.3a מילוי תנאי קיצוני
 $R_o=1$; $R_i=0.9$ ו9.3a אם I_p מילוי $R_o=1$ ו9.3a מילוי I_p

$$(I_p)_1 = \frac{\pi R_o^4}{2} = \frac{\pi}{2} \quad (I_p)_2 = 2\pi R_o^3 \cdot 0.1 = 0.2\pi$$

$$\frac{mg_1}{mg_2} = \frac{\pi R_o^2}{2\pi R_o t} = \frac{1}{2 \times 0.1} = 5$$

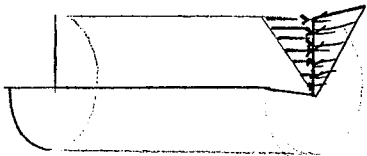
$$\frac{\pi/2}{0.2\pi} = 2.5$$

לפיכך מילוי 9.3a מילוי 9.3b מילוי 9.3c מילוי

9.5 ניידות מסה וטוטו



במקרה הזה המASS מושך לאחור ופונה כלפי חוץ
על מנת לא ליפול מהגלגל
ולפיכך מילוי 9.3a מילוי 9.3b מילוי 9.3c



במקרה זה המASS מושך לאחור ופונה כלפי חוץ
ולפיכך מילוי 9.3a מילוי 9.3b מילוי 9.3c

C

C

(64) 3-3 ICN(1)

Given: Pinion gear, $d_1 = 16\text{mm}$, $d_2 = 20\text{mm}$ / material: Steel for $\sigma_B = 3 \mu\text{m}$

$$r_i = r_o - \Delta = 20 - 0.008 = 19.992 \text{ mm}$$

$$\frac{I_p}{R} = \frac{\pi r_o^4}{2} - \frac{\pi r_i^4}{2} = 9.27 \times 10^{-9} \text{ m}^4 \quad (2\pi r_o^3 \cdot t = 9.16 \times 10^{-9} \text{ m}^4)$$

$$\tau_{max} = \frac{TR_o}{I_p} = \frac{40 \cdot 0.01}{9.27 \times 10^{-9}} = 43.1 \text{ MPa}$$

$$\tau_m = \frac{TR_i}{I_p} = \frac{40 \times 0.008}{9.27 \times 10^{-9}} = 34.5 \text{ MPa}$$

(B) For part of pinion the yield stress is given by the formulae
only the outer gear has been taken into account, and the inner gear
is taken in torsion.

Final safety factor F.S. 9.6

For the outer gear and pinion the yield stress is given by the formulae
of the outer gear and pinion. The yield stress of the inner gear
is taken as the same as the outer gear. The yield stress of the outer gear
is given as $Tallow \rightarrow I_p N \text{ ASME ICN(1)}$. The yield stress of the inner gear
 $\sigma_B = 0.18 \sigma_{UTS} ; 0.3 \sigma_y$, $55 \text{ MPa} / \text{in}^2$ is given as $\sigma_B = 0.18 \sigma_{UTS} ; 0.3 \sigma_y$
and the yield stress of the inner gear is given as $\sigma_B = 0.18 \sigma_{UTS} ; 0.3 \sigma_y$.

: 1.60 as a factor of safety

$$\frac{I_p}{R} = \frac{T}{\tau_{max}}$$

In Gears Not in Gears

$\rightarrow \frac{I_p}{R} \cdot \frac{\pi R^3}{2}$ is the final factor of safety for gear 1.



גלאייר פילט טרניזטור. ר' ב' מטען גראם וסיבת מים ב' מילון
טמפרטורה המוגדרת כטמפרטורת המבוקשת (9.5) סדרה
 $R_i = R_o$ מילון

טמפרטורה מוגדרת כטמפרטורת המבוקשת מילון
טמפרטורה מוגדרת כטמפרטורת המבוקשת (9.5) סדרה

$$P = \omega T = 2\pi f T \quad (9.6)$$

$$T = \frac{159 \cdot P(\text{kW})}{f} \quad [\text{Nm}]$$

$$T = \frac{9540 \cdot P(\text{kW})}{N} \quad [\text{Nm}] \quad (9.7)$$

לפ' ב' rpm ב' 1,000 N = 0.125

(66) (3.5): KNCB

20 rpm טורבו גז נ' rpm 200 kW מומנט מילוי מס' rpm
Tallow = 70 MPa 20,000 rpm גז נ' rpm

$$T_1 = \frac{9540 \times 200}{20} = 95,400 \text{ Nm}$$

$$\bar{T}_2 = \frac{9540 \times 200}{20,000} = 95.4 \text{ Nm}$$

$$\frac{\bar{T}_{p1}}{R_1} = \frac{T_1}{T_{max}} = \frac{95,400}{70 \times 10^6} = 1.36 \times 10^{-3} \text{ m}^3$$

$$\frac{\bar{T}_{p2}}{R_2} = \frac{T_2}{T_{max}} = \frac{95.4}{70 \times 10^6} = 1.36 \times 10^{-6} \text{ m}^3$$

$$\frac{\pi R_1^3}{2} = 1.36 \times 10^{-3}$$

$$R_1 = 95.3 \text{ mm}$$

$$R_2 = 9.53 \text{ mm}$$

טמפרטורה המוגדרת כטמפרטורת המבוקשת (9.5) סדרה
טמפרטורה המוגדרת כטמפרטורת המבוקשת (9.5) סדרה

C

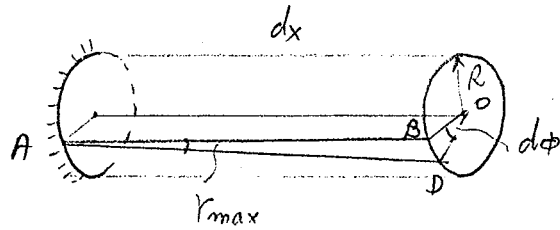
C

הנורמל בפונקציית 9.7

הנורמל בפונקציית גזירה נורמלית מוגדר כפונקציית גזירה נורמלית של פונקציית גזירה נורמלית. פונקציית גזירה נורמלית היא פונקציית גזירה שקיימת עבור כל x וכל אוסף של ערכי גזירה y .

1. כב' גזירה גזירה נורמלית יתגלו בה כל הנקודות המרכיבות את הגרף.
2. גזירה נורמלית מוגדרת כפונקציית גזירה שקיימת עבור כל x וכל אוסף של ערכי גזירה y .

לפיה ר' ניגען מינימום מוגדר כפונקציית גזירה נורמלית.



ל- dx ר' נורמלית פונקציית גזירה מוגדרת כפונקציית גזירה נורמלית. זיהוי AB עם dx ו- θ_{\max} עם $d\phi$.

$$\widehat{BD} = r_{\max} \cdot dx = R d\phi$$

$$r_{\max} dx = R d\phi \quad (9.7)$$

$$r_{\max} = \frac{T_{\max}}{G} \quad \text{לפיה נורמלית}$$

$$T_{\max} = \frac{IR}{J_P} \quad \text{לפיה}$$

לפיה $(9.7) \approx$ נורמלית

$$d\phi = \frac{I}{J_P G} dx$$

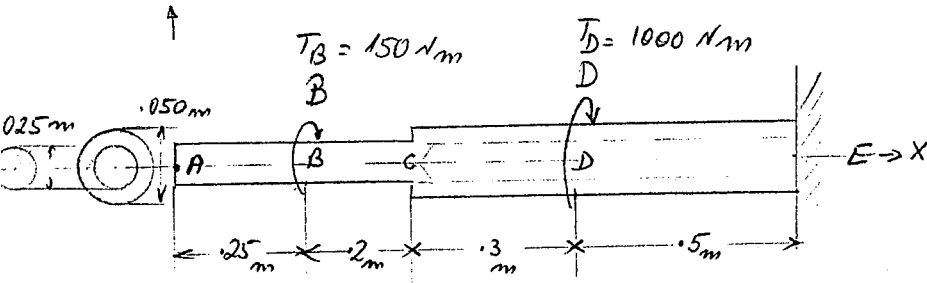
dx נורמלית מוגדרת כפונקציית גזירה נורמלית.

$$\phi = \frac{I \cdot L}{J_P G} \left(\frac{T}{J_P G}, \frac{I}{J_P} \right) \quad \phi = \int_A^B \frac{I}{J_P G} dx \quad (9.8)$$

(8.3) מתקיים $\Delta \approx 0$ בפונקציית גזירה נורמלית.

C

C



(69) 3-7 1NC19

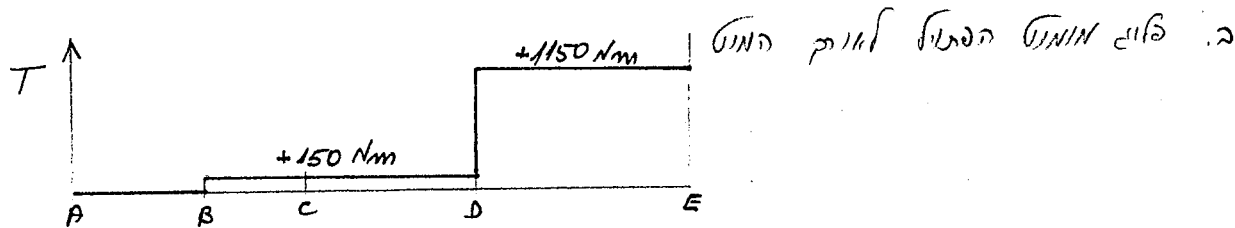
תורם באלט הינו פועל
טבון. E שיפועו נזקן
A נסובן מושך

$T_D - T_B = 850 \text{ Nm}$ נסובן מושך

(69) $G=80 \text{ GPa}$ נסובן מושך

$$I_{p1} = I_{p_{AC}} = \frac{\pi d^4}{32} = \frac{\pi (2.5 \times 10^{-2})^4}{32} = 3.83 \times 10^{-8} \text{ m}^4$$

$$I_{p2} = I_{p_{CD}} = \frac{\pi}{32} (d_o^4 - d_i^4) = 57.5 \times 10^{-8} \text{ m}^4$$



$$\phi = \int_E^A \frac{T_x dx}{I_p G} = \frac{1}{G} \left[\int_E^D \frac{T_{DE}}{I_{p2}} dx + \int_D^C \frac{T_{DC}}{I_{p2}} dx + \int_C^B \frac{T_{BC}}{I_{p1}} dx + \int_B^A \frac{T_{AB}}{I_{p1}} dx \right] =$$

$$\phi = \frac{1}{G} \left[\frac{1}{I_{p2}} (T_{DE} L_{DE} + T_{DC} L_{DC}) + \frac{T_{BC} L_{BC}}{I_{p1}} \right] =$$

$$= \frac{1}{80 \times 10^{10}} \left[\frac{1}{57.5 \times 10^{-8}} (1150 \times 0.5 + 150 \times 0.3) + \frac{150 \times 0.2}{3.83 \times 10^{-8}} \right] =$$

$$= 0.0233 \text{ rad} = 1.33^\circ$$

תורם מושך נזקן 9.8

טבון מושך מושך מושך מושך מושך מושך
(טבון) פונט אונט טבון מושך מושך מושך

C

C

1346N 5127

9.1 830

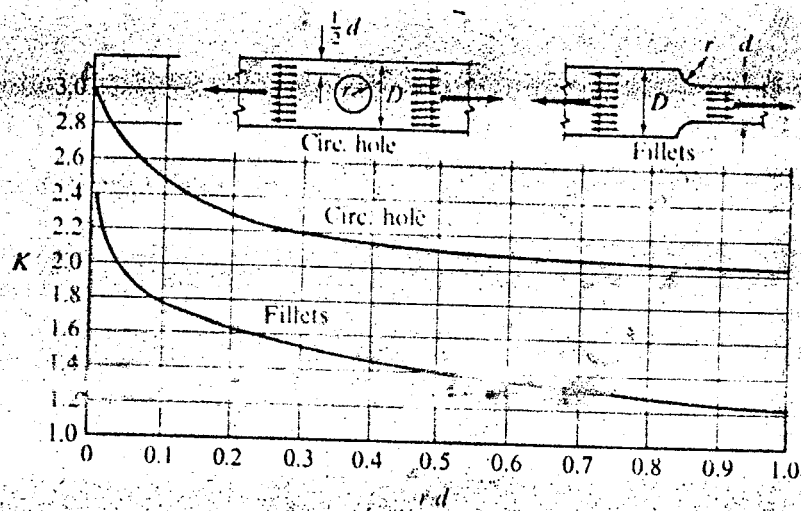


Fig. 2-17. Stress-concentration factors for flat bars in tension.

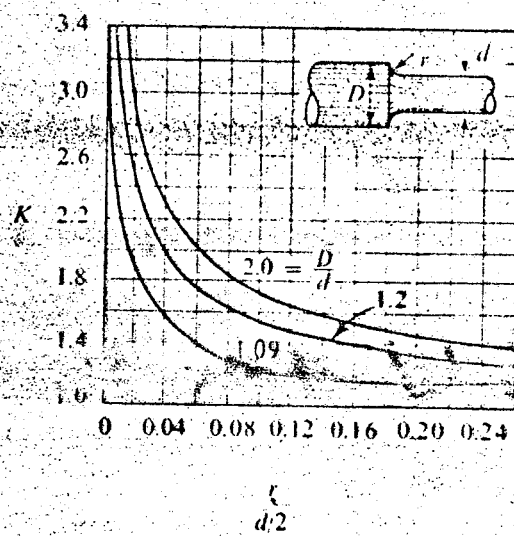


Fig. 3-16. Torsional stress-concentration factors in circular shafts of two diameters.

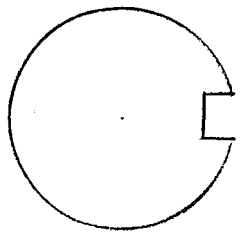


לעומת ה-ASME מושג המינימלי של הטמפרטורה בפער היא 15°C
ב-ASME מושג המינימלי של הטמפרטורה בפער הוא 20°C

$$\text{טמפרטורת חום} = 0^{\circ}\text{C} \quad t_{\max} = K \cdot \frac{T_c}{T_p} \quad (9.9)$$

הטמפרטורה המינימלית מושגת על ידי קירוב כפוי
9.1 טמפרטורת חום מושגת על ידי קירוב כפוי

טמפרטורת חום מושגת על ידי קירוב כפוי מושגת על ידי קירוב כפוי
ASME מושג המינימלי של הטמפרטורה בפער הוא 25°C
25% מ-25°C מושגת על ידי קירוב כפוי
(טמפרטורת חום מושגת על ידי קירוב כפוי)



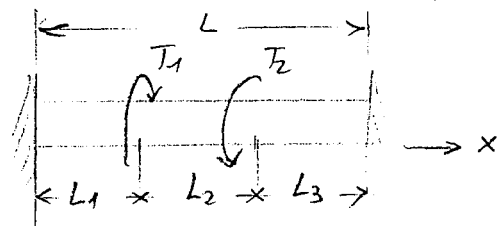
C

C

תינוק - מילוי מילוי מילוי 9.8

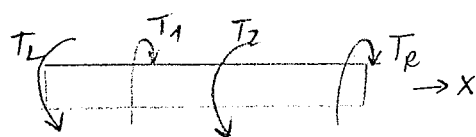
תינוק מילוי מילוי מילוי מילוי מילוי מילוי מילוי מילוי

תינוק מילוי מילוי מילוי מילוי מילוי מילוי מילוי מילוי מילוי



מילוי מילוי מילוי מילוי מילוי מילוי מילוי מילוי

מילוי מילוי מילוי מילוי מילוי מילוי מילוי מילוי



מילוי מילוי מילוי מילוי מילוי מילוי מילוי מילוי

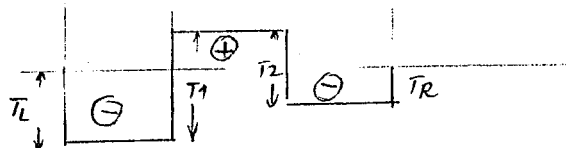
$$\sum M_{x=0} \quad T_L - T_1 + T_2 - T_R = 0 \quad (1)$$

מילוי מילוי מילוי מילוי מילוי מילוי מילוי מילוי מילוי

מילוי מילוי מילוי מילוי מילוי מילוי מילוי מילוי מילוי

מילוי מילוי מילוי מילוי מילוי מילוי מילוי מילוי

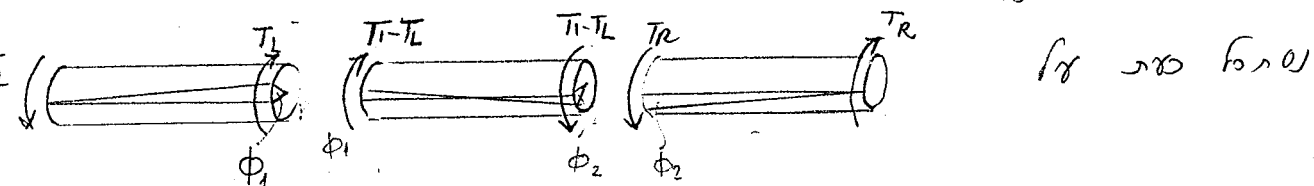
מילוי מילוי מילוי מילוי מילוי מילוי מילוי מילוי



$$T_1 = T_L$$

$$T_2 = T_1 - T_L$$

$$T = T_R$$



$$\phi_1 = \frac{T_L L_1}{G I_p} \quad (2)$$

מילוי מילוי מילוי

$$\phi_2 = \frac{T_R L_3}{G I_p} \quad (3)$$

$$\phi_1 + \phi_2 = \frac{(T_1 - T_L)L_2}{G I_p} \quad (4)$$

$$T_L L_1 + T_R L_3 = (T_1 - T_L)L_2 \quad (5)$$

(

(

: פועל (S)-1 (I) מילון פס

$$T_L = T_1 \left(\frac{L_2 + L_3}{L} \right) - T_2 \left(\frac{L_3}{L} \right)$$

$$T_R = -T_1 \left(\frac{L_1}{L} \right) + T_2 \left(\frac{L_1 + L_2}{L} \right)$$

$$(L = L_1 + L_2 + L_3)$$



: פועל (S)-1 (I) מילון פס

$$T_L \rightarrow \boxed{\quad \xleftarrow{T_1} \quad \xrightarrow{T_2} \quad} \quad \xleftarrow{T_R}$$

: פועל (S)-1 (I) מילון פס

$$T_L - T_1 + T_2 - T_R = 0$$

$$T_L \rightarrow \boxed{\text{I} \quad \xleftarrow{T_L} \quad \xleftarrow{T_1 - T_L} \quad \text{II} \quad \xrightarrow{T_2 - T_L} \quad \text{III} \quad \xleftarrow{T_R}}$$

$T_L + T_1 - T_L = T_1$ $T_2 - T_R + T_R = T_2$

$$\xrightarrow{T_L} \quad \boxed{\quad}$$

II ס I נורנור

$$\xleftarrow{T_1 - T_L}$$

III ס II - Nורנור

$$\boxed{\quad} \xleftarrow{T_R} \quad \xrightarrow{T_2}$$

$$\xrightarrow{T_2 - T_R}$$

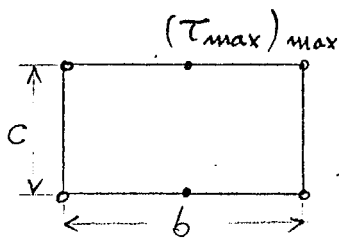
C

C

טבליות של מומנט סיבוב מקסימלי - 9.9

טבליות אלו מוצאים בזווית מומנט סיבוב מקסימלי. מומנט סיבוב מקסימלי מוגדר כהווקטור המצביע ממרכז המסה לנקודה קיצונית של הגוף. מומנט סיבוב מקסימלי מוגדר כהווקטור המצביע ממרכז המסה לנקודה קיצונית של הגוף. מומנט סיבוב מקסימלי מוגדר כהווקטור המצביע ממרכז המסה לנקודה קיצונית של הגוף. מומנט סיבוב מקסימלי מוגדר כהווקטור המצביע ממרכז המסה לנקודה קיצונית של הגוף.

במקרה של סט. Venant, מומנט סיבוב מקסימלי מוגדר כהווקטור המצביע ממרכז המסה לנקודה קיצונית של הגוף.



$$\frac{1}{\sqrt{b^2 + c^2}}$$

ב>c

במקרה של סט. Venant, מומנט סיבוב מקסימלי מוגדר כהווקטור המצביע ממרכז המסה לנקודה קיצונית של הגוף.

$$T_{max} = \frac{T}{\alpha bc^2}$$

b/c	1.00	1.50	2.00	3.00	6.00	10.00	∞
α	0.208	0.231	0.246	0.267	0.299	0.312	1/3
β	0.141	0.196	0.229	0.263	0.299	0.312	1/3

$$\phi = \frac{T \cdot L}{\beta b c^3 G}$$

b/c	1.00	1.50	2.00	3.00	6.00	10.00	∞
α	0.208	0.231	0.246	0.267	0.299	0.312	1/3
β	0.141	0.196	0.229	0.263	0.299	0.312	1/3

b/c	1.00	1.50	2.00	3.00	6.00	10.00	∞
α	0.208	0.231	0.246	0.267	0.299	0.312	1/3
β	0.141	0.196	0.229	0.263	0.299	0.312	1/3

(

(

כ. ג. ג. מ. א. ו. ו. ב. א. ל. ה. ג. ג. א. ב. ל. כ.

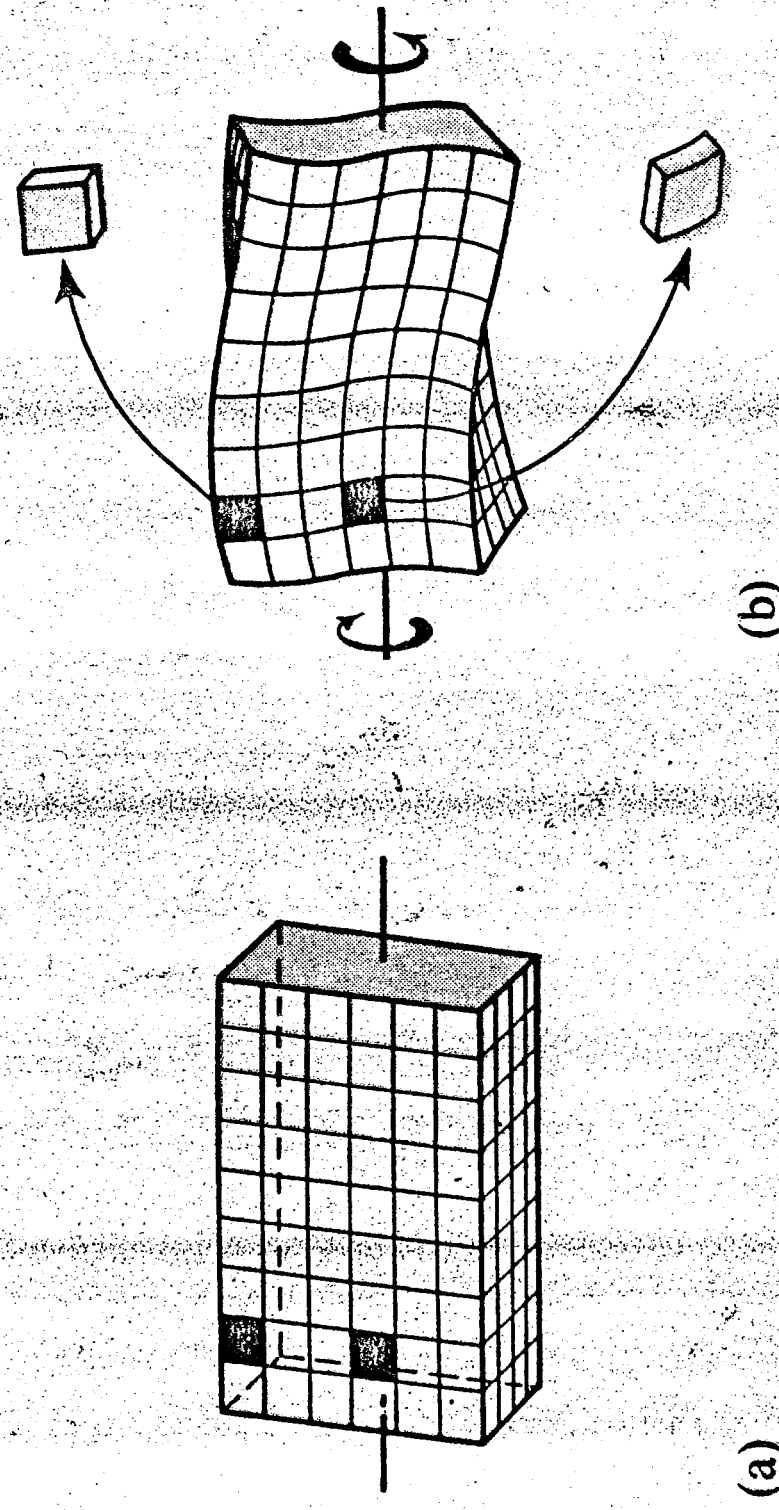


Fig. 3-17. Rectangular shaft (a) before (b) after a torque is applied.

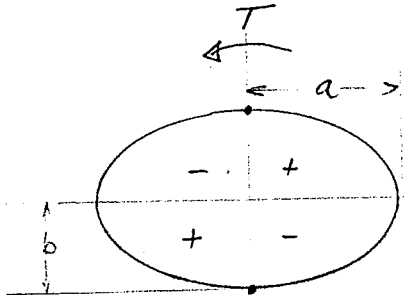
(

(

לעומת דיסק סטנדרטי יש לנו דיסק בעל צורה אובייקטיבית.

0- דיסק אובייקטיבי מלבני ופיזי. דיסק סטנדרטי הוא דיסק אובייקטיבי מלבני ופיזי.

לעומת דיסק סטנדרטי דיסק אובייקטיבי מלבני ופיזי הוא דיסק אובייקטיבי מלבני ופיזי.



סוללה פוטו

$$T_{\max} = \frac{2T}{\pi ab^2}$$

$$(\text{for } a=b=R \Rightarrow \frac{\tau L}{I_p})$$

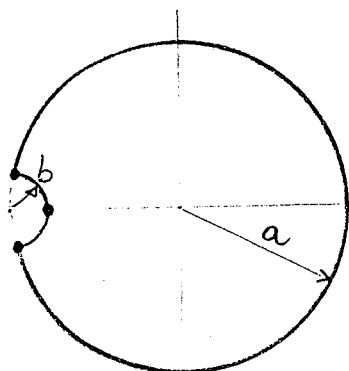
$$\Phi = \tau L \cdot \frac{a^2 + b^2}{\pi a^3 b^3 G} \left(\frac{\tau L}{G I_p} \right)$$

הנושאים ה(\rightarrow) יסבירו

סוללה פוטו של סוללה פוטו

$$T_{\max} = \frac{I}{I_p} (2a - b)$$

$$\text{for } b \ll 2a \quad T_{\max} \approx 2(T_{\max})$$



C

O

תבונת מומנט מסה 9.10

נניח כי המומנט המומנט של הגוף שפועלת עליו כוחות ניוטון נורמיים גודלו שווה ל- F_1 . מומנט המומנט של הגוף שפועלת עליו כוחות ניוטון נורמיים גודלו שווה ל- F_2 .

בזווית θ מוקם המומנט F_1 ביחס למרכז המומנט F_2 . מומנט המומנט של הגוף שפועלת עליו כוחות ניוטון נורמיים גודלו שווה ל- F_3 . מומנט המומנט של הגוף שפועלת עליו כוחות ניוטון נורמיים גודלו שווה ל- F_4 .

$$F_1 = F_3$$

(1)

$$F_1 = \tau_2 \cdot t_2 \, dx$$

(2)

$$F_3 = \tau_1 \cdot t_1 \, dx$$

נמצא t_1

$$\tau_1 \cdot t_1 = \tau_2 \cdot t_2 = q \quad (3)$$

נניח כי המומנטים של כל אחד מהכוחות שפועלים על הגוף שווה q .

נמצא המומנט המומנט של הגוף שפועלת עליו כוחות ניוטון נורמיים גודלו שווה ל- q .

$$\tau_2 = \tau_3 \quad (4)$$

$$\tau_1 = \tau_4$$

(4)-1 (3) \Rightarrow $t_1 = t_2$

$$t_1 \cdot t_4 = t_2 \cdot t_3 = q \quad (5)$$

נניח כי המומנט המומנט של הגוף שפועלת עליו כוחות ניוטון נורמיים גודלו שווה ל- q .

(

(

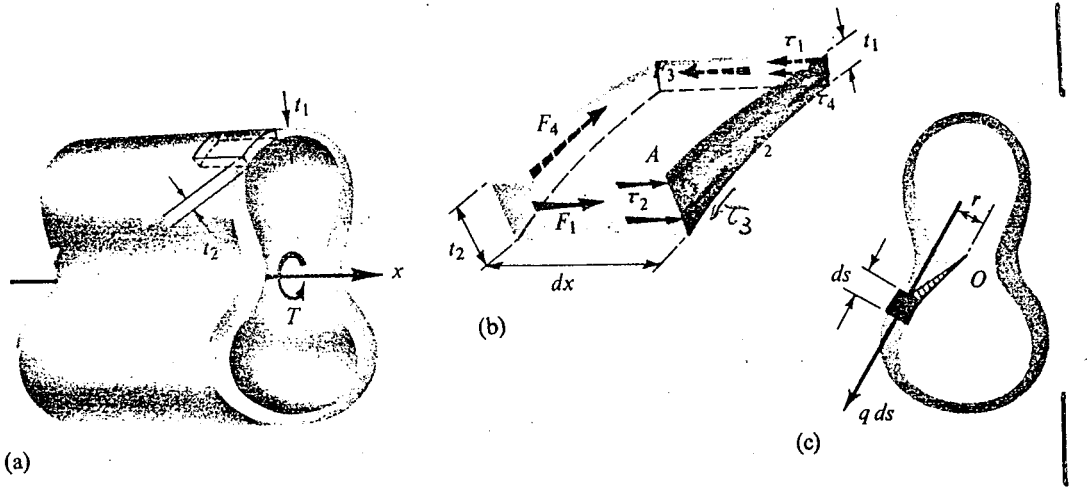


Fig. 3-22. Thin-walled member of variable thickness.

(

(

שאלה נוספת בקשר לזרם שיטתי
בז'רמן גורר זרימת שיטתית מינימלית
בז'רמן גורר זרימת שיטתית מינימלית
Shear flow - מינימלית

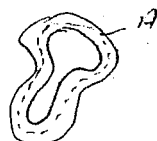
בז'רמן גורר זרימת שיטתית מינימלית
בז'רמן גורר זרימת שיטתית מינימלית
 $d\tau = \nu q ds$

$$\tau = \int \nu q ds$$

בז'רמן גורר זרימת שיטתית מינימלית
בז'רמן גורר זרימת שיטתית מינימלית

$$\tau = q \phi r ds$$

בז'רמן גורר זרימת שיטתית מינימלית
בז'רמן גורר זרימת שיטתית מינימלית

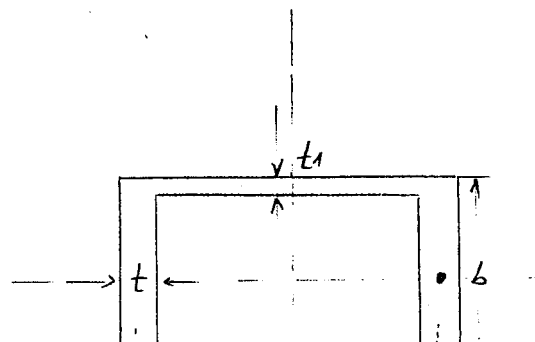


$$\tau = 2Aq$$

$$q = \frac{\tau}{2A}$$

$\tau_{\max}, \tau_{\min} = q$ $\tau_{\max} \approx \text{הירות המינימלית}$ $\tau_{\min} \approx \text{הירות המינימלית}$

$$\tau_{\max} = \frac{\tau}{2A t_{\min}}$$



בז'רמן גורר זרימת שיטתית מינימלית
בז'רמן גורר זרימת שיטתית מינימלית

C

C

$$\bullet \bar{T} = \frac{T}{2(a-t)(b-t_1) \cdot t} \quad t \text{ נייר}$$

$$\bullet \bar{T}_1 = \frac{T}{2(a-t)(b-t_1)t_1} \quad t_1 \text{ נייר}$$

ולא קל, מוגן מושג שמיינטן מילוי נייר ומיינטן נייר מילוי
היא מילוי נייר מילוי נייר

ונגן עטוף בפערת גומי מילוי נייר מילוי נייר
... גומי מילוי נייר נייר



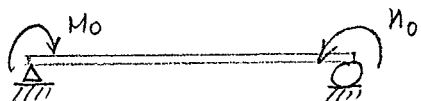
כט 11

כט 12

כט 13

11.1

נניח שטח הנקה הוא A .
 נסמן m_0 כמשקל הגוף בנקודה h מהתו.
 נסמן m_1 כמשקל הגוף בנקודה $h + \Delta h$ מהתו.
 נסמן m_2 כמשקל הגוף בנקודה $h - \Delta h$ מהתו.
 נסמן m_3 כמשקל הגוף בנקודה $h + 2\Delta h$ מהתו.
 נסמן m_4 כמשקל הגוף בנקודה $h - 2\Delta h$ מהתו.
 נסמן m_5 כמשקל הגוף בנקודה $h + 3\Delta h$ מהתו.
 נסמן m_6 כמשקל הגוף בנקודה $h - 3\Delta h$ מהתו.

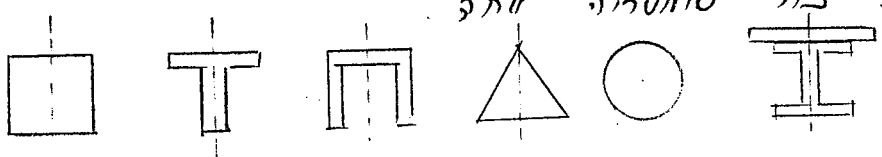


מונחים

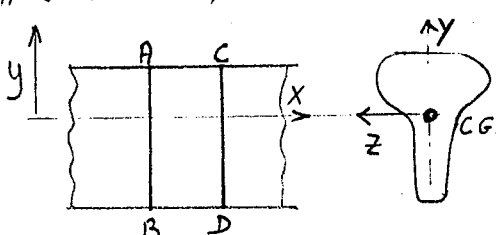
הנחתה היא תנועה של הגוף ביחס למרכז כובודו. מרכז כובודו נסמן M .
 הנחתה מוגדרת כתנועה של הגוף ביחס למרכז כובודו.

11.2 מונחים

רפלקסים גורמיים ובלתי גורמיים (בניניגים נספחים).



1. גוף תזיר זרמיים ובלתי גורמיים (בניניגים נספחים).
 2. גוף תזיר זרמיים עם אחד מרכז כובודו
 3. גוף תזיר זרמיים מרכז כובודו מרכז כובודו.



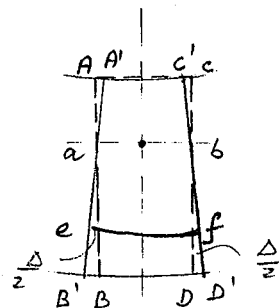
4. גוף תזיר זרמיים עם אחד מרכז כובודו
 5. גוף תזיר זרמיים עם אחד מרכז כובודו.



המקרה הראשון מתקיים כאשר $\sigma_{max} = \sigma_{min}$
 כלומר כיוון הפעור במקביל לכיוון הפעור
 ו- σ_{max} הוא כפולה של σ_{min} .



(a)



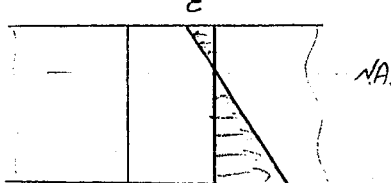
(b)

במקרה הראשון מתקיים $\sigma_{max} = \sigma_{min}$ ו- $\tau_{max} = 0$.
 נניח שפעור במקביל לכיוון הפעור. נסמן σ_{max} כערך הפעור ב-

נקודות $a-b$ ו- $c-d$ והעומק z בנקודות $e-f$ ו- $f-g$. גודל הפעור קווינטנט σ_{max} הוא שווה
 ל- σ_{max} בנקודות $a-b$ ו- $c-d$, והוא שווה לאפס בנקודות $e-f$ ו- $f-g$.
 תחילה נסמן σ_{max} כערך הפעור ב-

נקודות $a-b$ ו- $c-d$. נסמן σ_{min} כערך הפעור בנקודות $e-f$ ו- $f-g$.
 נסמן τ_{max} כערך הפעור בנקודות $e-f$ ו- $f-g$.
 נסמן σ_{max} כערך הפעור בנקודות $a-b$ ו- $c-d$.
 נסמן σ_{min} כערך הפעור בנקודות $e-f$ ו- $f-g$.
 נסמן τ_{max} כערך הפעור בנקודות $e-f$ ו- $f-g$.

במקרה השני מתקיים $\sigma_{max} > \sigma_{min}$ ו- $\tau_{max} > 0$.



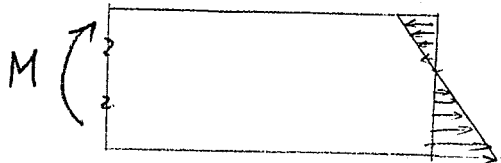
במקרה השלישי מתקיים $\sigma_{max} > \sigma_{min}$ ו- $\tau_{max} < 0$.

C

C

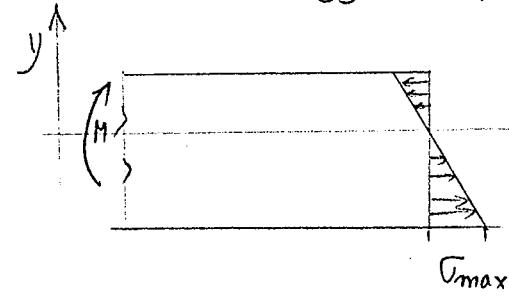
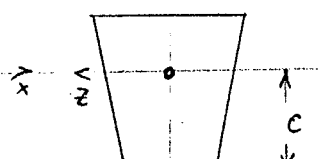
הנעה הלאורטילינית מתקיימת רק אם כוחות המושפעים ממרכזם נסוגים מרכז מסה.

הנעה הלאורטילינית מתקיימת רק אם כוחות המושפעים ממרכזם נסוגים מרכז מסה.



force distribution case 11.4

במקרה הראשון מושפע ממרכזם כוח אחד והוא כוח המשיכה.



במקרה השני מושפע ממרכזם כוח אחד והוא כוח המשיכה.

$$\sigma = -\sigma_{max} \frac{y}{c}$$

כבר ראיתם ש-000 מושפע ממרכזם כוח אחד.

$$\sum F_x = 0$$

$$\int_A (-\frac{y}{c} \sigma_{max}) dA = 0$$



$$\frac{\sigma_{\max}}{c} \int_A y \, dA = 0$$

11.2.11

$$\int_A y \, dA = \bar{y} \cdot A = 0$$

f&gt;

$\bar{y}=0$ כ פונקציית גובה נסיבתית נזק בפער נמוך. גורם לכך שפער נמוך מפער גבוה מפער נמוך. סימטריה של הרכבת מושגת.

הנימוק מושג על ידי:

$$\sum M = M_{\text{sum}}$$

$$\int_A \underbrace{\left(-\frac{y \sigma_{\max}}{c} \right) \cdot dA}_{\substack{\text{כפער} \\ \text{הנימוק} \\ \text{בפער}}} \cdot y = - \frac{\sigma_{\max}}{c} \int_A y^2 \, dA$$

σ_{\min}

O

הנימוק מושג באמצעות סכום מומנטות מסביב למרכז כפער נמוך. סכום מומנטות מסביב למרכז כפער נמוך שווה לאפס.

$$I = \int_A y^2 \, dA \quad (11.1)$$

$$M = - \frac{\sigma_{\max} I}{c} \quad (11.1)$$

O

$$\sigma = - \frac{My}{I}$$

! מושג כפער נמוך
! מושג כפער גבוה
! מושג כפער נמוך
! מושג כפער גבוה

$$\sigma_{\max} = - \frac{Mc}{I} \quad (11.1a)$$

II

הנימוק (11.1a) מושג על ידי חישוב מומנט ההתמד של כפער נמוך.

(11.1b) מושג על ידי חישוב מומנט ההתמד של כפער נמוך.

הנימוק מושג על ידי חישוב מומנט ההתמד של כפער נמוך.

הנימוק מושג על ידי חישוב מומנט ההתמד של כפער נמוך.

$$\sigma = - \frac{My}{I}$$

(

(

מבחן מומנט מסה בישולו של מושב צדדי M-5

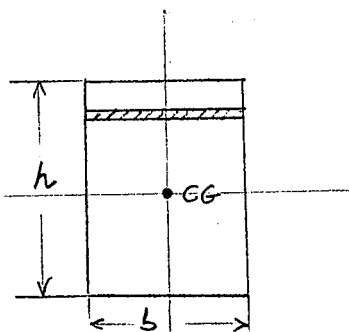
הנורמה הדרישה למסה מושב צדדי היא $I_{zz} \geq 1000 \text{ cm}^4$.
 על מנת לcompute את המומנט המס, נשתמש במשוואת:
 $I_{zz} = \int_A y^2 dA$
 ונקשר בין המומנט המס לבין המומנט מסי של מושב צדדי.
 $I_{zz} = I_{xx} + b^2 I_{yy}$

$$\bar{y} = \frac{\int y dA}{\int dA}$$

למושב צדדי מושב צדדי מושב צדדי

$$I_{zz} = \int_A y^2 dA$$

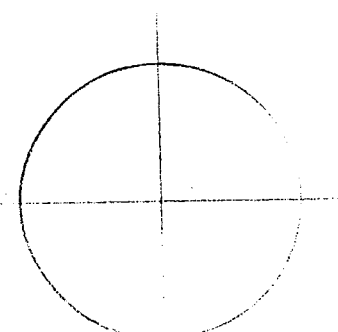
C.G. נקבע ב- $y = 0$



$$I_{zz} = \int_A y^2 dA = \int_{-h/2}^{h/2} \int_{-b/2}^{b/2} y^2 dA$$

$$dA = b dy$$

$$I_{zz} = \int_{-h/2}^{h/2} b y^2 dy = b \int_{-h/2}^{h/2} y^2 dy = \frac{bh^3}{12}$$



למונטג

$$I_{zz} = \iint y^2 dA$$

$$y = r \sin \theta \quad dA = r dr d\theta$$

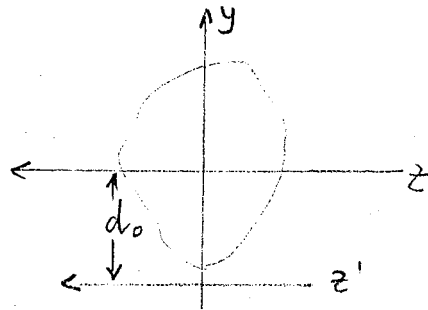
$$I_{zz} = \int_0^{2\pi} \int_0^R r^2 \sin^2 \theta \cdot r dr d\theta = \int_0^{2\pi} \int_0^R (r^3 dr) \sin^2 \theta d\theta =$$

(

(

$$I_{zz} = \int_0^R r^3 dr \cdot \left[\frac{\theta}{2} - \frac{\sin 2\theta}{4} \right]^{2\pi}_0 = \pi \int_0^R r^3 dr = \frac{\pi R^4}{4} = \frac{\pi D^4}{64}$$

ונז' I_{zz} על האxis של ציר z מוגדר כה שווי שטח המרחב בין ציר z וציר y בפונקציית $f(y)$.



: סימולטור

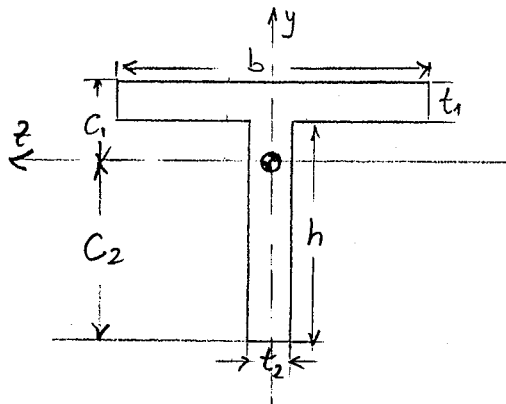
$$I'_z = \int (y + d_o)^2 dA =$$

$$\int y^2 dA + \int d_o^2 dA + 2d_o \int y dA =$$

$$I'_z = Ad_o^2 + I_z$$

שאנו מושג כטביעה של שטח שטח d_o בפונקציית y ופונקציית y בפונקציית d_o + שטח שטח d_o בפונקציית y בפונקציית d_o

שאנו מושג כטביעה של שטח שטח d_o בפונקציית y ופונקציית y בפונקציית d_o



לכונען

I_{zz} נבנה כפונקציית t_1

T פון t_1

שאנו מושג כפונקציית לכונען

$$\bar{y}(bt_1 + ht_2) = ht_2 \cdot \frac{h}{2} + bt_1(h + \frac{t_1}{2})$$

$$\bar{y} = \frac{h^2 t_2 + bt_1(2h + t_1)}{2(bt_1 + ht^2)} = C_2$$

I_{zz} פונקציית t_1 מושג כפונקציית לכונען

$$\frac{bt_1^3}{12} + bt_1 \left(C_1 - \frac{t_1}{2} \right)^2$$

C

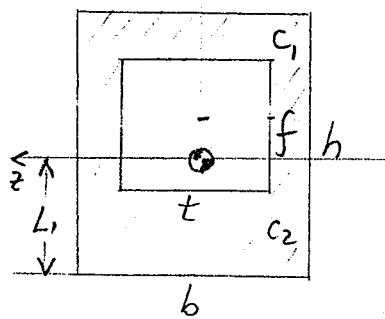
C

$$\frac{t_2 h^3}{12} + t_2 h \left(c_2 - \frac{h}{2}\right)^2$$

העומק מינימלי ביחס למרכז

$$I_{zz} = \frac{1}{12} \left[b t_1^3 + t_2 h^3 \right] + b t_1 \left(c_1 - \frac{t_1}{2}\right)^2 + t_2 h \left(c_2 - \frac{h}{2}\right)^2$$

בנוסף להלן ניתן לראות שיחס המינימלי בין גובה ורוחב הוא:



לעומת

$$\bar{y} = \frac{bh \cdot h}{2} - tf \left(c_2 + \frac{f}{2}\right)$$

בנוסף להלן ניתן לראות שיחס I_{zz} מינימלי מושג ביחס:

$$I_{zz}^{(1)} = \frac{bh^3}{12} + bh \cdot \left(\frac{h}{2} - L_1\right)^2$$

בנוסף להלן ניתן לראות שיחס I_{zz} מינימלי מושג ביחס:

$$I_{zz}^{(2)} = \frac{tf^3}{12} + t \cdot f \cdot \left(h - c_1 - \frac{f}{2} - L_1\right)^2$$

$$I_{zz} = I_{zz}^{(1)} \ominus I_{zz}^{(2)}$$

ולפיכך

היחס המינימלי ביחס למרכז 11.6

היחס המינימלי ביחס למרכז מושג ביחס:

$$\sigma_{max} = \frac{M_e}{I}$$

בנוסף להלן ניתן לראות שיחס המינימלי ביחס למרכז מושג ביחס:

$$S = \frac{I}{C}$$

D

C

$$\sigma_{max} = \frac{M}{S}$$

15/11

הנתק בטולבון 13N/S מתקיים מושג שכבתי

ונען מינימום סיבוב כפוף גובה NO מתקיים

16/11

לכ. 16/11/13

הנתק נזקם מתקיים מושג שכבתי כפוף גובה

13N/S מתקיים מושג שכבתי כפוף גובה (במקרה של מושג שכבתי)

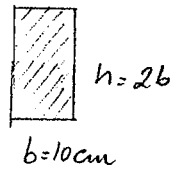
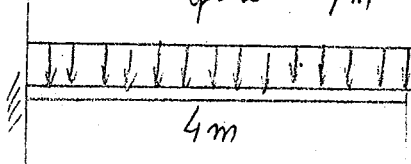
ונען מינימום סיבוב כפוף גובה - מושג שכבתי כפוף גובה מתקיים מושג שכבתי כפוף גובה

ולפיכך מושג שכבתי מתקיים מושג שכבתי כפוף גובה - מושג שכבתי כפוף גובה

17/11/14

טולבון מתקיים מושג שכבתי כפוף גובה

$$q = 2 \times 10^4 \text{ N/m}$$



$$\sigma_{allowable} = 1.2 \times 10^8 \text{ Pa}$$

23/11 .1.

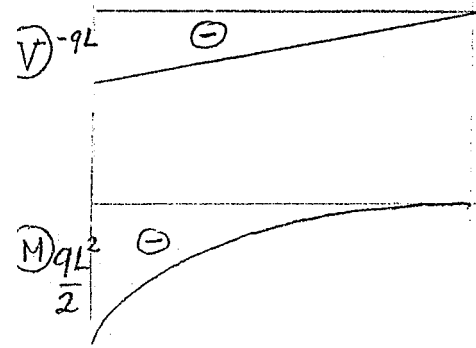
$$M_{max} = \frac{qL^2}{2} = \frac{2 \times 10^4 \times 16}{2} = 16 \times 10^4 \text{ Nm}$$

$$I = \frac{b b^3}{12} \quad C = \frac{b}{2} \quad S' = \frac{b b^2}{6} = 6.67 \times 10^{-4} \text{ m}^3$$

$$\sigma_{max} = \frac{M}{S} = \frac{16 \times 10^4}{6.67 \times 10^{-4}} = 2.4 \times 10^8 \frac{\text{N}}{\text{m}^2}$$

$$\sigma_{max} > \sigma_{allowable}$$

הקלות מושג שכבתי



C

C

$$M_{max} = \frac{qL^2}{2} \quad M_{max} = \sigma_a \cdot S \quad \underline{\text{נפח ס}}$$

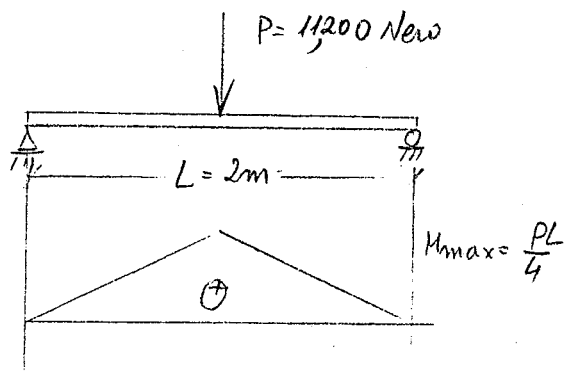
$$\frac{qL^2}{2} = \sigma_a S \quad q_a = \frac{2\sigma_a S}{L^2} = \frac{10 \times 10^4}{L^2} N/m$$

$$\frac{q_a}{q} = \frac{\sigma_a}{\sigma} = \frac{1200}{2400} = \frac{1}{2} \quad \text{נפח ס}$$

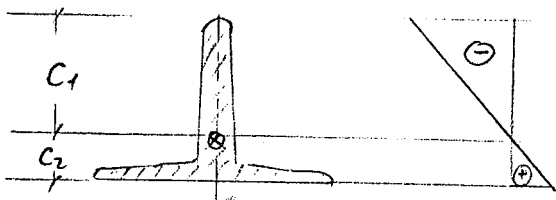
הנפח ס הינה כפולה ב- 1.5%

$$S_a = \frac{M_{max}}{\sigma_a} = \frac{b(2b)^2}{6}$$

$$b = \left[\frac{3}{2} \cdot \frac{M_{max}}{\sigma_a} \right]^{1/3} = \left[\frac{3}{2} \times \frac{16 \times 10^4}{1.2 \times 10^8} \right]^{1/3} = 12.6 \text{ cm}$$



הנפח ס הינה כפולה ב- 1.5%
הנפח ס הינה כפולה ב- 1.5% $\perp 12$ ס



$$\perp 12 \quad I_{zz} = 366 \text{ cm}^4$$

$$C_1 = 8.72 \text{ cm}$$

$$C_2 = 3.28 \text{ cm}$$

$$M_{max} = \frac{PL}{4} = 5.6 \times 10^3 \text{ Nm}$$

$$(\sigma_{max})_c = \frac{M_{max} C_1}{I} = 1.333 \times 10^8 \text{ N/m}^2$$

$$(\sigma_{max})_T = \frac{M_{max} C_2}{I} = 5.02 \times 10^7 \text{ N/m}^2$$

$$\sigma_a \approx 12 \text{ MN/m}^2 \quad \frac{\sigma_c}{\sigma_a} = \frac{C_1}{C_2}$$

(

(

ההנאה נסחף?
הנאה נסחף?

ל/2 מינימום כפוף לאטם

$$(Ma)_c = \frac{\sigma_{ac} I_{zz}}{C_1} = \frac{1.8 \times 10^8 \times 366 \times 10^{-8}}{8.72 \times 10^{-2}} = 7,555 \text{ Nm}$$

$$\Rightarrow \text{מינימום כפוף לאטם}$$

$$Ma_c = \frac{\sigma_{ac} I_{zz}}{C_2} = 20,085 \text{ Nm}$$

$$(Ma)_T = \frac{\sigma_{at} I_{zz}}{C_2} = \frac{10^8 \times 366 \times 10^{-8}}{3.28 \times 10^{-2}} = 11,159 \text{ Nm}$$

$$Ma_c = \frac{\sigma_{at} I_{zz}}{C_1} = 4,197 \text{ Nm}$$

הנאה נסחף מינימום כפוף לאטם $(Ma)_c$ ו- $(Ma)_T$

$$(Ma)_c = \frac{P_a L}{4} \quad P_a = \frac{4 \times 7555}{2} = 15,110 \text{ Newt.}$$

$$P_a = 8395 \text{ Newt.}$$

Till perpendicular 11.35 > 35. $P=20,000 \text{ Newt.}$ סביר כי לא צפוי.

הנאה נסחף מינימום כפוף לאטם $\sigma_{at} < \sigma_{ac}$

$(\sigma_{at})_T < (\sigma_{ac})_c$ מינימום כפוף לאטם $\sigma_{at} < \sigma_{ac}$

$$\text{וילג} \quad S_a = \frac{M}{(\sigma_{ac})_c} = \frac{PL}{4(\sigma_{ac})_c} = \frac{2 \times 10^4 \cdot 2}{4 \times 1.8 \times 10^8} = 0.5555 \times 10^{-4} \text{ m}^3 = 55.55 \text{ cm}^3$$

$$I_{zz} = 660 \text{ cm}^2 \quad S = \frac{660}{10.2} = 64.7 > 55.5 \text{ cm}^3$$

ולכן לא מינימום 11.7

בהתאם ל-CC1 הינה מינימום כפוף לאטם σ_{ac} מינימום כפוף לאטם σ_{at}

הנאה נסחף מינימום כפוף לאטם σ_{ac} מינימום כפוף לאטם σ_{at} מינימום כפוף לאטם σ_{at}

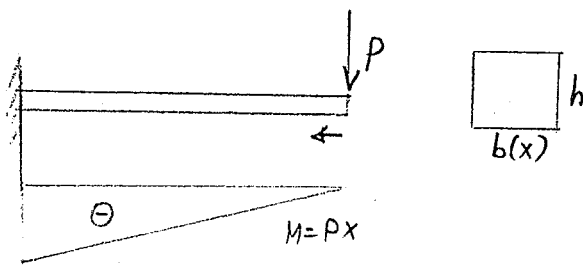
(

(

נתקנו שגדירו כ"ע" את גובה הצלע בזווית θ ופונקציית היחס בין גובה הצלע לרוחב הצלע כפונקציית גובה $s(x)$. מילויים $s(0) = 0$, $s(L) = \tan \theta$ ו $s'(x) > 0$.

$$\sigma_{max}(x) = \frac{M(x)}{S'(x)}$$

הנתקן אם שטח σ_{max} מינימלי אז $S'(x) = 0$ ו σ_a מינימלי.



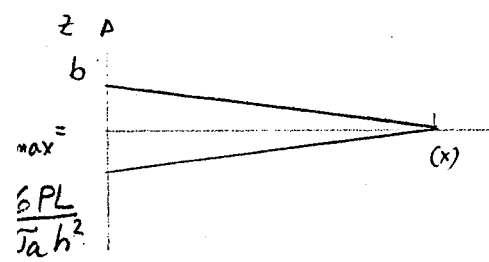
הנתקן שטח מינימלי
הנתקן שטח מינימלי
הנתקן שטח מינימלי

הנתקן שטח מינימלי σ_{max} כפונקציית גובה

$$M = P \cdot x$$

$$I = \frac{b(x) h^3}{12}$$

$$\sigma_{max} = \frac{(Px) \cdot h/2}{b(x) h^3} = \sigma_a$$



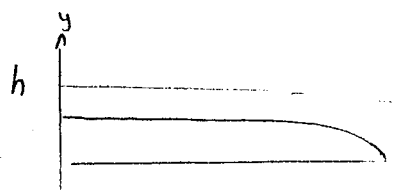
$$\frac{6P \cdot x}{b(x) h^2} = \sigma_a \quad b(x) = \frac{6P}{\sigma_a \cdot h^2} \cdot x = b_0 \cdot x$$

$$b_0 = \frac{6P}{\sigma_a h^2}$$

הנתקן שטח מינימלי σ_{max} כפונקציית גובה

$$\frac{6P \cdot x}{b \cdot h^2(x)} = \sigma_a \quad h(x) = \sqrt{\frac{6P}{b \sigma_a}} \cdot \sqrt{x} = h_0 \sqrt{\frac{x}{L}}$$

כדי שטח מינימלי σ_{max} כפונקציית גובה



$$\sqrt{6PL}$$

(

(

הנחתה מינימלית של מטען כפולה במקומם נזקיף עליה מטען אחד בלבד

$$b = \frac{6PL}{\sigma_a h^2} \quad h = h_0$$

$$V_1 = \frac{6PL}{\sigma_a h^2} \cdot h \cdot L = \frac{6PL^2}{\sigma_a h} \quad 1. \text{ (במוניטין)} \quad \text{המוניטין}$$

$$V = \frac{1}{2} \frac{6PL}{\sigma_a h^2} \cdot h \cdot L = \frac{3PL^2}{\sigma_a h} \quad 2. \text{ (במוניטין)} \quad \text{המוניטין}$$

$$V = \int_0^L b \cdot h(x) dx = b \sqrt{\frac{6P}{\sigma_a}} \int_0^L x dx = \sqrt{\frac{6Pb}{\sigma_a}} \left[\frac{x^2}{2} \right]_0^L = \frac{2}{3} \sqrt{\frac{6Pb}{\sigma_a}} L^{3/2} \quad 3. \text{ (במוניטין)}$$

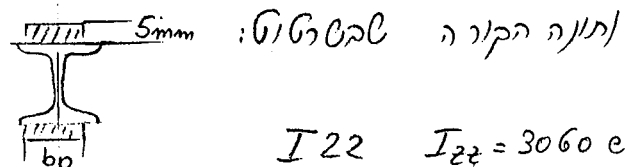
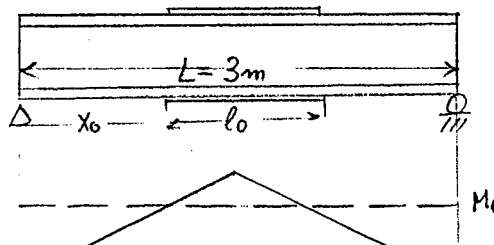
$$b = \frac{6PL}{\sigma_a h^2} \quad : \text{כון}$$

$$V = \frac{2}{3} \sqrt{\frac{6P}{\sigma_a} \cdot \frac{6PL}{\sigma_a h^2} \cdot L^3} = \frac{2}{3} \cdot \frac{6PL^2}{\sigma_a h} = \frac{4PL^2}{\sigma_a h} \quad v$$

111 סען 50% \Rightarrow 1500 ניוטון מטען כפולה מוניטין

דרכו מושג

לפניכם פתרון מטען כפולה מוניטין במקומם נזקיף עליה מטען אחד בלבד. מטען אחד נזקיף במקומו נזקיף עליה מטען שני. מטען שני נזקיף עליה מטען אחד. מטען אחד נזקיף עליה מטען שני. מטען שני נזקיף עליה מטען אחד.



$$I_{22} = 3060 \text{ cm}^4$$

$$\sigma_a = 10^8 \text{ N/m}^2$$

(

(

המקרה הוא בדרכו נזקף גוף אחד עם גובה 5mm וגובה הנקודות המבוקשין מוקטן ב-10% מגובהם המקורי. על מנת שכך יתאפשר ישנו מינימום גובה של 5mm.

$$M_{max} = \frac{PL}{4} = \frac{5 \times 10^4 \cdot 3}{4} = 3.75 \times 10^4 \text{ Nm}$$

הproblem שונף גורם אחד יסוד

$$S_a = \frac{M_{max}}{\sigma_a} = \frac{3.75 \times 10^4}{10^8} = 3.75 \times 10^{-4} \text{ m}^3 = 375 \text{ cm}^3 \Rightarrow I_{26}$$

37.9 kg/m \rightarrow I26 סטן

בנוסף למסגרת שולחן

המקרה קיינש כי אין לנו מידע לגבי מהו גובה המרימה ביחס לסטן

$$I_{21} = I_{20} + 2A\eta^2$$

$$\eta = \frac{h}{2} + \frac{0.5}{2} \text{ cm} = 11.25 \text{ cm}.$$

$$A = 0.5 \times b_0$$

$$\sigma_{max} = \frac{M_{max} (\frac{h}{2} + 0.05)}{I_{21}} = \sigma_a$$

$$I_{21} = \frac{M_{max} (\frac{h}{2} + 0.05)}{\sigma_a} = \frac{3.75 \times 10^4 \text{ Nm} \times 0.115 \text{ m}}{10^8 \text{ N/m}^2} = \\ = 0.431 \times 10^{-4} \text{ m}^4 = 4310 \text{ cm}^4$$

$$4310 = 3060 + 2 \times 0.5 \cdot b_0 \cdot 11.25^2$$

$$b_0 = 9.896 \approx 9.9 \text{ cm}.$$

במקרה הזה מינימום גובה הוא 5mm. על מנת שכך יתאפשר ישנו מינימום גובה של 5mm.

$$M_0 = \sigma_a \frac{I_{20}}{c} = 2.78 \times 10^4 \text{ Nm}$$

(

(

$$M_0 = \frac{Px_0}{2} = 2.78 \times 10^4 \text{ Nm}$$

$$x_0 = \frac{2 \times 2.78 \times 10^4}{5 \times 10^4} = 1.11 \text{ m}$$

$$l_0 = L - 2x_0 = 77.6 \text{ cm}$$

הנורמלית כפנית כוחות

$$G_1 = 31.3 \times 3 + 77.6 \times 9.9 \times 0.5 \times 7.8 \times 10^{-3} = 99.5 \text{ Kg}$$

E26 $G_2 = 37.9 \times 3 = 113.7$

$$\frac{G_1}{G_2} = 87\%$$

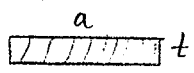
לפונקציית הכוח מתקיים $F(x) = 13\% \cdot G_2$

העתקה של $F(x)$ ב-13% מ- G_2

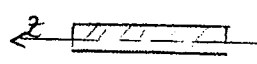
אנו מודדים את הכוחות שפעמים על הגוף ביחס ל-
הכוחות שפעמים על הגוף (ב) ביחס ל-

S/A le

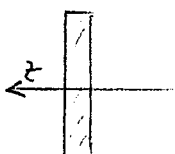
lc lclp



act yafn pnu frv frv jn
fntibol jntn ip vnvlo zv



$$S_{21} = \frac{at^2}{6}$$



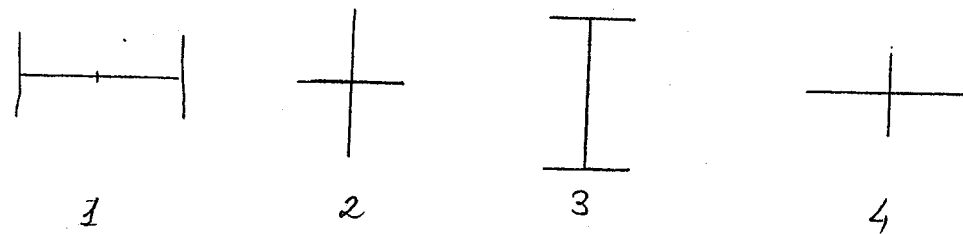
$$S_{22} = \frac{ta^2}{6}$$

(

)

סימולציית פלטגון מושג ופיזיון גלובלי ב-3/01

ר' לנדיס



$S_{max} \approx 1.6\pi d$ ב- 135° מינימום סילוני מושג כ-5%

2 פלטגון מושג מ-3 פלטגון

I_{zz} סולר מ-1 סילוני מושג כ-4-1 מושג

I_{yy} מושג מ-4 פלטגון מ-1 פלטגון מושג

ב- ∞ מושג מ-1 פלטגון מושג כ-5%

ב- $d=0$ מושג מ-1 פלטגון מושג כ-2.3 מושג

$$I_{zz} \approx 2 \cdot \frac{A}{2} d^2 = Ad^2$$

$$S = \frac{I_{zz}}{d} = Ad$$

ב- $d \rightarrow \infty$ מושג מ-1 פלטגון מושג כ-5%

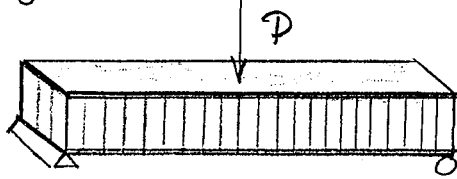
לעתים דמיון מושג מ-1 פלטגון מושג כ-5%

(

(

Sandwich - מזון כביש 11.9

פונקציית הפעלתה של מזון כביש



מטען כפוף למשקל הגוף

מטען קבוע נורמי אטום:

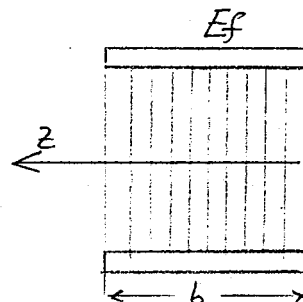
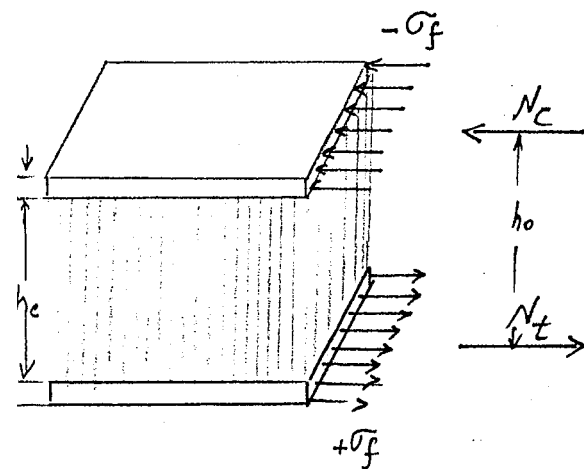
מטען קבוע גלי

בנין מזון כביש מושג על ידי:

גמישות (מיצוקה) וטבילה (טבילה)

טבילה מזון כביש מושג על ידי קומפקטיות (קומפקטיות) וטבילה (טבילה)

טבילה מזון כביש מושג על ידי:



טבילה מזון כביש

$$t \ll h_c \Rightarrow h_c \approx h \approx h_0$$

$$\sigma_c \ll \sigma_f \Rightarrow \sigma_c \approx 0$$

$$E_c \ll E_f$$

$$M_z = N_c h_0 = N_t h_0$$

$$N_c = N_t = \sigma_f \cdot t \cdot b = \frac{M_z}{h_0} \Rightarrow \sigma_f = \frac{M_z}{t b \cdot h}$$

טבילה מזון כביש

טבילה מזון כביש מושג על ידי:

(M_z מושג עימנו)

$$t b = \frac{M_z}{\sigma_f \cdot h}$$

$$A_s = \pi r^2 = 2M_z$$

טבילה מזון כביש

O

O

$$\sigma_a = \frac{6M_a}{bh^2} \Rightarrow A_s = \frac{6M_a}{\sigma_a h} \quad \text{סימן גן גור}$$

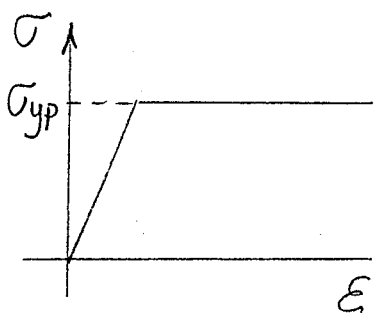
$$\eta_s = \left(\frac{M_a}{A_s} \right) = \sigma_a \frac{h}{2} \quad \eta_e = \left(\frac{M_a}{A_R} \right) = \sigma_a \frac{h}{6} \quad \frac{\eta_s}{\eta_e} = 3$$

מבחן של מנגנון-טולב סעיף 11.10

המבחן מוכיח שטולב מומלץ על מנת לא לפגוע ביציבות המבנה

ולא לפגוע ביציבות המבנה מוקדם מכך.

ולא לפגוע ביציבות המבנה מוקדם מכך.



מבחן של מנגנון-טולב
המבחן מומלץ על מנת לא לפגוע ביציבות המבנה מוקדם מכך
ולא לפגוע ביציבות המבנה מוקדם מכך
ולא לפגוע ביציבות המבנה מוקדם מכך

לעת קtica מושג שפה עליונה:

'טולב מומלץ מנגנון-טולב'

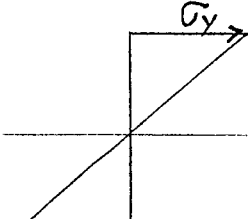
במבחן מומלץ מנגנון-טולב מושג שפה עליונה
ולא מושג שפה עליונה מוקדם מכך.

ולא מושג שפה עליונה מוקדם מכך

$$\sigma_{max} = \sigma_{yip}$$

במבחן מומלץ מנגנון-טולב מושג שפה עליונה מוקדם מכך
ולא מושג שפה עליונה מוקדם מכך

במבחן מומלץ מנגנון-טולב מושג שפה עליונה מוקדם מכך

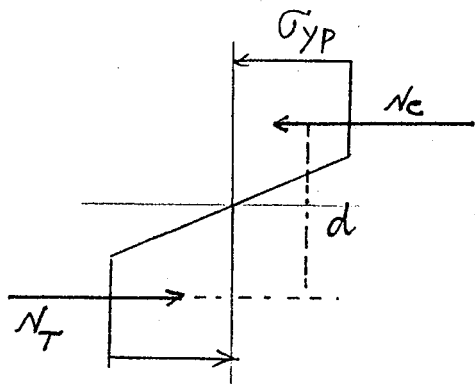


$$M_{yip} = \frac{\sigma_{max} \cdot I}{c} = \sigma_{yip} S$$

C

C

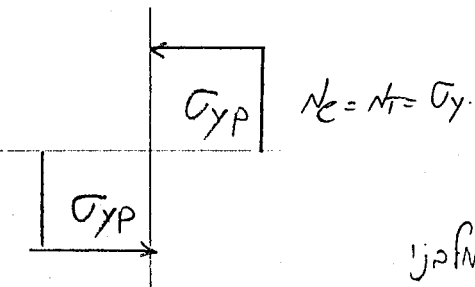
Gofen מומנט אנטזטטי - II



בזמן שונן מושג פוטנציאלי
אנו מודדים את גובה סיבוי
σ_y_p של חומר היסוד כפוף
לעומק כוון סיבוי סיבוי
הנמדד בזווית 10°

$$M = N_c \cdot d$$

טבלה מוגדרת דומם III



בזמן שונן מושג פוטנציאלי
אנו מודדים את גובה סיבוי
היפרboletic בזווית 10° כפוף
לעומק כוון סיבוי סיבוי σ_y

$$M_u = \sigma_y p \frac{b h}{2} \cdot \frac{h}{2} = \sigma_y p \frac{b h^2}{4}$$

M_u - גוףן סימני

$$\frac{M_u}{M_y} = 1.5$$

סימני

בזמן שונן מושג פוטנציאלי
אנו מודדים את גובה סיבוי
היפרboletic בזווית 10° כפוף
לעומק כוון סיבוי סיבוי σ_y

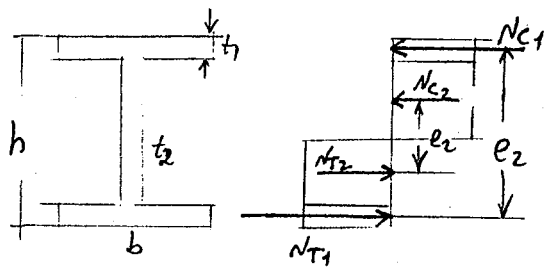
בזמן שונן מושג פוטנציאלי
אנו מודדים את גובה סיבוי
היפרboletic בזווית 10° כפוף
לעומק כוון סיבוי סיבוי σ_y

בזמן שונן מושג פוטנציאלי
אנו מודדים את גובה סיבוי
היפרboletic בזווית 10° כפוף
לעומק כוון סיבוי סיבוי σ_y

(

(

K (קנץ)



עינון סימני אוניברסיטת תל אביב

תגובהםrell של הכוחות

$$t_1 = 2 \text{ cm} \quad t_2 = 1 \text{ cm} \quad h = 20 \text{ cm} \quad b = 10 \text{ cm}$$

$$M_{yp} = \sigma_{yp} \cdot \frac{I}{c}$$

$$\text{ריבוע ריבוע} \quad I_{zz} = \frac{1}{12} \left[b h^3 - (b-t_2)(h-2t_1)^3 \right] =$$

$$M_{yp} = 360 \sigma_{yp}$$

: מינימום כוסה אוניברסיטת תל אביב

$$M_U = N_{c1} \cdot e_1 + N_{c2} e_2 = \sigma_{yp} \left[b t_1 (h-t_1) + t_2 \left(\frac{h}{2} - t_1 \right)^2 \right] = 424 \sigma_{yp}$$

$$\frac{M_U}{M_{yp}} = \frac{424}{360} = 1.17$$

R (קנץ)

ריבוע של גוף אוניברסיטת תל אביב

אנו נזכיר את אוניברסיטת תל אביב

שאנו מדבר על T ו R

ריבוע

$N_{c2} \delta N_{c1} \parallel \text{ריבוע של גוף אוניברסיטת תל אביב}$ נזכיר את אוניברסיטת תל אביב

$$\eta \cdot t_2 = b t_1 + (h-t_1-\eta) t_2$$

(

(

$$t_1 = t_2 = 2 \text{ cm} \quad \text{לנחתה} \rightarrow 0.1 \text{ m}$$

$$b = 10 \text{ cm}$$

$$h = 10 \text{ cm}$$

בז'וריה הרכבה נסבת למרכז כוחות המשובץ

$$\bar{y} (10 \times 2 + 8 \times 2) = 10 \times 2 \times 9 + 2 \times 8 \times 4 =$$

$$\bar{Y} = 6.777 \text{ cm}$$

בז'וריה הרכבה נסבת למרכז כוחות המשובץ

$$8 \times 2 + (10 - 8) \times 10 = (10 - 2) \times 10$$

$$16 + 10\gamma - 80 = 100 - 10\gamma$$

$$20\gamma = 164$$

$$\gamma = 8.2 \text{ cm}$$

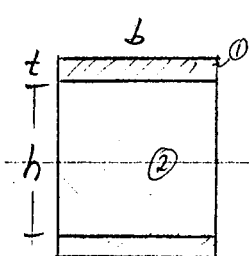
כגון דינמיות טבליות טבליות

בז'וריה הרכבה נסבת למרכז כוחות המשובץ

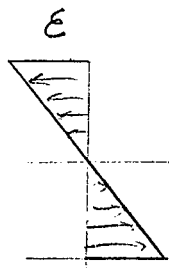
בז'וריה הרכבה נסבת למרכז כוחות המשובץ

בז'וריה הרכבה נסבת למרכז כוחות המשובץ

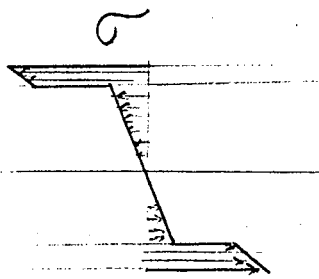
$$E_1 > E_2 \rightarrow \text{טבליות}$$



(a)



(b)



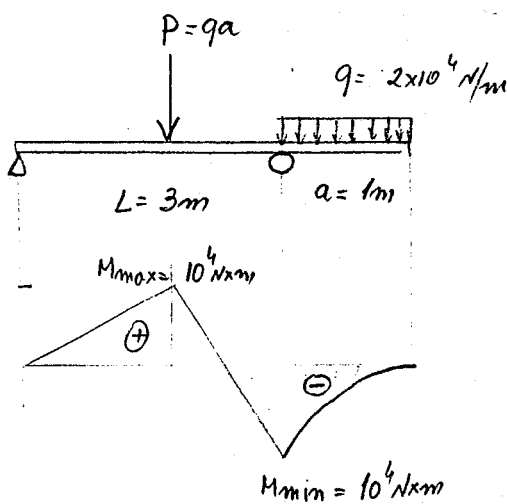
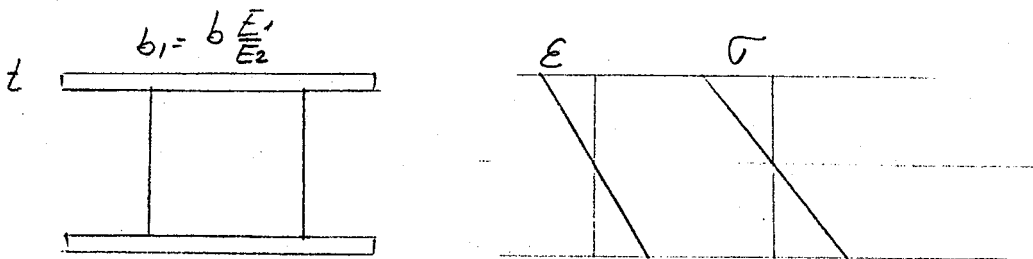
(c)

(

(

לעומת (ב) סימטריה של הפעורות מתקיימת ומקבילה ל (ט).
 $\sigma = E\epsilon$. $E = \frac{\sigma}{\epsilon}$ ו- $\epsilon = \frac{\sigma}{E}$. (ט) מושג שפוך ל (ב).
 מושג שפוך ל (ב) מושג שפוך ל (ט).
 מושג שפוך ל (ט) מושג שפוך ל (ב).
 מושג שפוך ל (ט) מושג שפוך ל (ט).
 מושג שפוך ל (ט) מושג שפוך ל (ט).

E_1/E_2 מוגדר ביחס לאינטגרל של המושג שפוך ל (ט) מושג שפוך ל (ט).
 E_1/E_2 מוגדר ביחס לאינטגרל של המושג שפוך ל (ט) מושג שפוך ל (ט).

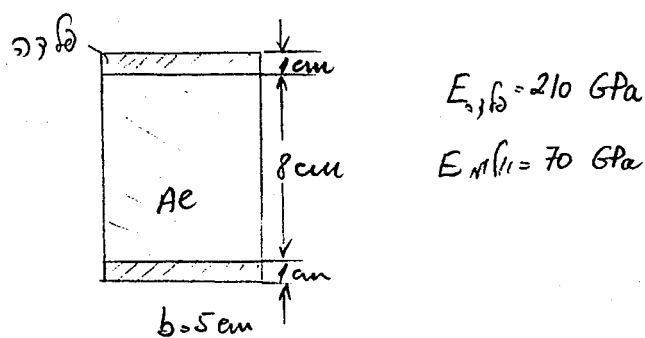


הנחתה מושג שפוך ל (ט)

$\sigma = E\epsilon$ ו- $\epsilon = \frac{\sigma}{E}$
 מושג שפוך ל (ט) מושג שפוך ל (ט)

$$\sigma_{\text{a,Al}} = \pm 9 \times 10^7 \text{ N/m}^2$$

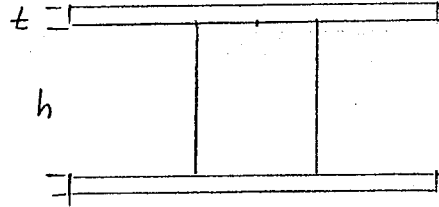
$$\sigma_{\text{a,Fe}} = \pm 18 \times 10^7 \text{ N/m}^2$$



O

O

$$b_1 = b \frac{E_2}{E_1} = 15 \text{ cm}$$



$$I_{eq} = \frac{1}{12} [b_1 h^3 - 2b (h-2t)^3] = 823 \text{ cm}^4$$

⇒ $\sigma_{max} = \frac{M_{max}}{I_{eq}} \cdot \frac{L}{h} = \frac{10^4 \cdot 3}{823 \times 10^{-8}} = 4.86 \times 10^7 \text{ N/m}^2 < \sigma_{allow}$

⇒ $\sigma_{max} = \frac{E_2}{E_{AL}} \cdot \frac{M_c}{I} = 3 \cdot \frac{10^4 \cdot 5}{823 \times 10^{-8}} = 1.823 \times 10^8 \text{ N/m}^2 > \sigma_{allow}$

OK



- 2 68 6 for Feb.
- 2.39** The rigid bar ABCD is suspended from four identical wires. Determine the tension in each wire caused by the load P shown.

Answer: $T_B = P/5$, $T_D = 2P/5$, $T_A = P/10$, $T_C = 3P/10$.

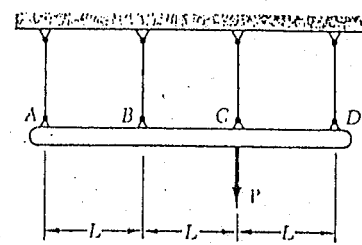
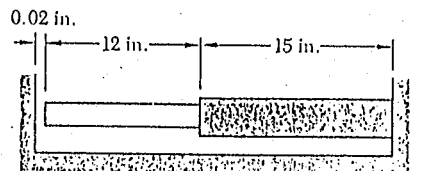


Fig. P2.39

- 2.45** Determine (a) the compressive force in the bars shown after a temperature rise of 200°F , (b) the corresponding change in length of the aluminum bar.

Answer: $P = -52 \text{ kips}$, $\delta_{Al} = 0.0124 \text{ in.}$



Bronze	Aluminum
$A = 2.5 \text{ in}^2$	$A = 3 \text{ in}^2$
$E = 15 \times 10^6 \text{ psi}$	$E = 10 \times 10^6 \text{ psi}$
$\alpha = 10.1 \times 10^{-6}/^{\circ}\text{F}$	$\alpha = 12.8 \times 10^{-6}/^{\circ}\text{F}$

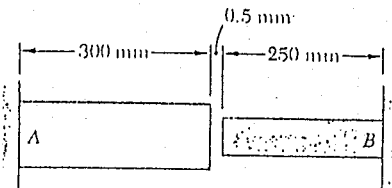
Fig. P2.45

- 2.46** At room temperature (20°C) a 0.5-mm gap exists between the ends of the rods shown. At a later time when the temperature reaches 140°C , determine (a) the normal stress in the aluminum, (b) the exact length of the aluminum rod.

Answer: $\sigma_{Al} = -114.6 \text{ MPa}$, $L = 300.34 \text{ mm}$.

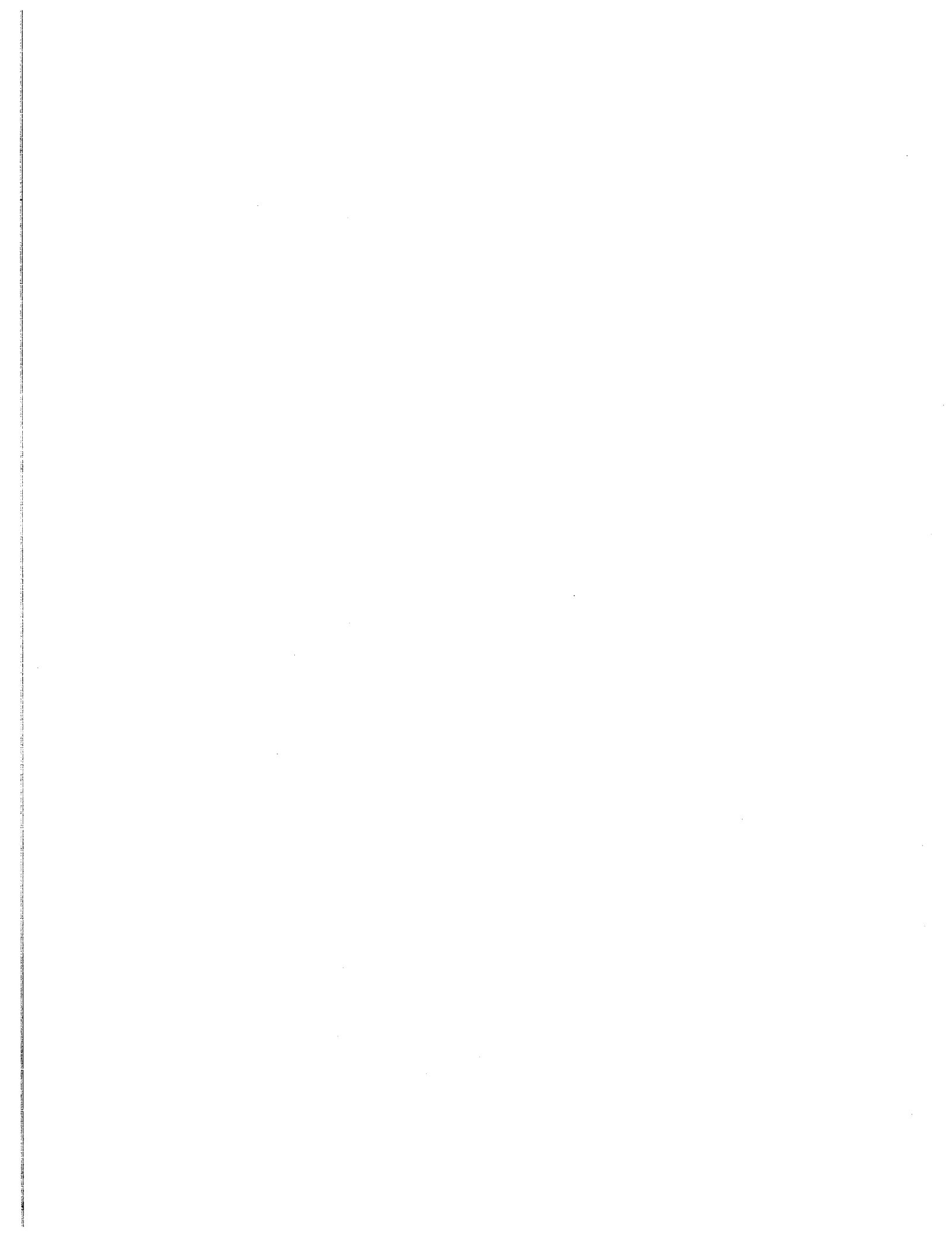
- 2.47** Knowing that a 0.5-mm gap exists between the rods shown when the temperature is 20°C , determine (a) the temperature at which the normal stress in the stainless steel rod will be $\sigma = -150 \text{ MPa}$, (b) the corresponding exact length of the stainless steel rod.

Answer: $T = 103.7^{\circ}\text{C}$, $L = 250.18 \text{ mm}$.



Aluminum	Stainless steel
$A = 2000 \text{ mm}^2$	$A = 800 \text{ mm}^2$
$E = 70 \text{ GPa}$	$E = 190 \text{ GPa}$
$\alpha = 23 \times 10^{-6}/^{\circ}\text{C}$	$\alpha = 18 \times 10^{-6}/^{\circ}\text{C}$

Fig. P2.46 and P2.47



2 68 6 68 Feb 1988
2.39 The rigid bar ABCD is suspended from four identical wires. Determine the tension in each wire caused by the load P shown.

Answer: $T_B = P/5$, $T_D = 2P/5$, $T_A = P/10$, $T_C = 3P/10$.

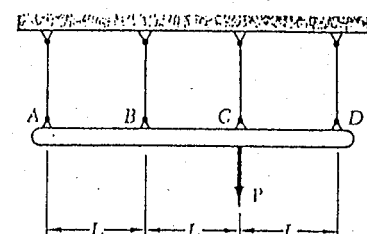


Fig. P2.39

2.45 Determine (a) the compressive force in the bars shown after a temperature rise of 200°F , (b) the corresponding change in length of the aluminum bar.

Answer: $P = -52 \text{ kips}$, $\delta_{Al} = 0.0124 \text{ in.}$

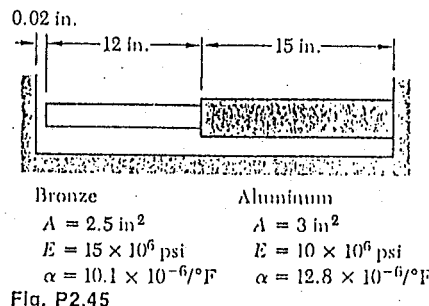


Fig. P2.45

2.46 At room temperature (20°C) a 0.5-mm gap exists between the ends of the rods shown. At a later time when the temperature reaches 140°C , determine (a) the normal stress in the aluminum, (b) the exact length of the aluminum rod.

Answer: $\sigma_{Al} = -114.6 \text{ MPa}$, $L = 300.34 \text{ mm}$.

2.47 Knowing that a 0.5-mm gap exists between the rods shown when the temperature is 20°C , determine (a) the temperature at which the normal stress in the stainless steel rod will be $\sigma = -150 \text{ MPa}$, (b) the corresponding exact length of the stainless steel rod.

Answer: $T = 103.7^{\circ}\text{C}$, $L = 250.18 \text{ mm}$.

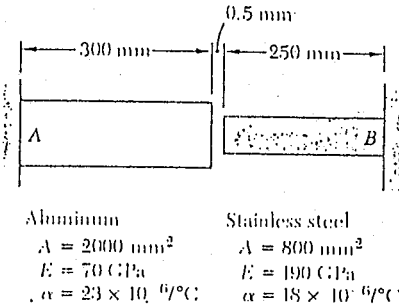
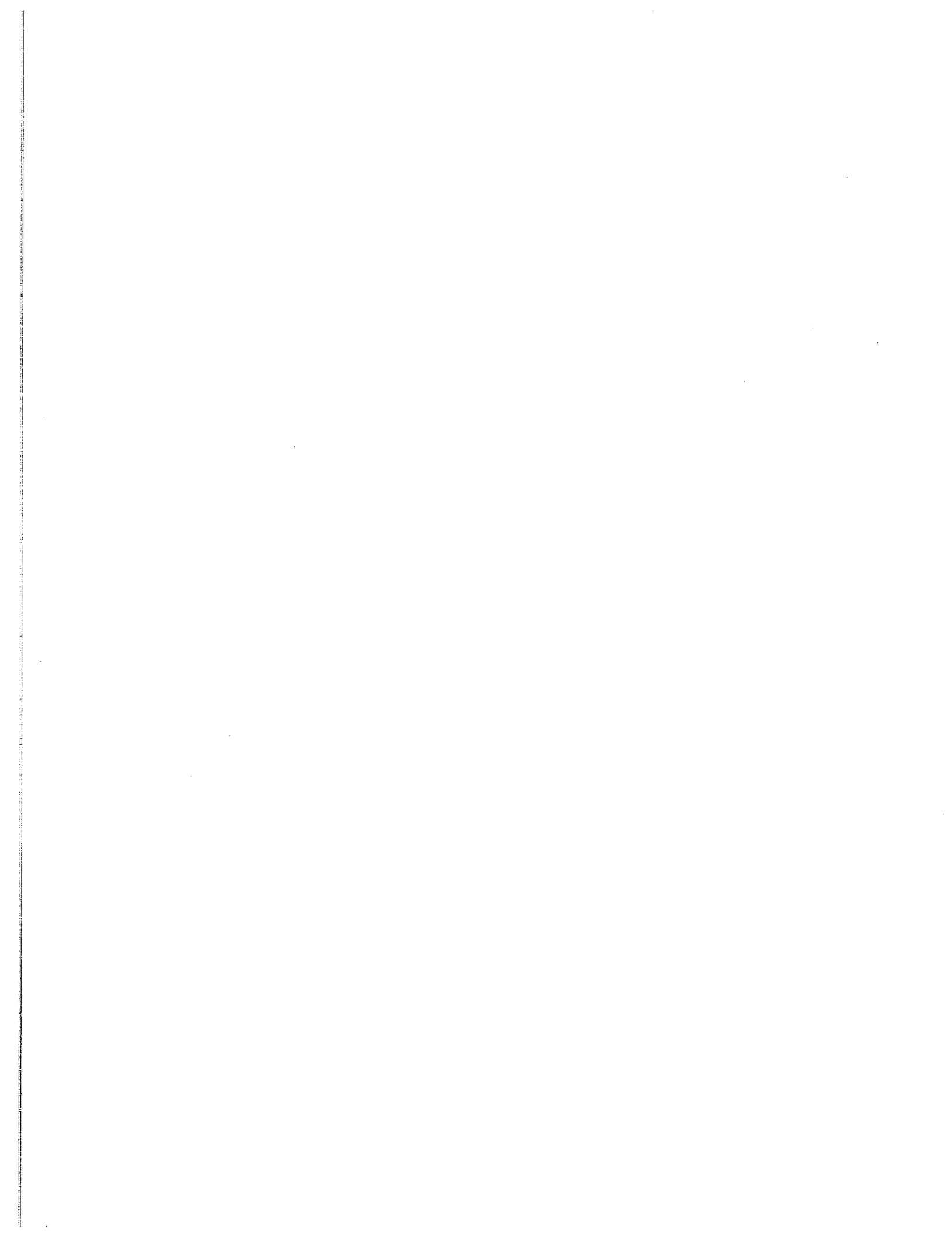


Fig. P2.46 and P2.47



2 18 18 - 6 for Prof.

2.39 The rigid bar ABCD is suspended from four identical wires. Determine the tension in each wire caused by the load P shown.

Answer: $T_B = P/5$, $T_D = 2P/5$, $T_A = P/10$, $T_C = 3P/10$.

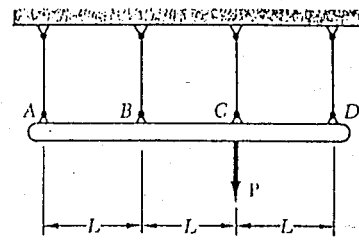


Fig. P2.39

2.45 Determine (a) the compressive force in the bars shown after a temperature rise of 200°F , (b) the corresponding change in length of the aluminum bar.

Answer: $P = -52 \text{ kips}$, $\delta_{Al} = 0.0124 \text{ in.}$

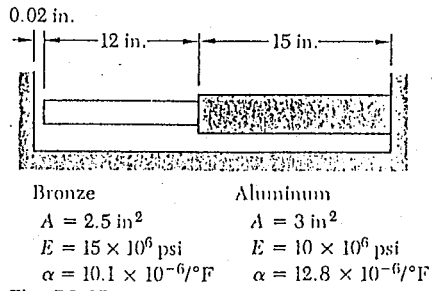


Fig. P2.45

2.46 At room temperature (20°C) a 0.5-mm gap exists between the ends of the rods shown. At a later time when the temperature reaches 140°C , determine (a) the normal stress in the aluminum, (b) the exact length of the aluminum rod.

Answer: $\sigma_{Al} = -114.6 \text{ MPa}$, $L = 300.34 \text{ mm}$.

2.47 Knowing that a 0.5-mm gap exists between the rods shown when the temperature is 20°C , determine (a) the temperature at which the normal stress in the stainless steel rod will be $\sigma = -150 \text{ MPa}$, (b) the corresponding exact length of the stainless steel rod.

Answer: $T = 103.7^\circ\text{C}$, $L = 250.18 \text{ mm}$.

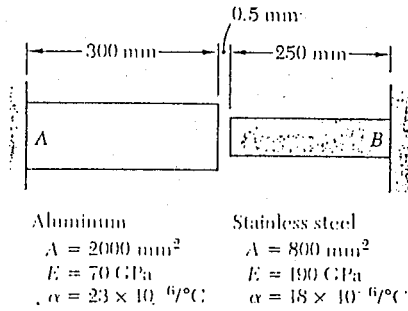
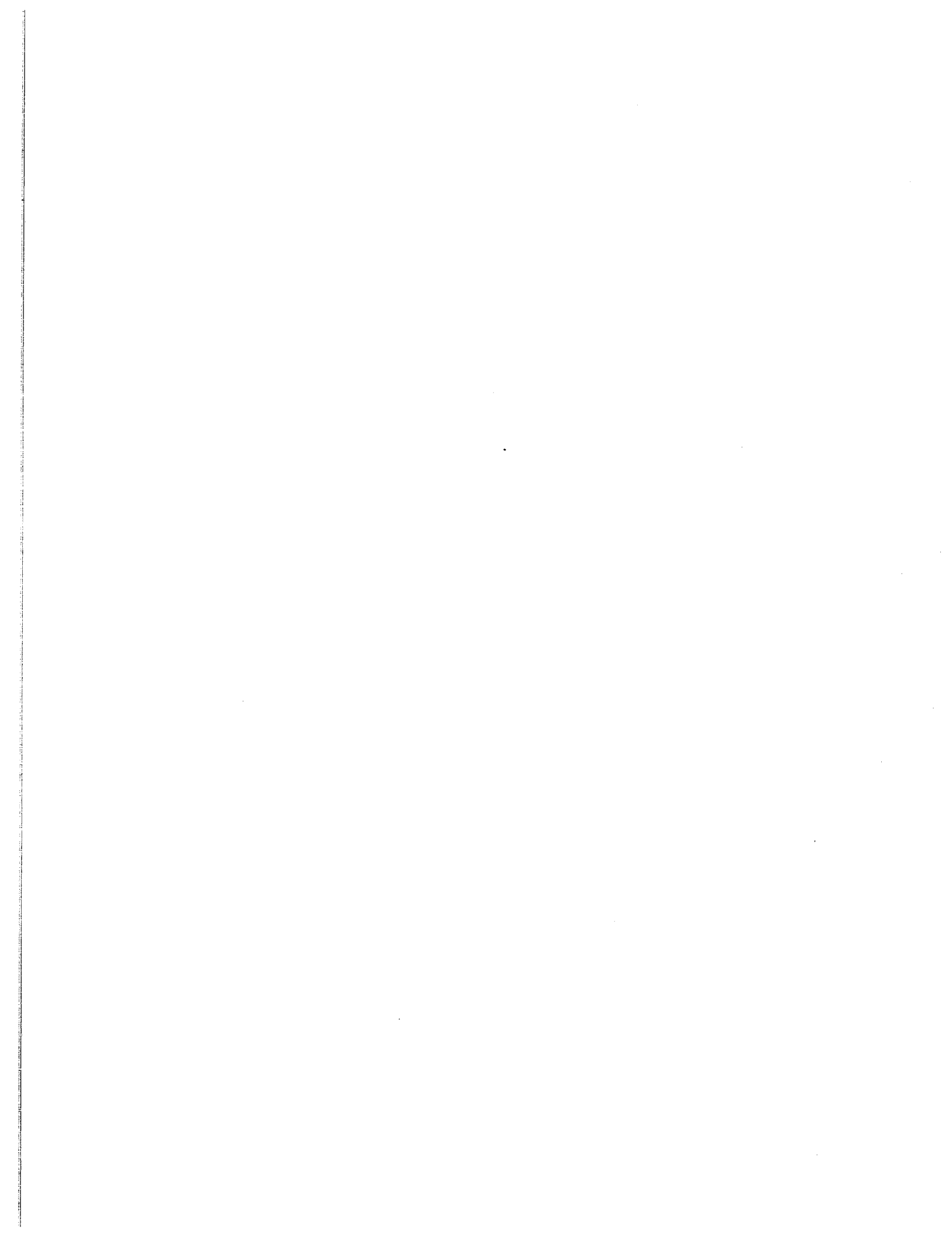


Fig. P2.46 and P2.47



- 2 6A 12 6 Oct 1975
- 2.39** The rigid bar ABCD is suspended from four identical wires. Determine the tension in each wire caused by the load P shown.

Answer: $T_B = P/5$, $T_D = 2P/5$, $T_A = P/10$, $T_C = 3P/10$.

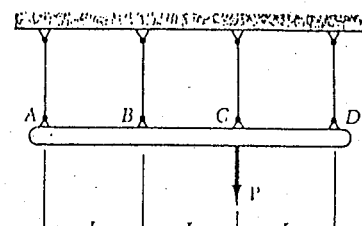


Fig. P2.39

- 2.45** Determine (a) the compressive force in the bars shown after a temperature rise of 200°F , (b) the corresponding change in length of the aluminum bar.

Answer: $P = -52 \text{ kips}$, $\delta_{Al} = 0.0124 \text{ in.}$

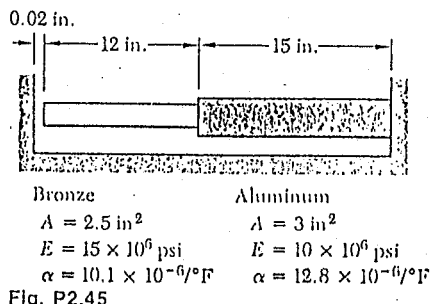


Fig. P2.45

- 2.46** At room temperature (20°C) a 0.5-mm gap exists between the ends of the rods shown. At a later time when the temperature reaches 140°C , determine (a) the normal stress in the aluminum, (b) the exact length of the aluminum rod.

Answer: $\sigma_{Al} = -114.6 \text{ MPa}$, $L = 300.34 \text{ mm}$.

- 2.47** Knowing that a 0.5-mm gap exists between the rods shown when the temperature is 20°C , determine (a) the temperature at which the normal stress in the stainless steel rod will be $\sigma = -150 \text{ MPa}$, (b) the corresponding exact length of the stainless steel rod.

Answer: $T = 103.7^{\circ}\text{C}$, $L = 250.18 \text{ mm}$.

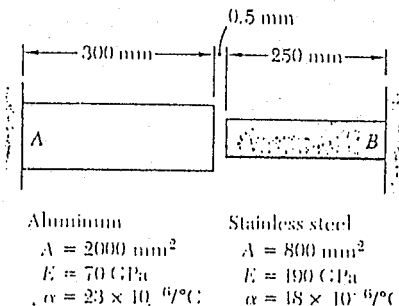
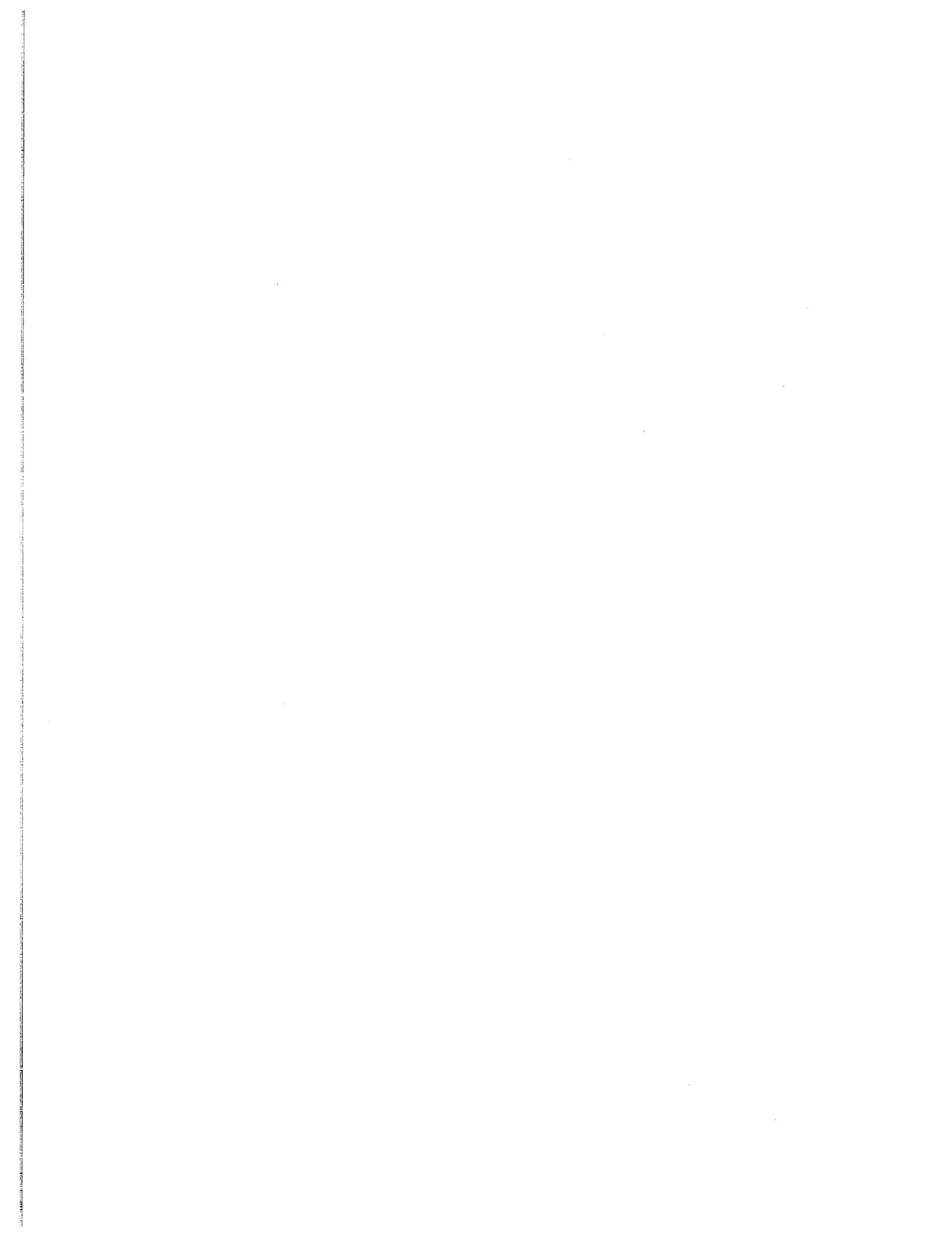


Fig. P2.46 and P2.47

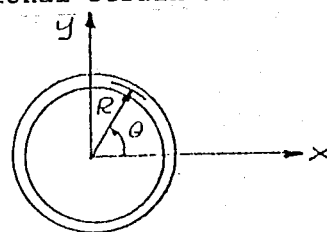


- 3.1. A wire 100 cm. long is subjected to non-uniform heating so that the extensional strain along the wire is proportional to the distance from one end of the wire: $\epsilon_{xx}(x) = k \cdot x$.

If the wire stretches 1 cm., what is the extensional strain at the center of the wire?

Ans. $\epsilon = 10^{-2}$

- 3.2. A wire is in the form of a circular hoop as shown in Fig. 3.2. It is heated non-uniformly so that the extensional strain along the hoop is given by $\epsilon_0 = k \sin^2 \theta$. Calculate the increase in length of the deformed hoop.



Ans. $\Delta L = kR\pi$

9. A rectangular plate is deformed so that the lower edge falls along a parabola as shown in Fig. 3.9, and no point of the plate displaces in the x direction. Compute (exactly) $\gamma_{xy}(x)$ anywhere along the lower edge of the plate.

Ans. $\gamma_{xy} = \tan^{-1}(2ax)$

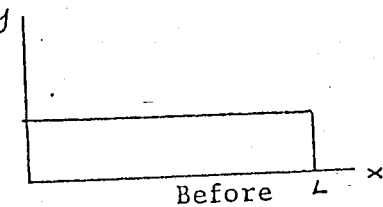
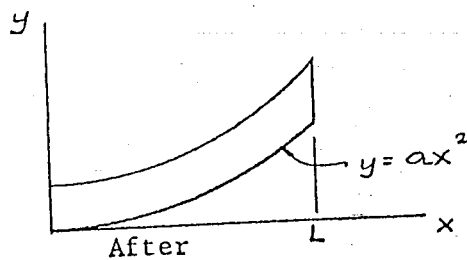
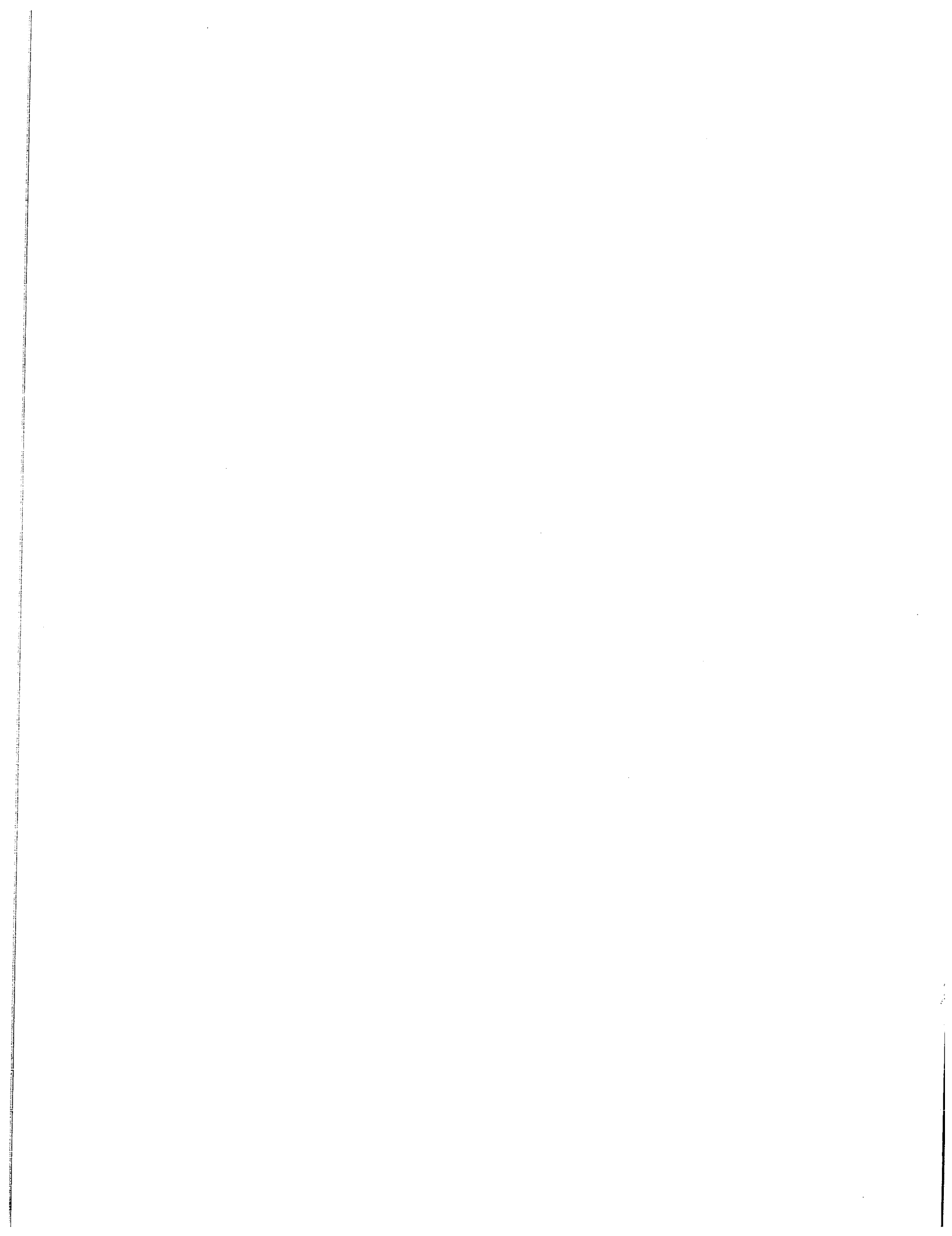


Fig. 3.9





TORSION

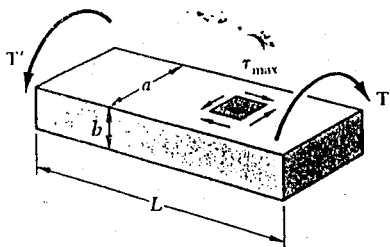


Fig. 3.47

The determination of the stresses in noncircular members subject to a torsional loading is beyond the scope of this text. However, results obtained from the mathematical theory of elasticity for straight bars with *uniform rectangular cross section* will be indicated here for convenience.[†] Denoting by L the length of the bar, by a and b , respectively, the wider and narrower side of its cross section, and by T the magnitude of the torques applied to the bar (Fig. 3.47), we find that the maximum shearing stress occurs along the center line of the *wider* face of the bar and is equal to

$$\tau_{\max} = \frac{T}{c_1 ab^2} \quad (3.43)$$

The angle of twist, on the other hand, may be expressed as

$$\phi = \frac{TL}{c_2 ab^3 G} \quad (3.44)$$

The coefficients c_1 and c_2 depend only upon the ratio a/b and are given in Table 3.1 for a number of values of that ratio. Note that Eqs. (3.43) and (3.44) are valid only within the elastic range.

Table 3.1 Coefficients for Rectangular Bars in Torsion

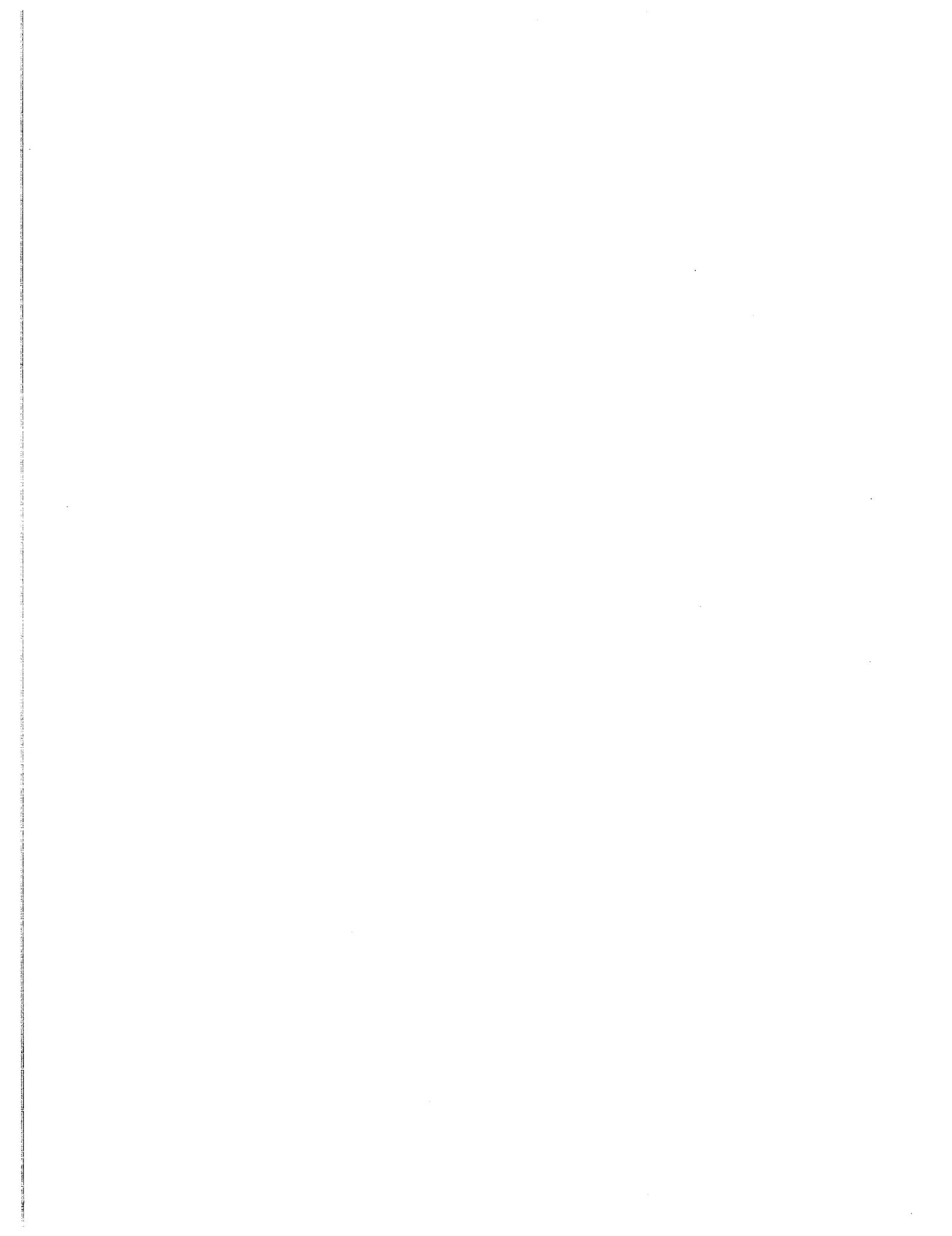
a/b	c_1	c_2
1.0	0.208	0.1406
1.2	0.219	0.1661
1.5	0.231	0.1958
2.0	0.246	0.229
2.5	0.258	0.249
3.0	0.267	0.263
4.0	0.282	0.281
5.0	0.291	0.291
10.0	0.312	0.312
∞	0.333	0.333

We note from Table 3.1 that for $a/b \geq 5$, the coefficients c_1 and c_2 are equal. It may be shown that for such values of a/b , we have

$$c_1 = c_2 = \frac{1}{2}(1 - 0.630b/a) \quad (\text{for } a/b \geq 5 \text{ only}) \quad (3.45)$$

The distribution of shearing stresses in a noncircular member may be visualized more easily by using the *membrane analogy*. A homogeneous elastic membrane attached to a fixed frame and subjected to a uniform pressure on one of its sides happens to constitute an *analog* of the bar in torsion, i.e., the determination of the deformation of the membrane depends upon the solution of the same partial differential equation as the

[†] See S. P. Timoshenko and J. N. Goodier. *Theory of Elasticity*. 3d ed. McGraw-Hill.



המכללה האקדמית יהודא ושותרון

תורת החזק 1

תרגיל מס' 4

1. In the following problems, points of a plate ($0 \leq x \leq 1, 0 \leq y \leq 1$) lying in the $x-y$ plane undergo displacements u and v in the x and y -directions respectively. For each case :

- (a) Compute the strains $\epsilon_x = \epsilon_{xx}$, $\epsilon_y = \epsilon_{yy}$, and $\epsilon_{xy} = \gamma_{xy}/2$.
- (b) Determine the principal strains, principal directions and the maximum shear strain.
- (c) Plot the deformed shape if $a=b=c=0.1$

Case (i) $u = ax + by, v = bx + cy, 0 < a, b, c \ll 1$

Case (ii) $u = ax, v = 0, 0 < a \ll 1$

Case (iii) $u = ax + bx^2, v = -2ax, 0 < a, b \ll 1$

2.65. At point P in a surface, two rectangular coordinate systems are constructed as shown in Fig. P2.65. All strains given below have been multiplied by 10^6 , indicated by the symbol μ , which stands for micro-, i.e., 10^{-6} . Thus a strain of $\epsilon = 300\mu$ is actually $\epsilon = 300 \times 10^{-6} = .0003$.

(a) $\epsilon_x = 200\mu, \epsilon_y = 400\mu, \gamma_{xy} = 800\mu, \theta = 30^\circ$

Find: $\epsilon_n, \epsilon_t, \gamma_{nt}$.

(b) $\epsilon_x = -300\mu, \epsilon_y = 0, \gamma_{xy} = 600\mu, \theta = 15^\circ$

Find: $\epsilon_n, \epsilon_t, \gamma_{nt}$.

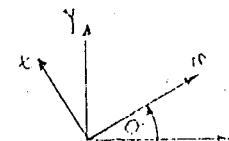


Fig. P2.65

2.78. Determine the principal strains and locate the associated principal directions with respect to an xyz -rectangular coordinate system for each of the strain states below. The z -axis is known to be a principal direction in all cases, and μ stands for 10^{-6} .

(a) $\epsilon_x = 200\mu, \epsilon_y = 400\mu, \gamma_{xy} = 800\mu$.

(b) $\epsilon_x = -300\mu, \epsilon_y = 0, \gamma_{xy} = 600\mu$.

2.85. For the states of strain given in Prob. 2.78, determine the maximum shear strain and locate the associated directions in the xy -plane.

Answers:

2.65 $\epsilon_n = (a) 596.4\mu$ (b) -130μ

$\epsilon_t = 3.6\mu$

-170μ

$\gamma_{nt} = 573\mu$

669μ

2.78 $\epsilon_1 = (a) 400\mu$

(b) 185μ

$\epsilon_2 = -600\mu$

-485μ

$\theta = 26.5^\circ, 116.5^\circ$

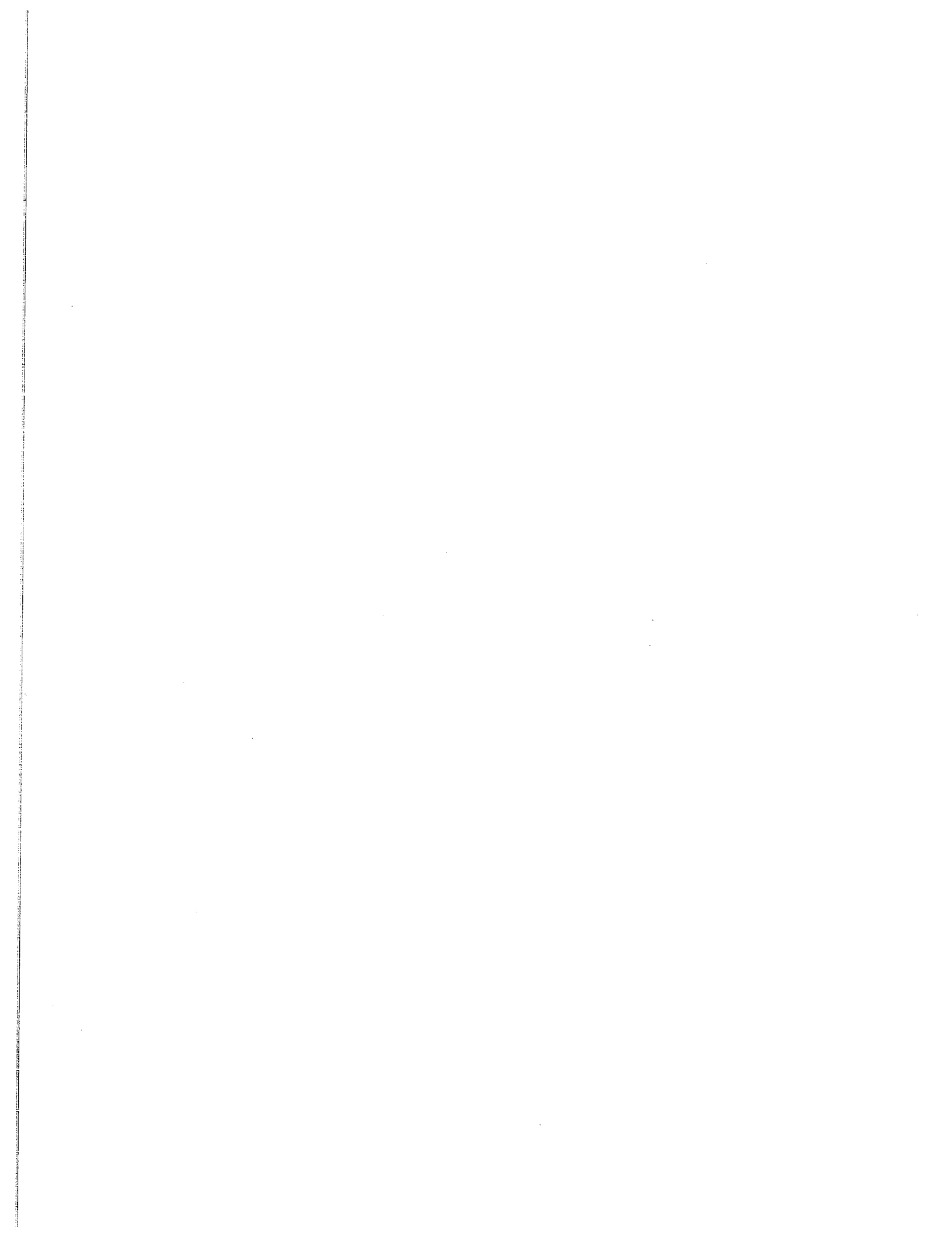
$-31.7^\circ, 58.3^\circ$

2.85 $\gamma = (a) \pm 1000\mu$

$\theta = -18.4^\circ, 71.6^\circ$

(b) $\pm 671\mu$

$13.3^\circ, -76.7^\circ$



המכללה האקדמית יהודה ושוורץ

תורת החזקן 1

תרגיל מס' 5

2.56 A homogeneous plate $ABCD$ is subjected to a biaxial loading which results in the normal stresses $\sigma_x = 150 \text{ MPa}$ and $\sigma_z = 100 \text{ MPa}$. Knowing that the plate is made of steel for which $E = 200 \text{ GPa}$ and $\nu = 0.30$, determine the change in length of (a) edge AB , (b) edge BC , (c) diagonal AC .

Answer: (a) $\delta_{AB} = 60 \mu\text{m}$, (b) $\delta_{BC} = 20.6 \mu\text{m}$, (c) $\delta_{AC} = 60.4 \mu\text{m}$

2.57 The homogeneous plate $ABCD$ is subjected to a biaxial loading as shown. It is known that $\sigma_z = \sigma_0$ and that the change in length of the plate in the direction must be zero, that is, $\epsilon_x = 0$. Denoting by E the modulus of elasticity and by ν Poisson's ratio, determine (a) the required magnitude of σ_x , (b) the ratio σ_0/ϵ_z .

Answer: (a) $\sigma_x = \nu \sigma_0$, (b) $\frac{\sigma_0}{\epsilon_z} = \frac{E}{1-\nu^2}$

4.12. A steel member ($E = 30 \times 10^6 \text{ psi}$, $\nu = .3$) is subjected to the stresses

$$\begin{aligned}\sigma_x &= 15,000 \text{ psi}, \quad \sigma_y = -5000 \text{ psi}, \quad \sigma_z = 0, \\ \tau_{xy} &= -8000 \text{ psi}, \quad \tau_{yz} = 0, \quad \tau_{xz} = 0.\end{aligned}$$

Determine the principal strains and the principal directions.

Answer: $\epsilon_1 = 6.66 \cdot 10^{-4}$, $\epsilon_2 = -4.34 \cdot 10^{-4}$, $\theta = 70.7^\circ, 160.7^\circ$

4.13. For a steel, $E = 30 \times 10^6 \text{ psi}$, $\nu = \frac{1}{3}$. Determine the state of stress which responds to the following state of strain if the material obeys Hooke's law:

$$\begin{aligned}\epsilon_x &= .001, \quad \epsilon_y = -.005, \quad \epsilon_z = 0, \\ \gamma_{xy} &= -.0025, \quad \gamma_{yz} = -.0025, \quad \gamma_{xz} = 0.\end{aligned}$$

Answer: $\sigma_{xy} = \sigma_{yz} = -2.81 \cdot 10^4$, $\sigma_{xx} = -6.75 \cdot 10^4$, $\sigma_{yy} = -20.25 \cdot 10^4$, $\sigma_{zz} = -9 \cdot 10^4 \text{ psi}$

4.17. A state of plane stress (see Prob. 4.7) exists at the free surface of a body. Strain measurements are taken at a point P on such a free surface by the 45° strain rosette shown in Fig. P4.17. If the material obeys Hooke's law, compute the principal stresses in terms of ϵ_1 , ϵ_2 , ϵ_3 , E , and ν .

Answer: $\sigma_{1,2} = \frac{E}{2(1-\nu)}(\epsilon_1 + \epsilon_3) \pm \frac{E}{2(1+\nu)} [(\epsilon_1 - \epsilon_3)^2 + (2\epsilon_2 - \epsilon_1 - \epsilon_3)^2]^{1/2}$

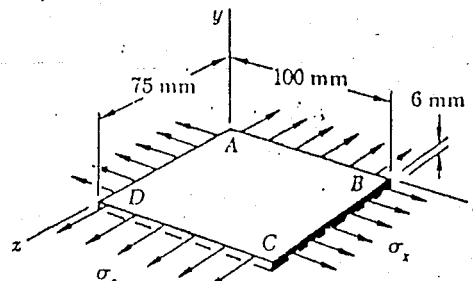
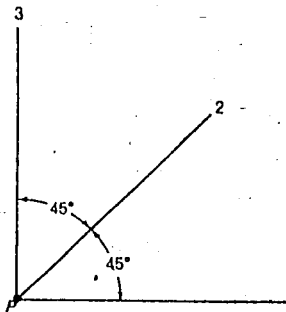


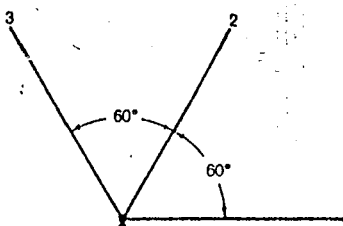
Fig. P2.56 and P2.57

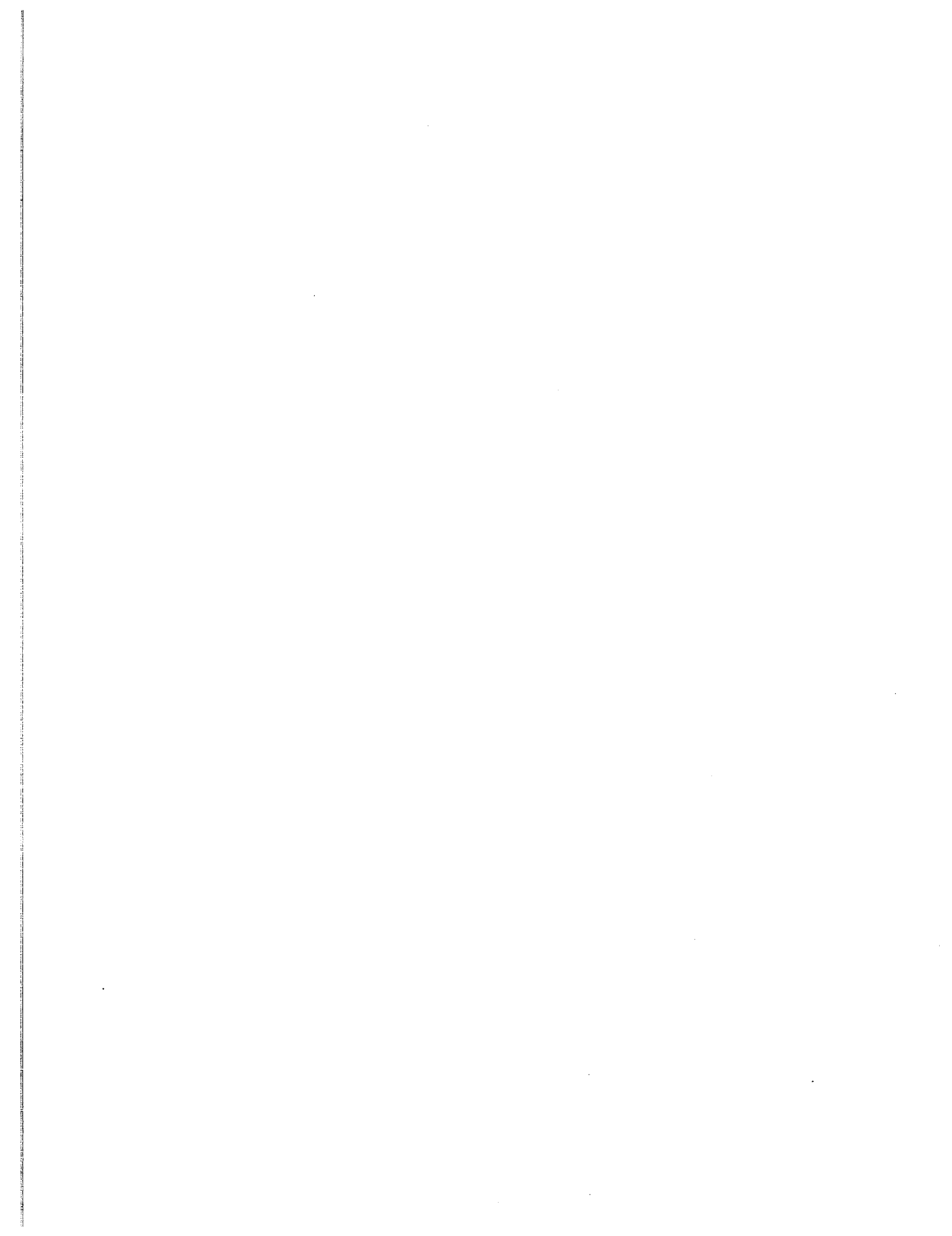


P4.17

4.18. Repeat Prob. 4.17 for the 60° strain rosette shown in Fig. P4.18.

Answer: $\sigma_{1,2} = \frac{E}{3} \left[\frac{\epsilon_1 + \epsilon_2 + \epsilon_3}{1-\nu} \pm \frac{2}{1+\nu} \sqrt{(\epsilon_1^2 + \epsilon_2^2 + \epsilon_3^2) - (\epsilon_1\epsilon_2 + \epsilon_1\epsilon_3 + \epsilon_2\epsilon_3)} \right]$





נתון: מבנה מרוחבי המתוואר בציור עשוי מחרומר אחיד ואלסטי. בעל התכונות הבאות.
 $E = 200 \text{ GPa}$, $G = 80 \text{ GPa}$, חלקים CD ו- FK קשיחים אינסופית.

חתכי המוטות MH ו-JM עגולים בעלי קוטר $d_2 = 0.2 \text{ cm}$; חתך המוט AB עגול בעלי קוטר

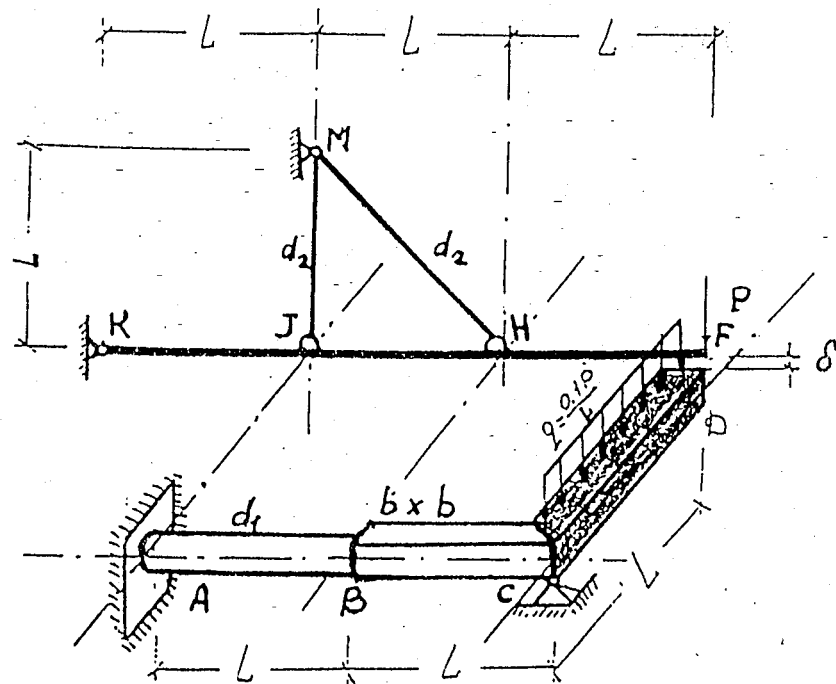
$L = 1 \text{ m}$, $b = 4 \text{ cm}$, $b \times b$ מרובע; $d_1 = 4 \text{ cm}$

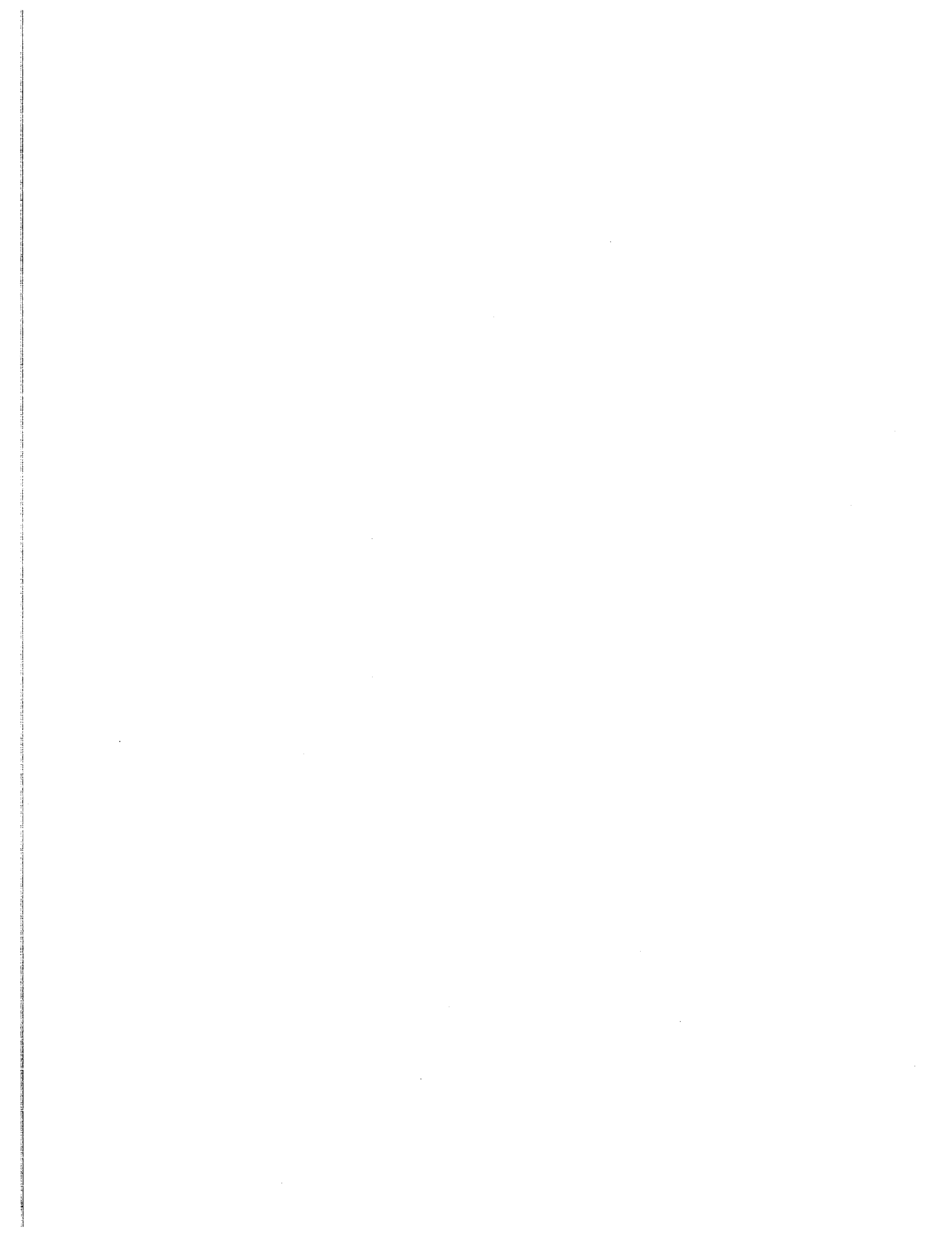
הרווח בין נקודות F ו-D $\delta = 0.3 \text{ cm}$.

על המבנה פועליס עומס מרוכז P ועומס ממורס שווה $q = 0.1 \text{ P/L}$.

דרוש:

1. לחשב את השקיות בנקודות D ו-F כאשר $P = 1 \text{ KN}$.
2. מה הוא ה-P_g הדרוש לסגירת הרוחץ? מה היא השקייה בנקודה F כאשר $P_g = P$?
3. לחשב את השקייה בנקודה F כאשר $P = 5 \text{ KN}$.
4. לבנות מהלכי מומנטוי כפיפה ופיתול בחלקים DC, KF ו- AC כאשר $N = 50 \text{ KN}$.





תורת החזק
תרגיל מס 9

- 5.16 and 5.17** For the wide-flange beam and loading shown, determine in a section located halfway between points *D* and *E*, (a) the largest normal stress, (b) the largest shearing stress.

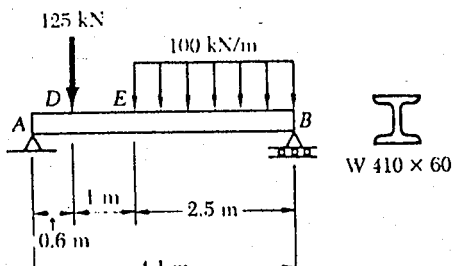


Fig. P5.16

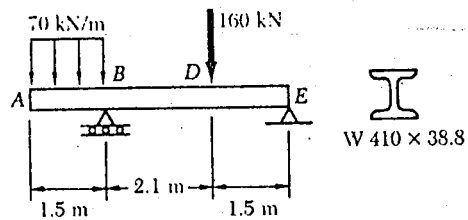


Fig. P5.17

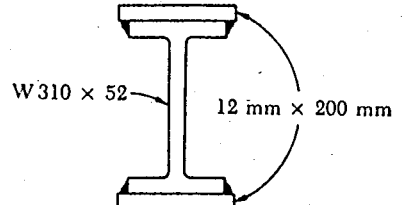
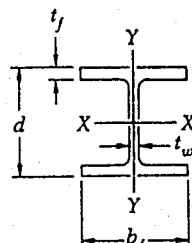


Fig. P5.18

Designation†	Area <i>A</i> , mm ²	Depth <i>d</i> , mm	Flange		Web Thick- ness <i>t_w</i> , mm	Axis X-X			
			Width <i>b_f</i> , mm	Thickness <i>t_f</i> , mm		<i>I_x</i> 10 ⁶ mm ⁴	<i>S_x</i> 10 ³ mm ³	<i>r_x</i> mm	
W310 x 52	6650	317	167	13.2	7.6	118.6			
W410 x 114	14600	420	261	19.3	11.6	462	2200	177.8	
85	10800	417	181	18.2	10.9	316	1516	170.7	
60	7610	407	178	12.8	7.7	216	1061	168.4	
46.1	5880	403	140	11.2	7.0	156.1	775	162.8	
38.8	4950	399	140	8.8	6.4	125.3	628	159.0	



3. For a timber beam having the cross section shown, determine the dimension *w* if the maximum allowable vertical shear force is 7.67 kN, and the shearing stress is not to exceed 1 MPa.

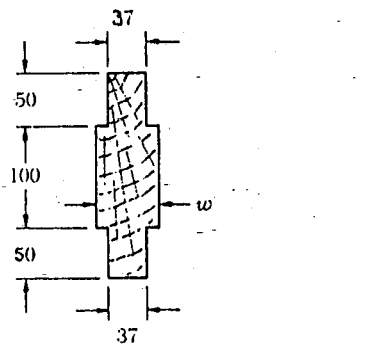


Fig. P5.20 Dimensions in mm

4. **5.1** Three boards, each of 40 mm × 90 mm rectangular cross section, are nailed together to form a beam which is subjected to a vertical shear of 1 kN. Knowing that the spacing between each pair of nails is 60 mm, determine the shearing force in each nail.

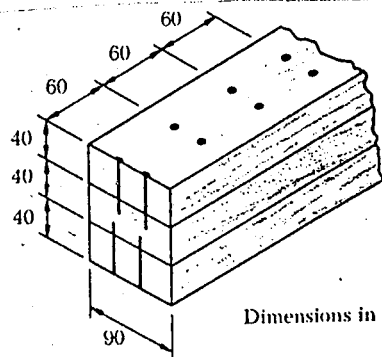
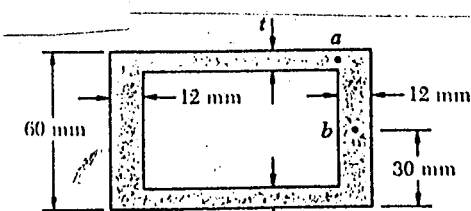
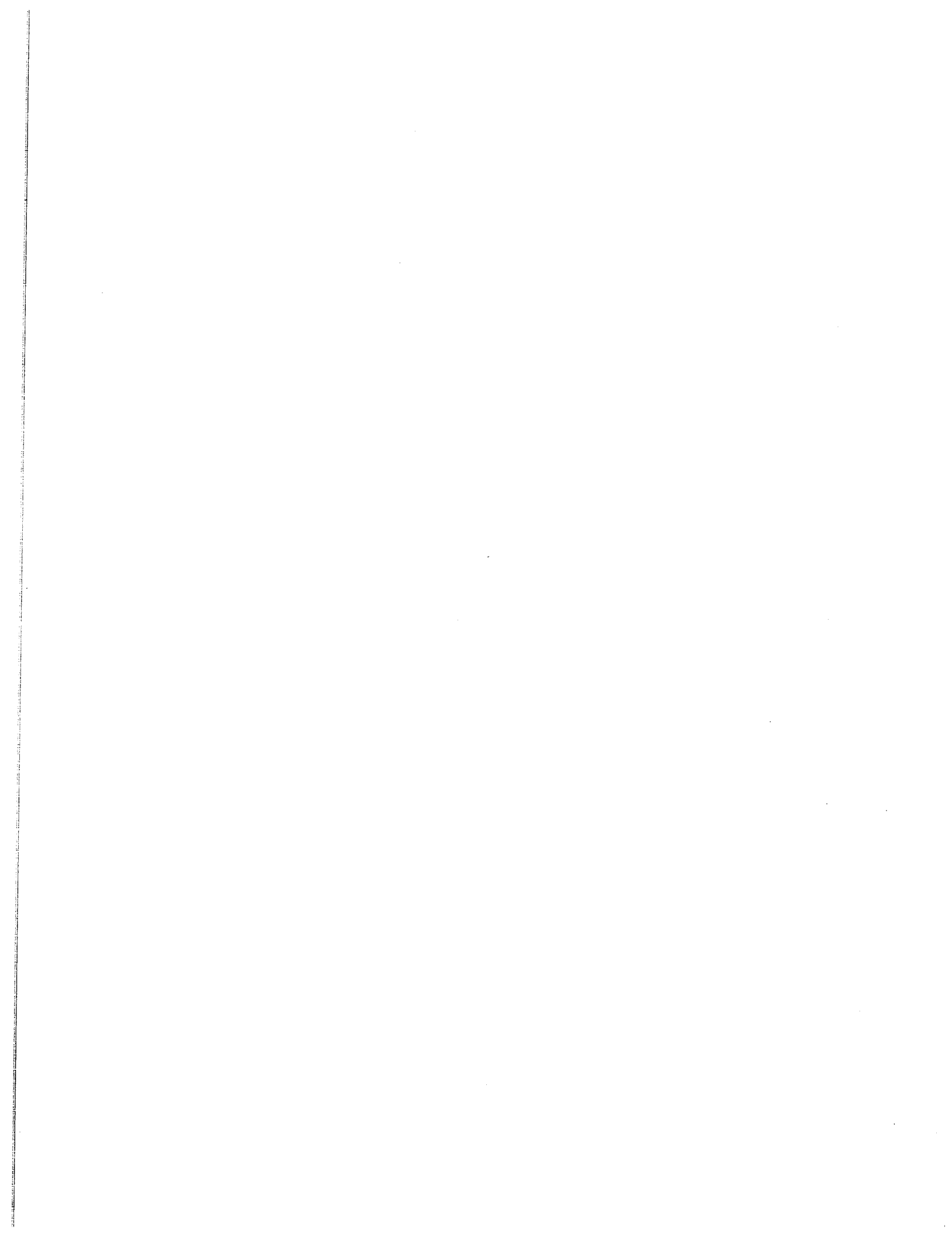


Fig. P5.1 Dimensions in mm

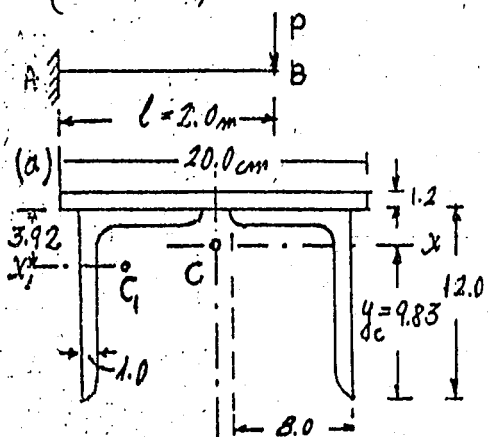
5. **5.32** An extruded beam has the cross section shown and is subjected to a vertical shear of 50 kN. For *t* = 6 mm, determine the shearing stress at (a) point *a*, (b) point *b*.





6.

קונסול פלדה (זיר 8) מורכב משני זוויתנים 120/80/10 mm וpone 200/12 mm מחוברים ע"י ריבוע. קונסול עטוף עופרת $(A=19.1 \text{ cm}^2, I_x=276 \text{ cm}^4)$.



נורוותן: a. להראות שמרכז הכביד C נמצא במרחיק

$$y_c = 9.83 \text{ cm} = \frac{1}{3} \text{ קלטחה} + \text{שיטוטה האינרציה } I_x = 853 \text{ cm}^4$$

b. לבדוק אם חסרו סיל סטטי.

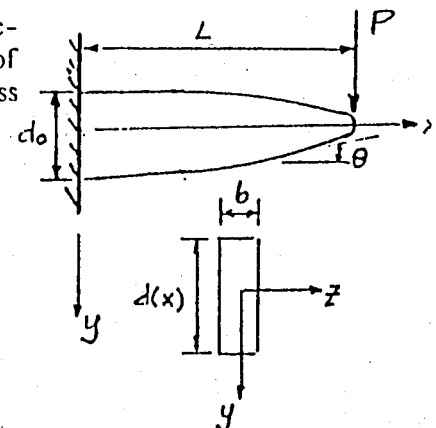
c. באיזה מרחק η מהרוחם מוחר לחפשיק את התמ

(ולחמשיר את הזוויתניים בלבד).

7. The cantilevered beam shown in the figure has a rectangular cross section of constant thickness but of varying depth $d(x)$. The beam is loaded at the free end.

Assuming that cross-sections remain plane and perpendicular to the deformed longitudinal axis, determine the required variation of the depth $d(x)$ so that the maximum value of the flexure stress at all cross sections should be constant over the length of the beam.

$$\text{Answer: } d(x) = d_0 \sqrt{1-x/L}$$



8. 5.72 $P_1=4.5\text{-kN}$ force is applied at point A of the cast-iron member shown. ($P_2=0$)

Knowing that the member has a diameter of 45 mm, determine the normal and shearing stresses at point H located on the top surface of the member, and at point K.

- 5.73 For the member of Prob. 5.72, determine the normal and shearing stresses at point K, when $P_1=0$, $P_2=4.5\text{kN}$.

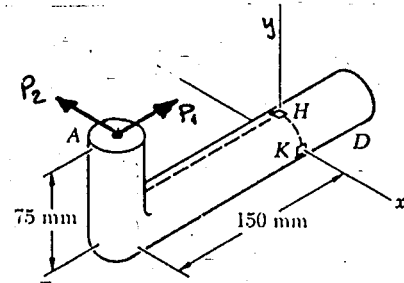
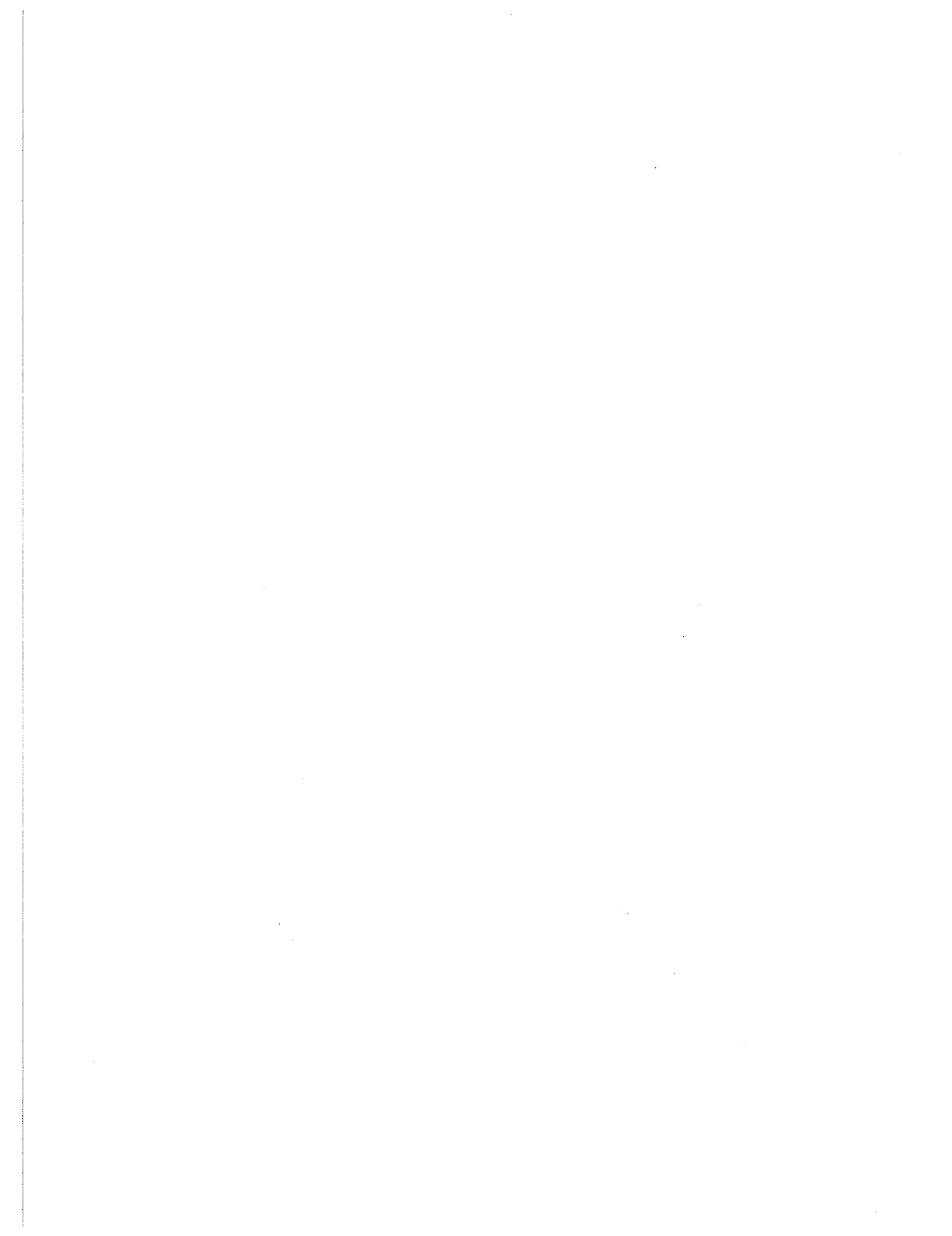


Fig. P5.72



המכללה האקדמית יהודה ושומרון

תורת החזק 1

תרגיל מס' 10

8.17 and 8.18 For the cantilever beam and loading shown, determine (a) the equation of the elastic curve for portion AB of the beam, (b) the deflection at B, (c) the slope at B.

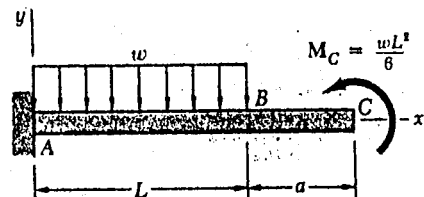


Fig. P8.18

8.25 and 8.26 For the beam and loading shown, determine (a) the equation of the elastic curve for portion BD, (b) the slope at B, (c) the deflection at the center C of the beam.

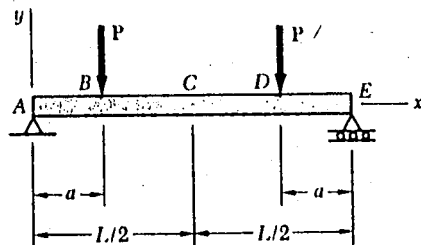


Fig. P8.26

8.41 through 8.44 For the beam and loading shown, determine the reaction at the supports, and the equation of the elastic curve.

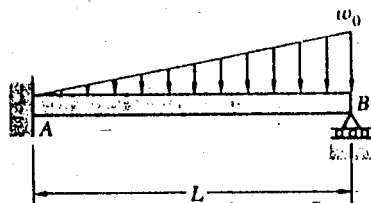


Fig. P8.44

8.45 through 8.48 Determine the reaction at the support and draw the bending-moment diagram for the beam and loading shown.

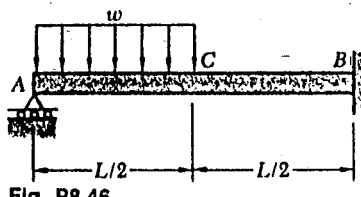


Fig. P8.46

8.55 and 8.56 Determine the reaction at A and draw the bending-moment diagram for the beam and loading shown. Determine the equation of the elastic curve.

8.42. Determine the equation of the elastic curve and draw it.

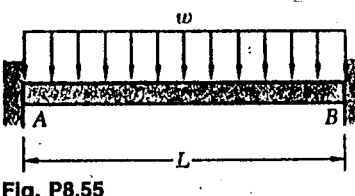
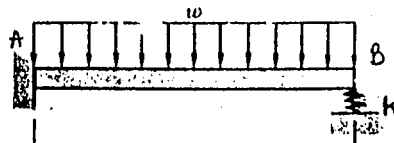
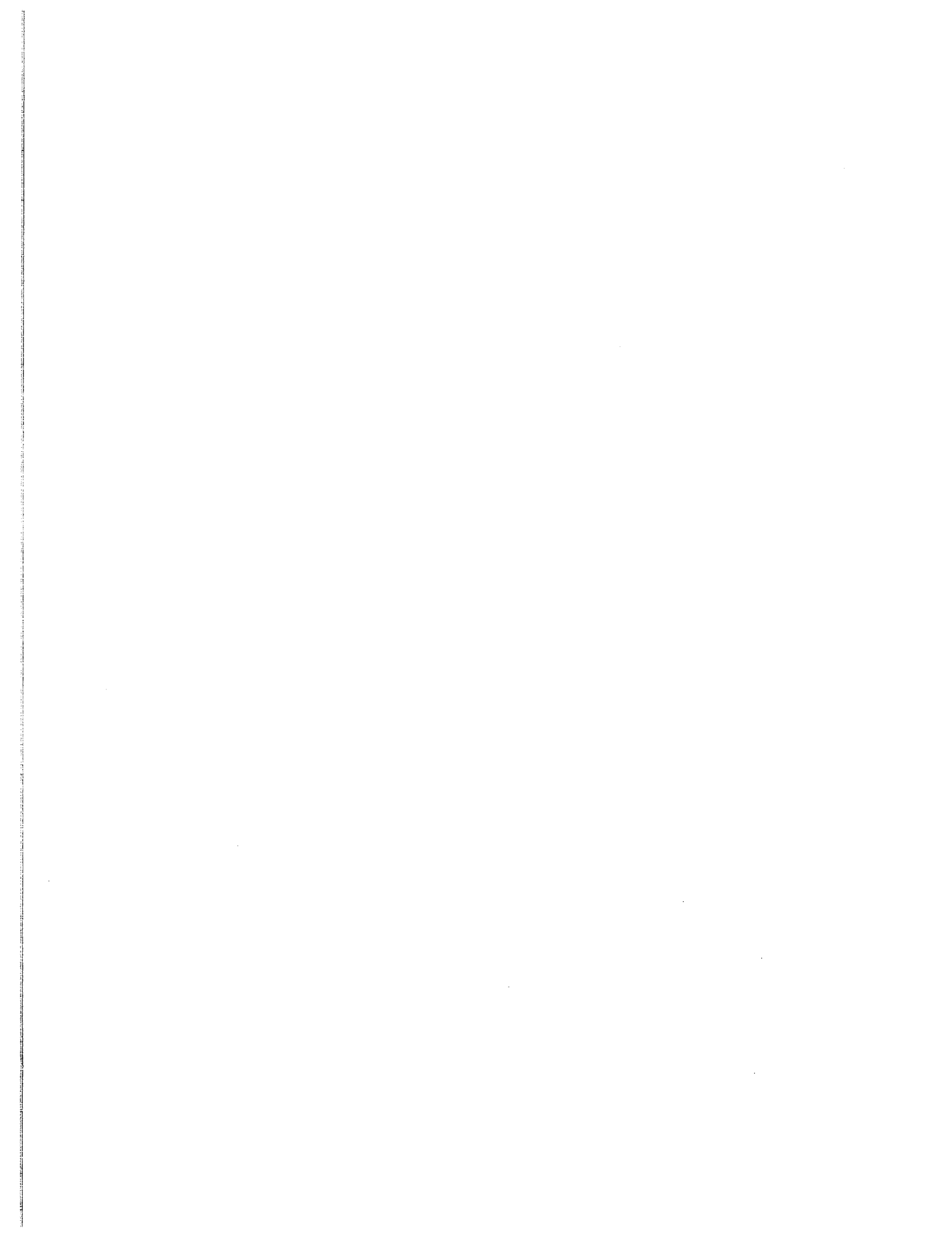


Fig. P8.55

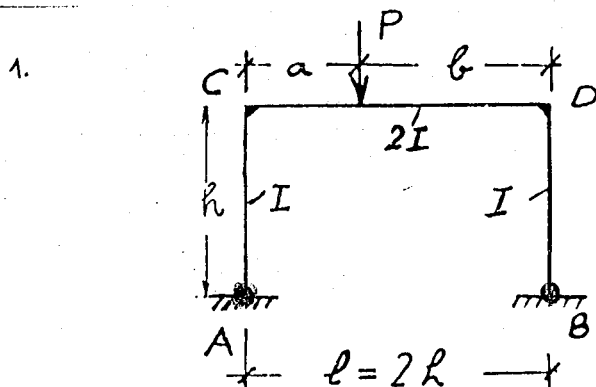




המכללה האקדמית יהודה ושותון

תורת החזקן 1

תרגיל מס' 11

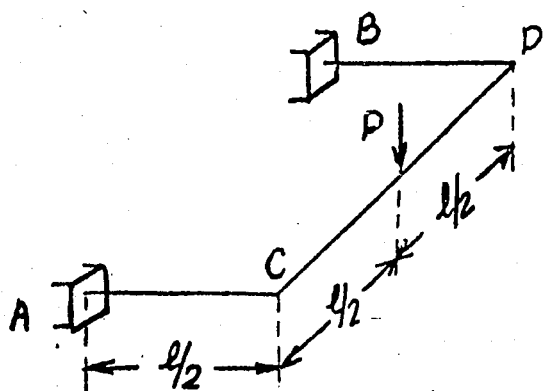


נתרן. מסגרת פרטאל רתומה עmersה לפוי הציר. $\alpha = \frac{l}{3} = \frac{2h}{3}$.

דרוש. לחשב את הריאקציות ואת מומנט הריםותם ולשרטט את מהלכי N , S ו- M .

$$\text{תפורה. } \frac{R_A}{A} = \frac{Pab}{2hl} ; V_A = \frac{64Pb}{63l} ; \frac{M_A}{A} = \frac{Pab}{7l}$$

2.



נתרן. מסגרת סימטרית ארכיטקטונית הפוגרת בצייר האקסטורומטרי רתומה ב- A ו- B ועmersה שומס אבקי P . המסגרת בעלת קסיות לכפיפה EI וקסיות לפיתול GI_T .

דרוש. לחשב את הריאקציות B, A ואת מומנט הכפיפה בראיטומרים M_B, M_A ואת מומנט הפיתול בראיטומרים T_B, T_A . ולשרטט את מהלכי M ו- T . (להשווות).

צורה ההפיכה ϕ_C של CC לזרות הפיתול של (AC) .

$$M_A = M_B = \frac{P\frac{l}{2}}{4} ; A = B = \frac{P}{2} \text{ תפורה.}$$

$$T_A = T_B = \frac{P\frac{l}{2}}{8} \frac{GI_T}{GI_T + EI}$$

36. For the loading shown, knowing that beams AB and DE have the same rigidity, determine the reaction (a) at A , (b) at D .

ans: (a) $14.02 \text{ kN} \downarrow$ (b) $5.93 \text{ kN} \uparrow$

- 3.138 Before any load is applied, a gap $\delta_0 = 20 \text{ mm}$ exists between the $W410 \times 60$ rolled-steel beam and the support at C . Knowing that $E = 200 \text{ GPa}$, determine the reaction at each support caused by a uniformly distributed load of 24 kN/m .

$$\text{ans: } R_A = R_B = 16.5 \text{ kN} \uparrow \\ R_C = 39.9 \text{ kN} \downarrow$$

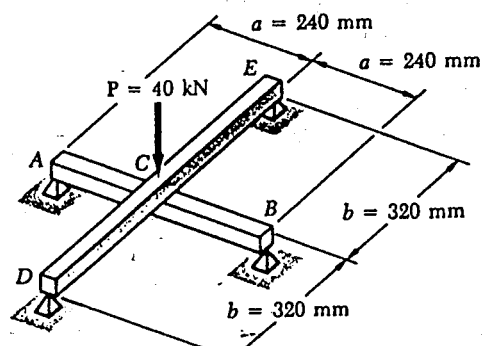
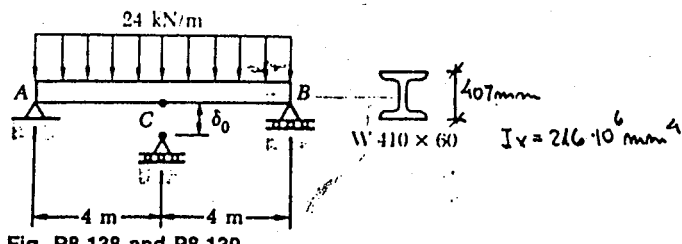


Fig. P8.136

